

[11] رقم النشر: SA 99191117 A

[43] تاريخ النشر: 1426/11/01 هـ

الموافق: 2005/12/03 م



[19] المملكة العربية السعودية SA

مدينة الملك عبدالعزيز للعلوم والتقنية

## [12] طلب براءة اختراع

[51] التصنيف الدولي : Int. CL.: A61K 031/522	[72] اسم المخترع : دراك ايجلستون، ايان روبيرت لينش
[30] بيانات الأسبقية : US 063238 /60 1997/10/23	[71] مقدم الطلب : (١) سميتكلاين بيتشام كوربوريشن العنوان : وان فرانكلين بلازا الرمز البريدي : بنسلفانيا 19103 فيلادلفيا، أمريكا الجنسية : أمريكية مقدم الطلب : (٢) سميتكلاين بيتشام بي ال سي العنوان : نيوهوريزونز كورت الرمز البريدي : ميدلسيكس تي دبليو 98 اس بي برينتفورد، المملكة المتحدة الجنسية : بريطانية
	[74] الوكيل : المحامي سليمان ابراهيم العمار
	[21] رقم الطلب : 99191117
	[22] تاريخ الايداع : 1419/11/11 هـ الموافق : 1999/02/27 م

[54] اسم الاختراع :تكوينات جديدة متعددة الأشكال

### NOVEL POLYMORPHIC FORMS

[57] الملخص: يتعلق هذا الاختراع بصورة بلورية متعددة الأشكال من مركب ١، ٣، - ثنائي - بروبييل مثيل حلقي - ٨ -أمينو زانثين، وبطرق لتحضيرها وباستعمال تركيبات صيدلانية منها شكل (١)

بسم الله الرحمن الرحيم

## تكوينات جديدة متعددة الأشكال

### الملخص

يتعلق هذا الاختراع بصورة بلورية متعددة الأشكال من مركب ٣،١-ثنائي-بروبيل

مثيل حلقي-٨-أمينو زانثين، وبطرق لتحضيرها وباستعمال تركيبات صيدلية منها.

شكل (١)

## تكوينات جديدة متعددة الأشكال

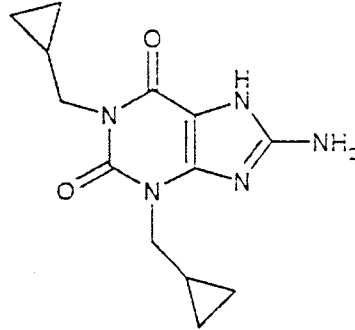
### الوصف الكامل

#### خلفية الاختراع

يتعلق هذا الاختراع بتكوينات بلورية جديدة متعددة الأشكال من سييامفيلين ، وإلى طرق تحضيرها .

السعة الحادثة في التركيبات البلورية المختلفة تعرف بتعدد الأشكال ومن المعروف أنها تحدث في عدة مركبات عضوية. وهذه الصيغ البلورية المختلفة تعرف "تطورات متعددة الأشكال" أو "متعددات الأشكال" وتتحقق في حالتها البلورية. وبينما تكون هذه التطورات متعددة الأشكال لها نفس التركيب الكيميائي، فإنها تختلف في التعبئة، الترتيب الهندسي، الخواص الموصوفة للحالة البلورية الصلبة. كما في، هذه التطورات التي يمكن أن يكون لها خواص فيزيقية مختلفة في الحالة الصلبة، مثل الشكل، اللون، الكثافة، الصلابة، القابلية للتغير، الثبلت، وخواص الذوبان، الى آخره. وتغير شكل جزيئي عقار عضوي وما يتبعه يكون محل تقدير الصانع الماهر.

سييامفيلين ٣،١ - ثنائي - بروبييل ميثيل حلقي - ٨ - أمينو إكسانثين، وله صيغة كيميائية ك١٣ يد ١٧ نه ٢، وزن جزيئي، ٢٧٥،٣١ ، والصيغة التركيبية التالية :



وتصنيعها موصوف في مثال ٩، في ماشلر وزملاؤه براءة بريطانيا العظمى رقم ٠،٦٧٩٢،٨٩٠ في ٢٣ مارس ١٩٨٩، في البراءة الأوروبية EPO المقابلة لها، ٣٨٩٢٨٢، والبراءة الأمريكية المقابلة لها ٥,٧٣٤,٠٥١ وكشفها الكامل محتوى هنا بواسطة مراجع كاملة.

٥ والسيامفيلين يكون مثبط لمادة PDE<sub>4</sub> ويكون ذو فائدة في العلاج، بما فيه الوقاية من الحالات المرضية.

وقد أكتشف أيضاً أن سييا مفيلين له نشاط مثبط لمادة TNF الصادر عن إيسير وزملاؤه PET/US91/٠٨٧٣٤ ( منشور أيضاً كمثل EP ٥٥٨٦٥٩ )، ويكون حينئذ ذو فائدة في العلاج، متضمناً الوقاية من الحالات المرضية المنقولة عن TNF . وتوجد مقالات مناسبة، صيغ جرعات، معدل جرعات الى آخره لمتعددات الأشكال من هذا الاختراع، معدة للاستخدام في العلاج الدوائي للأمراض يمكن أن يوجد في أي من ماشلر وآل، أو تطبيق براءة إسر وآل، الكشف عنها موجود هنا بواسطة مراجع.

### وصف عام للاختراع

١٥ هذا الاختراع ينتمي الى متعدد أشكال بلوري جديد من ١، ٣-ثنائي-حلقي بروبييل ميثيل-٨-أمينو أكسانثين، يرجع الى المذكور فيما بعد كصيغة ١، وهذه الصيغة من مثل هذا المركب تكون ذات فائدة في علاج الأمراض المنقولة بواسطة PDE<sub>4</sub>.

وهذا الاختراع ينتمي أيضاً الى متعدد أشكال بلوري جديد من ١، ٣-ثنائي-حلقي بروبييل ميثيل-٨-أمينو إكسانثين، يرجع هنا فيما بعد الى صيغة ٢، والتي تصنع من مثل هذا المركب الذي يكون مفيداً في علاج الأمراض المنقولة بواسطة PDE<sub>4</sub>.

٢٠ وهذا الاختراع ينتمي أيضاً الى متعدد أشكال بلوري جديد من ١، ٣-ثنائي-حلقي بروبييل ميثيل-٨-أمينو إكسانثين، يرجع هنا فيما بعد الى صيغة ٤، والتي تصنع من مثل هذا المركب الذي يكون مفيداً في علاج الأمراض عن طريق PDE<sub>4</sub>.

## شرح مختصر للرسومات

- الشكل ١ عبارة عن أشعة سينية ذات شكل خاص وتستخدم مسحوق تكسر الضوء أو تشعبه للتكوين ١ ( المحور الرأسي: العزم (CPS)، المحور الأفقي : زاوية التكسر، في ٢ ثيتا) (درجات).
- شكل ٢ عبارة عن أشعة سينية ذات شكل خاص مسحوق تكسر الضوء أو تشعبه للتكوين ٢ . (المحور الرأسي : الشدة ( CPS )، المحور الأفقي : زاوية التكسر، في ٢ ثيتا (درجات).
- شكل ٣ عبارة عن جدول يوضح جدولة زاوية اللي للتكوين ٢، ٤.
- شكل ٤ عبارة عن جهاز رامن لقياس التكوين ٢ ( المحور الرأسي: الشدة: المحور الأفقي السفلي : الرقم الموجي ( سم < ١ - > ) .
- شكل ٥ عبارة عن جهاز رامن لقياس التكوين ٢ (المحور الرأسي: الشدة ، المحور الأفقي السفلي: الرقم الموجي ( سم < ١ - > ) .
- شكل ٦ عبارة عن جهاز رامن لقياس التكوين ٤ (المحور الرأسي: الشدة ، المحور الأفقي السفلي: الرقم الموجي ( سم < ١ - > ) .
- شكل ٧ عبارة عن مقارنة للأطياف المقاسه على جهاز رامن والخاصة بالتكوينات الثلاثة ٤، ٢، ١ على المنطقة الشادة الكاربونيلية من ١٧٥٠ - ١٦٠٠ سم<sup>-١</sup> ( المحور الرأسي: الشدة، المحور الأفقي السفلي: الرقم الموجي ( سم < ١ - > ) .
- شكل ٨ عبارة عن مقارنة للأطياف المقاسة على جهاز رامن والخاصة بالتكوينات الثلاثة ٤، ٢، ١ على المنطقة من ١٠٠٠ - ٨٠٠ سم<sup>-١</sup> (المحور الرأسي: الشدة، المحور الأفقي السفلي : الرقم الموجي ( سم < ١ - > ) .
- شكل ٩ عبارة عن مقارنة للأطياف المقاسة على جهاز رامن والخاصة بالتكوينات الثلاثة ٤، ٢، ١ على المنطقة من ٤٠٠ - ٢٠٠ سم<sup>-١</sup> ( المحور الرأسي: الشدة، المحور الأفقي السفلي: الرقم الموجي ( سم < ١ - > ) .
- شكل ١٠ يصور جزئي التكوين ١ في أبعاد ثلاثة مع تخطيط عليه العناوين.
- شكل ١١ يعطي تصوير مجسم لجزئي التكوين ١ .

- شكل ١٢ يوضح مسافات الترابط بالأنجستروم لجزئتي التكوين ١ .
- شكل ١٣ يوضح جدول لزوايا الترابط في درجات لجزئتي التكوين ١ .
- شكل ١٤ يوضح جدول لزوايا اللي في درجات لجزئتي التكوين ١ .
- شكل ١٥ يوضح جدول لقياسات موضعية وانحرافاتهما القياسية الموجدة لجزئتي التكوين ١ . X ، Y ، Z كسور من رتبة واحدة تدل على موضع ذرات لها علاقة بمنشأ وحدة الخلية، و B(Z2) تكون عامل الحرارة الأيزوتروبية.
- شكل ١٦ عبارة عن طيف امتصاص تحت حمراء مميز لبلورة واحدة من تكوين ١ .
- شكل ١٧ عبارة عن طيف امتصاص تحت حمراء مميز لبلورة واحدة من التكوين ٢ .
- شكل ١٨ عبارة عن طيف امتصاص تحت حمراء مميز لبلورة واحدة من التكوين ٤ .
- شكل ١٩ عبارة عن مقارنة أطيف امتصاص تحت حمراء مميز لبلورة واحدة من التكوينات ١، ٢، ٤ .
- شكل ٢٠ عبارة عن طيف امتصاص تحت حمراء مميز لبروميد البوتاسيوم من التكوين ١ (المحور الرأسى: التوصيل (%))، المحور الأفقى السفلى : (رقم الموجة (سم  $< 1 - >$ )).
- شكل ٢١ عبارة عن طيف امتصاص تحت حمراء في بروميد بوتاسيوم من تكوين ٢ (المحور الرأسى: التوصيل (%))، المحور الأفقى السفلى : (رقم الموجة (سم  $< 1 - >$ )).
- شكل ٢٢ عبارة عن طيف امتصاص تحت حمراء مميز لبلورة محطة من التكوين ١ .
- شكل ٢٣ عبارة عن طيف امتصاص تحت حمراء مميز لبلورة محطة من تكوين ٢ .
- شكل ٢٤ عبارة عن طيف امتصاص تحت حمراء مميز لبلورة محطة من التكوين ٤ .
- شكل ٢٥ عبارة عن مقارنة لأطيف امتصاص تحت حمراء لبلورة واحدة محطة من التكوين ٤ .
- شكل ٢٦ تصوير جزئى تكوين ٤ في أبعاد ثلاثة، ومع تخطيط ذو عناوين.
- شكل ٢٧ يتيح رسم مجسم لجزئى تكوين ٤ .
- شكل ٢٨ يوضح جدول لمسافات الترابط بالأنجستروم لجزئى التكوين.
- شكل ٢٩ يوضح جدول لزوايا الترابط بالدرجات لجزئى تكوين ٤ .
- شكل ٣٠ يوضح جدول لزوايا اللي بالدرجات لجزئى تكوين ٤ .

شكل ٣١ يوضح جدول للقياسات الموضوعية وانحرافاتها القياسية الموجسدة لجزئيي التكوين ٤ .

شكل ٣٢ يصور جزئيي التكوين ٢ في ثلاثة أبعاد مع تخطيط عليه العناوين .

شكل ٣٣ يوضح جدول لمسافات الترابط بالأنجستروم لجزئيي التكوين ٢ .

شكل ٣٤ يوضح جدول لزوايا الترابط بالدرجات لجزئيي التكوين ٢ .

شكل ٣٥ يوضح جدول لانحراف بالدرجات لجزئيي التكوين ٢ .

شكل ٣٦ يوضح جدول للقياسات الموضوعية وتحولاتها القياسية الموجسدة لجزئيي

التكوين ٢ .

### الوصف التفصيلي

١٠ لقد أكتشف الآن أن سيبا مفللين يمكن أن يوجد في صورة صيغ بلورية جديدة متعددة، صيغ ذات أشكال متعددة، والتي تختلف كل عن الآخر من حيث الثبات، الخواص الطبيعية، معلومات الطيف، طرق التحضير. وقد تم شرح ثلاثة من هذه الصيغ الجديدة المتعددة الأشكال في هذا التطبيق وتكون فيما بعد راجعة الى صيغة ١ ، تكوين ٢ ، تكوين ٤ على الترتيب.

١٥ من الثلاثة الجدد متعددة الأشكال الراجعة لما سبق.

صيغة ١ تكون الأكثر ثباتاً.

صيغة ١ تتميز بأن لها حد أدنى ٥ سنوات لثبات البلورة.

هذا الاختراع أيضاً ينتمي الى تركيب دوائي يحتوى على كمية فعالة من متعدد أشكال من صيغة ١ مع أي من المزايا الملاحظة هنا، وحامل مقبول دوائياً أو مخفف منه.

٢٠ والاختراع أيضاً ينتمي الى تركيب دوائي يحتوى على كمية فعالة من متعدد أشكال من صيغة ٢ مع أي من المزايا الملاحظة هنا، وحامل مقبول دوائياً، أو مخفف منه.

هذا الاختراع أيضاً ينتمي الى تركيب دوائي يحتوى على كمية فعالة من متعدد أشكال من صيغة ٤ مع أي من المزايا السابقة الملاحظة هنا، وحامل مقبول دوائياً، أو مخفف منه.

هذا الاختراع بصفة إضافية ينتمي الى الاستخدام في العلاج من الأمراض المنقولة عن طريق PDE<sub>4</sub> في ثديي في حاجة اليه، أي طريقة تقديمه الى حيوان ثديي كمية مؤثرة من متعدد أشكال من صيغة ١ مع أي من المزايا المذكورة هنا.

وهذا الاختراع له علاقة بصورة إضافية الى الاستخدام في معالجة الأمراض المنقولة عن طريق PDE<sub>4</sub> في حيوان ثديي في حاجة اليه بناء على ذلك، أي طريقة تتضمن إعطاء حيوان ثديي كمية مؤثرة من متعدد الأشكال صيغة ٢ مع أي من الخصائص الملحوظة في هذا.

هذا الاختراع له علاقة بصورة إضافية بالاستخدام علاج الأمراض المنقولة عن طريق PDE<sub>4</sub> في حيوان ثديي في وقت الحاجة وبناء على ذلك، أي طريقة تتضمن إعطاء جرعة مؤثرة من متعدد الأشكال من صيغة ٤ الى هذا الحيوان الثديي مع أي من الخصائص الملحوظة في هذا.

هذا الاختراع ناتج من تحقيق أن يقع معينة من سيبا مفليلين تظهر اختلافات في أطيف تحت الحمراء IR mull الخاصة بها. وتحضر كل البقع بنفس الطريقة بواسطة إيثانول كمذيب نهائي معيد للتبلر وبناء على ذلك يكون من الممكن أن سرعة التبلر يمكن أن تؤثر على شكل البلورة.

وعلى ضوء هذا، فإن العينات المعادة التبلر تحضر بسحق تبريدي لجزء من السائل الساخن بينما المتبقى يسمح له أن يبقى ويتبلر دون مساعدة. وفي كل حالة فإن حجم البقعة كانت ١ جم أو أقل. وتجفف العينات فوق هلام سيليكات تحت تفريغ وفي درجات حرارة الغرفة. وفي هذا البرنامج لإعادة التبلر، فإن هناك ثلاثة صيغ متعددة الأشكال أمكن التعرف عليها طريقة إيجابية، وهي مشروحة هنا في صورة الصيغ ١، ٢، ٤.

وبناء على هذا فإن الاختراع له أيضاً علاقة بطريقة لتحضير متعدد أشكال من صيغة ١ مع أي من الخصائص السابقة متضمنة السيبا مفليلين المتبلر في محلول كحولي من الإيثانول (س/ف)، بروبانول (ب/س)، بيوتانول (ب/س)، إيزوبروبانول (ب/س) أو مذيب عضوي من أسيتات الإيثيل (ب/س)، طولوين، أو كمذيب ماء\*. وتحت ظروف معينة، فإن رباعي هيدروفيوران (ب/س)، وأستون (ب)، يمكن أيضاً أن يستخدم.



وفي شغل إضافي مع تبريد سريع. بمعنى أن حمام مائي مثلج يستخدم مع عينات قاس صغيرة، والوقت المأخوذ بواسطة حرارة التفاعل لتتخفض من درجة الحرارة المرتفعة الى درجة الحرارة المحيطة تأخذ حوالى دقيقة واحدة مع الإيثانول كمذيب.

وفي مضمون مفضل من هذا الاختراع، ١- بروبانول يكون المذيب الأمثل لتحضير صيغة ١ من الصيغ متعددة الأشكال. ٥

وهذا الاختراع أيضاً له علاقة بطريقة لتحضير متعدد الأشكال من صيغة ٢ مع أي من الخصائص السابقة المتضمنة سيبا مفللين المتبلر في محول كحولي من الميثانول (ب/س) أو مذيب عضوي من رباعي هيدروفيوران (ب)، أو أسيتون. وتحت ظروف معينة، فإن الكلوروفورم أو بيريدين يمكن أن يستخدم.

وهذا الاختراع له علاقة أيضاً بطريقة لتحضير متعدد أشكال من صيغة ٤ مع أي من الخصائص السابقة المتضمنة سيبا مفللين المتبلر في مذيب عضوي من خليط من ٥٠:٥٠ من إيثانول، وأيزوبروبانول. ١٠

ونتيجة لقلة ذوبان سيبا مفللين بصفة خاصة، في مذيب له علامة نجمة (\*)، مثل التولوين أو الماء للصيغة ١، وعملية إعادة التبلر تكون مطورة. بمعنى أن المحلول الساخن يصفى لإزالة المواد غير الذائبة والمذاب يسمح له أن يبقى ويتبلر خارج المركب. ١٥

والاصطلاح (ب) كما هو مستخدم هنا يرجع الى إعادة تبلر بطئي في درجة الحرارة المحيطة. ويلاحظ أن الاصطلاح تبريد "بطئ" (وتبريد "سريع") تكون اصطلاحات نسبية. وفي هذا المعنى الخاص فإن التبريد البطئ يمكن أن يقحم إزالة الحمام الزيتي وتبريد الهواء.

وعلى أساس القياس وحده (تقريباً ١ جم كمية لبعض التجارب، عكس حجم البقعة التجارية) والتبريد يمكن أن يكون في الواقع سريعاً تماماً، مثل في معدل ١٥-٣٠ دقيقة. ٢٠ ولكن تحت ظروف محيطة متحكم فيها، فإن التبريد البطئ يعرف بصفة عامة بأنه حوالى ساعة واحدة (١) من الحرارة المرتفعة الى الحرارة المحيطة. والتبريد البطئ جداً يكون تقريباً من حوالى (٤) ساعات من المرتجع الى المحيط. تحت هذه الظروف فإن الصيغة ٢ يمكن الحصول عليها أيضاً من الإيثانول كما هو مشروح فيما بعد في هذه الوثيقة. ولكن، بطريقة

مماثلة تحت أحجام البقعة الصغيرة في بعض الاختبارات المستخدمة للصيغة ١، فإن طريق الإيثانول ( تبريد بطيء) ليس من الضروري أن يكون مذيّب / حرارة الأفضل ما يمكن للصيغة ١ . ويلاحظ أيضاً أنه بالنظر الى استخدام الأستيون في التبريد السريع (معنى استخدام حمام ثلجي)، فإن الصيغة ١ تتكون والتحليل المحدود يشير أيضاً الى أن استخدام الأستيون تحت طريق التبريد السريع ليس من الضروري أن يكون مذيّب / حرارة المختار للصيغة ٢ .

والمصطلح (س) كما هو مستخدم هنا يرجع الى إعادة التبلر السريع بالتحطيم البارد، مثلاً بواسطة وضع الإناء في حمام ماء مثلج أو عملية مشابهة للقياسات الأكبر.

هذه الثلاثة متعددات الأشكال الجديدة المتبلرة من سيبيا مفللين، ترجع أيضاً إلى BRL - ٦١،٣٦ ، ولكن يذوب عن حوالى ٣٠٥ °م إلى حوالى ٣١٣ °م متعدد الأشكال المتبلر، صيغة ١ يعطي أشعة سينية ذات شكل خاص من مسحوق مشع أو مكسر للضوء مع ارتفاعات مميزة، يعبر عنها بمسافة "م" منخفضة (A) في العزم المنخفض، عند ١٢،٣٠٢ ، ٧،٧٠٢ ، ٨،٥٣٢ ، ٤،٢٨٩ ، ٢،٨٥٤ ، كما هو موضحة في شكل ١ ويمكن أن توجد مناقشة لنظرية أشكال مسحوق الأشعة السينية المكسر والمشع للضوء يمكن أن توجد في ستاوت وجنسن، تحقيق تركيب الأشعة السينية، مرشد خاص، شركة ماكميلان، نيويورك (١٩٦٨).

ومتعدد الأشكال البلوري، صيغة ٢ ، يوضح أشعة سينية ذات شكل خاص من مسحوق مكسر ومشع للضوء، مع ارتفاعات مميزة يعبر عنها بمسافة م منخفضة (A) في العزم المنخفض، في ١٢،٠٠١ ، ٦،٧٠٢ ، ٣،٦٨٧ ، ٣،٧٧٣ ، ٧،٣٤٥ ، كما هو موضح في شكل ٢ .

وهذا الاختراع أيضاً له علاقة لمتعدد الأشكال البلوري صيغة ٤،٢،١، من سيبيا مفللين والتي تتميز بصورة إضافية، بقياسات البلورة المأخوذة من التحليل الفوتوغرافي البلوري بالأشعة السينية لبلورة واحدة، كما هو موضوع في تصاعد في جدول ٣،٢،١ فيما بعد، ومعلومات الأشعة السينية ٣-دي مجموعة عند درجة الحرارة المحيطة.

## جدول ١

### المحددات البلورية للشكل ١

شكل البلورة	:	إبريات مفلطحة.
أبعاد البلورة (مم)	:	$1,12 \times 0,08 \times 0,08$ مم.
لون البلورة	:	عديمة اللون
المجموعة الفراغية	:	$P_1$ ثلاثي الميل # ٢
درجة الحرارة	:	٢٩٥ ك
ثوابت الخلية	:	أ = $10,829$ (٢) إنجستروم.
	:	ب = $12,636$ (٢) إنجستروم.
	:	ج = $5,105$ (٣) إنجستروم.
	:	ألفا ( $\alpha$ ) = $99,48$ (٤)
	:	يتا ( $\beta$ ) = $91,53$ (٤)
	:	جاما ( $\delta$ ) = $83,84$ (٣)
الحجم	:	٦٥٠ (٨) إنجستروم <sup>٣</sup>
الجزئيات / وحدة خلية (Z)	:	٤
الكثافة، $\sigma$ (حسابياً)	:	$1,354$ جم / سم <sup>٣</sup>
$\mu$	:	$7,362$ سم <sup>-١</sup>
F (٥٥٥)	:	٢٩٢

جدول ٢

المحددات البلورية للشكل ٢

شكل البلورة	:	مكعبات مستطيلة.
لون البلورة	:	عديمة اللون
أبعاد البلورة (مم)	:	٠,٨٠ × ٠,٥٠ × ٠,١٥ مم
المجموعة الفراغية	:	$P_2$ ٢/١ أحادية الميل # ١٤
ثوابت الخلية	:	أ = ١٢,٢٢٧ (٤) إنجستروم.
	:	ب = ٧,٤٤٨ (٢) إنجستروم.
	:	ج = ١٤,٩٤٦ (٨) إنجستروم.
	:	بيتا (β) = ٩٧,٩٥ (٤).
الحجم	:	١٣٤٨,١ (٩) إنجستروم
الجزئيات / وحدة خلية (Z)	:	٤
الكثافة، σ (حسابياً)	:	١,٣٥٦ جم / سم <sup>٣</sup>
μ	:	٠,٨٩٦ سم <sup>-١</sup>
F(٥٥٥)	:	٢٩٢٥٨٤ .

### جدول ٣

#### المحددات البلورية للشكل ٤

شكل البلورة (مم)	:	إبريات مفلطحة.
لون البلورة	:	عديمة اللون
أبعاد البلورة (مم)	:	٠,٦٠ × ٠,١٠ × ٠,٠٥ مم
المجموعة الفراغية	:	$P_1$ ثنائي الميل # ٢
درجة الحرارة	:	٢٩٥ ك
ثوابت الخلية	:	أ = ١٠,٢١٠ (٣) إنجستروم.
	:	ب = ١٣,٧٥٣ (٢) إنجستروم.
	:	ج = ٤,٩٤٢ (٣١) إنسجستروم.
	:	ألفا ( $\alpha$ ) = ٩٧,٩٤ (٢)
	:	بيتا ( $\beta$ ) = ٩٧,٩٥ (٤).
	:	جاما ( $\delta$ ) = ٨٣,٣٣ ( ٢ )
الحجم	:	٦٧٧,١ (٥) إنجستروم <sup>٣</sup>
الجزئيات / وحدة خلية (Z) :	:	٢
الكثافة ، $\sigma$ (حسابياً) :	:	١,٣٥٠ جم / سم <sup>٣</sup>
$\mu$ :	:	٧,٤٤٨ سم <sup>-١</sup>
F (٥٥٥) :	:	٢٩٢ .

يتم تعريف بعد وحدة الخلية بواسطة ثلاثة محددات طول أجناب الخليفة ، الزوايا

النسبية بين الأجناب وبعضها وأخيراً حجم الخلية. ٢٠

ويتم تعريف أطوال جوانب وحدة الخلية بالرموز أ، ب، ج. بينما تمثل الزوايا

النسبية بين أجناب الخليفة الرموز ألفا، بيتا وجاما. ويعرف حجم الخلية بالرمز (ح).

وهناك المزيد من التفصيل عن حسابات وحدة الخلايا والتي يمكن الرجوع إليها من خلال

الفصل ٣ من مرجع تحديد التركيب باستخدام الأشعة السينية، المرشد العملي، شركة

٢٥ مكميلان، نيويورك، (١٩٦٨).

ومن الممكن أن يتم وصف الحالة البلورية لمركب باستخدام مختلف المحددات الخاصة بالتمثيل البياني البلوري: أبعاد وحدة الخلية، المجموعة الفراغية، الوضع الذري لجميع الذرات الموجودة في المركب بالنسبة الى مصدر وحدة الخلية الخاصة به. ويمكن تحديد هذه المحددات تجريبية باستخدام التحليل البلوري بواسطة الأشعة السينية.

٥ ومن الممكن أن يكون للمركب عدة أشكال بلورية وتسمى هذه بمتعددة الأشكال. ولقد تم التوصل الى وجود ثلاثة أشكال متعددة الشكل من السيبا مفليلين. ويؤكد هذا الاكتشاف تحليل الأشعة السينية لثلاثة بلورات منفصلة. ولقد تم رصد النتائج الخاصة بمقارنة هذه الأشكال البلورية الثلاثة والخاصة بأبعاد وحدة الخلية والمجموعات الفراغية من خلال الجداول من ١ الى ٣ السابقة.

١٠ ويؤكد رسم المواضع الذرية، لمتعددات الأشكال الثلاثة، الخاصة بالذرات المشتقة من تحليل الأشعة السينية للبلورة الأحادية أن البلورات تحتوى على سيبا مفليلين ودون وجود شوائب أو جزيئات بلورية أخرى.

ويوضح الشكل ١٠ الجزئ في ثلاثة أبعاد مع وجود مخطط تركيبي موضح. ولقد تم إدراج الشكل ١١ لتوضيح الرسم الفراغي. ويتطابق التركيب الجزئي الموضح خلال الشكل ١٥ (١) مثيله الخاص بالشكل (٤)، باستثناء عدم الانتظام الواضح في أحد مجموعات البروبيل الحلقي (الذرتان ك<sub>١٢</sub> و ك<sub>١٣</sub>) والذي تم تعديله خلال موضعين متساويين بالنسبة الى هذه الذرات. وتشير الدرجة العالية من الحركة الحرارية من مجموعة البروبيل الحلقي (الذرات ك<sub>١٦</sub>، ك<sub>١٧</sub>) الى التشوه بالإثناء المتوقع.

وتشابه وحدة الخلية الخاصة بالبلورة الخاصة بالشكل (١) مثلتها الخاصة بالشكل ٣، ٢٠ بنفس أبعاد الخلية، وحجم أكبر مقدار ٨ أنجستروم<sup>٣</sup> وبالتالي تنخفض الكثافة بواقع ١٥، ٠، ٠ جم سم<sup>٣</sup>. تقع جميع هذه التأثيرات خلال الانتظامية الموجودة في القناة التي تشغلها مجموعات البروبيل حلقي.

ويكون الترابط الهيدروجيني في هذا التركيب البلوري بين الجزيئات في الطبيعة وبمائل من الوجهة النوعية ذلك الموجود في الشكل ٤. وكما هو الحال في تركيب الشكل (٤) فإن مواضع الهيدروجينات الأمينية يمكن تأكيدها من خلال خرائط فورير للكثافة الإلكترونية ولا ٢٥

يتوافق موضع يد<sub>٢</sub> ن<sub>٢</sub> مع مشاركة الهيدروجين في الروابط الهيدروجينية البينية. وتفصل مسافة مقدارها ٣,٣٩٩ (٣) إنجستروم بين ذرات ن<sub>٢</sub> وكذلك أ<sub>٥</sub> في الشكل (١) مما يشير الى إمكانية التفاعل الضعيف المشابه للذي تم ملاحظته في تركيب الشكل (٢)، وذلك على الرغم من أن المسافة الموجودة في هذا الشكل تكون أطول بمقدار ٠,٤ إنجستروم، وعند حساب الموضع يد<sub>٢</sub> ن<sub>٢</sub> مما يؤكد هذا التفاعل الهيدروجيني الترابطي، فإن القيمة الحرارية تصبح كبيرة بشكل غير معقول، مما يشير الى أن النتائج لم تدعم هذا الموضع التبادلي. ولهذا فإن التحسين يبلغ مداه عندما تكون ن<sub>٢</sub> يد<sub>٢</sub> في موضعه الأصلي المذكور من خلال فرق تخليق فوريور. وبالنسبة الى التفاصيل القياسية المرافقة لزوج الروابط الهيدروجينية الأخرى فلقد كانت كالآتي :

١٠ ن ٢ ---- ن ١ ٣,٠٦٧ (٣) إنجستروم .

ن ١ ن ٢ ---- ن ١ ٢,١٦ (٣) إنجستروم زاوية ١٧٣ (٣)°

ن ٣ ---- أ ٥ ٢,٧٩٣ (٣) إنجستروم

يد ن ٣ ---- أ ٥ ٢,٠٢ (٣) إنجستروم زاوية ١٦٥ (٤)°

وبالنسبة الى التكوين (٤)، فإن الشكل ٢٦ يوضح الجزئ في ثلاثة أبعاد مع الاستعانة بالمخطط التركيب. ويقدم الشكل ٢٧ رسومات فراغية للتكوين (٤). وبالنسبة الى النتائج المذكورة في هذا الجزء، فإن بلورات التكوين (٤) تنمو في خليط ٥٠/٥٠ الإيثانول والأيزوبروبانول بالتبخير البطئ. إضافة الى ذلك فإن البلورات الخاصة بالتكوين (١) تنمو في خليط المذيب مع بلورات التكوين (٢)، مع إبريات من التكوين (٤) والتي تظهر عقب تبخير المحلول بأيام عديدة. ويشابه التكوين الجزئي الخاص بالصورة (٤) بدرجة كبيرة لذلك الخاص بالصورة (٢). وتتركز الاختلافات الأساسية في توجيه الدوران الخاص بمجموعات البروبيل الحلقي والتي تقع في علاقة إينانتوميرية شكلية بالنسبة الى أجزائها المضادة في تركيب الصورة ٢، وذلك حسب زاوية اللي المجدولة في جدول ٤ ، وتظهر في الشكل (٣).

وتكون الروابط الهيدروجينية الموجودة في التركيب البلوري الخاص بالشكل (٤) بين الجزئيات ذات طبيعة مشاهمة، وتتفاعل فيما بينها نوعياً مع تلك الخاصة بالصورة (٢). ويتضمن الفارق الرئيسي واحداً من زوج الهيدروجين الموجود على

٢ ن. وهناك توضيح لموضع يد ١ ن ٢ يمكن ملاحظته من خلال فرق فوريور على  
خرائط الكثافة الإلكترونية. ولا يتوافق الموضع مع مشاركة الهيدروجين في تفاعل  
الرابطة الهيدروجينية. وتفضل مسافة ٣,٢٧٣ (٣) إنجستروم بين ذرات ٢ ن  
وكذلك او في التكوين (٤)، وعلى أي حال، فإنه من المقترح أن تكون إمكانية  
تفاعل الترابط الهيدروجين مشابهة لتلك الملاحظة في تركيب التكوين ٢، وعلى  
الرغم من ذلك فإن المسافة الملحوظة في هذا التكوين تزيد عن ٠,٢ أنجستروم.  
ويجب حساب موضع يد ١ ن ٢ الذي يجب أن يكون متوافقاً مع تفاعل الترابط  
الهيدروجين، وهناك الكثير من المحاولات المبذولة لتنقيته، وقد تصبح القيمة الحرارية  
كبيرة جداً، مما يشير الى أن النتائج لا تدعم هذا الموضع. وتبلغ التحسينات مداها  
عند الموضع الأصلي كما يظهر من فرق تخليق فوريور. ويمكن تمثيل التفاصيل  
القياسية الخاصة بالروابط الهيدروجينية كالاتي :

٢ ن ---- ١ ن ٣,٠٤٢ (٢) إنجستروم

يد ١ ن ٢ ---- ١ ن ٢,١١ (٢) إنجستروم زاوية ١٧٣ (٢)°

٣ ن ---- أ ٥ ٢,٧٣١ (٢) إنجستروم

يد ٣ ن ---- أ ٥ ١,٩١ (٢) إنجستروم . زاوية ١٦٠ (٢).

وبالنسبة الى التكوين ٢، فإن الشكل ٣٢ يوضح التكوين ٢ الخاص بالجزئ في ثلاثة  
أبعاد وذلك كما يظهر في المخطط التركيبي. ويكون الترابط الهيدروجين لتركيب البلورة  
الخاص بتكوين (٢) متعدد الأشكال بين الجزئيات في الطبيعة. و بالنسبة الى التفاصيل  
القياسية فإنها كالاتي :

٢ ن ---- أ ٥ ٣,٠٤٩ (٣) انجستروم ٢٠

يد ١ ن ٢ ---- أ ٥ ٢,٢٦ (٣) انجستروم زاوية ١٥١ (٢)°

٢ ن ---- ١ ن ٣,٠٧١ (٣) انجستروم

يد ٢ ن ٢ ---- ١ ن ٢,٤١ (٣) انجستروم زاوية ١٣٧ (٣)°

٣ ن ---- أ ٥ ٢,٧٤١ (٣) أنجستروم

يد ٣ ن ---- أ ٥ ١,٩٠ (٣) إنجستروم زاوية ١٦٨ (٢)° ٢٥



## التفاصيل التجريبية :

### التكوين ١

- تنمو الإبريات المفلطحة بالتبخير البطيء لخليط من خلاط الإيثيل والبيوتانول. ويتم تحديد محددات الشبكة البلورية من إنعكاسات الزوايا ٢٥ الموزعة في الفراغ المقلوب المقاس على جهاز قياس التشتت Enraf Nonius CAD-4 وذلك حسب ما سيلي ذكره من خلال جدول ٥ ويتم جمع النتائج الخاصة بالشدة الكروية الكاملة باستخدام قياس التشتت باستخدام أشعة نحاس أحادية المصدر الضوئي جرافيتية الصادرة من مصدر مصعد كهربي دوار والطريقة الفنية لقياس سرعة الأشعة المتغيرة  $2\theta - \omega$ . ويتم قياس مقادير الشدة الخاصة بانعكاسات الشاشة الثلاثة عند البداية والنهاية وكل ساعتين من زمن التعرض المتغير بمقدار  $\pm 0.1\%$  ويتم التحكم في الموجهات الثلاثة عند الضبط لتحديد أي حركة للبلورة خلال التجربة ويتم ضبط النتائج على مؤثرات استقطابية لورنتز، ويستخدم كذلك الحساب العشري DIFABS، بالنسبة إلى تأثيرات الامتصاص. ويتم عمل معدل للنتائج المقاسة حتى يتم الحصول على مجموعة النتائج النهائية.
- ويتحمل التركيب بالطرق المباشرة باستخدام سلسلة برنامج SHELXS. ويتم توفيق المواضع الذرية مع العوامل الحرارية الأيزوتروبية ثم مع المحددات الإزاحية اللاأيزوتروبية. ويتم تقليل الدالة إلى أقصى حد كالتالي :

$$\sum \omega (|FO| - |FC|)^2$$

وتنسب الأوزان (W) مع النتائج على أساس أن :

$$W = 1 / \sigma^2 (FO) = \{ \sigma^2 (IC) + (0.04 I)^2 \}.$$

- ٢٠ ويتم اكتشاف مواضع ذرات الهيدروجين الملامسة للنتروجين في خرائط فروق فوريور. ويتم حساب مواضع ذرات الهيدروجين الملامسة للكربون على أساس الاعتبارات الفراغية والمثبتة في المراحل النهائية للتحسين على طول الخط مع العوامل الحرارية الأيزوتروبية المعلمة بالرمز 1.3(Beq) الخاص بالذرة الملامسة. ولا يتم احتساب ذرات الهيدروجين الموجودة على مجموعات البرويل الحلقي عند التحسين. ويتم تحسين جميع المواضع الهيدروجينية على طول الخط مع العوامل الحرارية الأيزوتروبية. ويتم جمع القيم العليا (  $\max \Delta / \sigma = 0.05$  ) الخاصة

بالمربعات الدنيا للمادة الكاملة المحسنة من المتبقيات البلورية التمثيلية الملائمة على أسلس أن :

$$R = 0.056, WR = 0.092 .$$

ولا يحمل فارق خريطة فوريور النهائي أي سمات عند الكثافة القصوى + / -  
٥ ٠,٢٨٥ إنجستروم<sup>-٣</sup> . ويمكن حساب قيم عوامل الاستطارة الخاصة بالذرة المتعادلة من الجداول العالمية لقياسات الأشعة السينية المتعلقة بعلم البلوريات.

### جدول ٥

#### نتائج قياس الشدة الخاصة بالتكوين ١

Enrof Nonius CAD4	:	جهاز قياس التشتت	
$1,5406 = \alpha\lambda$ كع	:	الإشعاع	١٠
بلورة أحادية الجرافيت.	:	مصدر أحادي الضوء	
$\omega - 2\theta$	:	الطريقة الفنية للمسح الراداري	
متغيرة بين ١,٥٠ الى ٦,٧ درجة دقيقة في $\omega$ .	:	سرعة المسح الراداري	
بلورة متحركة - عداد متحرك عند كل طرف من أطراف مستوى المسح الراداري؛	:	قياسات الخلفية	١٥
زمن المسح الراداري / زمن الخلفية = ٢	:	مستوى النتائج	
$2 \geq \theta \geq 60^\circ$	:		
$12 \geq h \geq 12-$			
$14 \geq k \geq 14-$			
$5 \geq l \geq 5-$			٢٠

الانعكاسات القياسية : ثلاثة قياسات تقاس كل ثلاثة ساعات من زمن تعرضها للأشعة السينية.

عدد الانعكاسات الكلية : ٢٣٢٠

٢٠٣٢ مفرد

Rint : ١,٢ % ٢٥

عدد النتائج المقاسة  $I_{1749} < 30$  (I)

عدد المتغيرات : ١٩٩

P : ٠,٠٤

R : ٠,٠٥٦ %

RW : ٠,٠٩٢ %

٥

تصحيح الامتصاص: ٠,٨٦٨ دقيقة ١,٢٥٤ بحد أقصى ٩٩١ ave .

وبالنسبة الى نتائج الأشعة السينية التجريبية الخاصة بالبلورة المكتملة الأحادية المستخدمة في إنتاج التركيب فإنها ممثلة في الشكل ١٠ بالنسبة الى التكوين (١) الموجود في الأشكال من ١٢ الى ١٥ . ويتم قياس المحددات الموجودة في الجداول بالوحدات الشائعة الاستخدام والمعروفة للعاملين بهذا المجال. ويمكن الرجوع الى المزيد من التفاصيل عن الوحدات من خلال الجداول العالمية الخاصة بقياسات الأشعة السينية في علم البلوريات، جزء ٤ ، صفحة ٥٥ ، ٩٩ ، ١٤٩ ، برمنجهام: مطبعة كينوتش، ١٩٧٤، وكذلك من خلال المرجع G.M. Sheldtick, SHELXTL. User Manual, Nicolet Instrument. Co, 1981 .

## التكوين ٢ :

١٥ يتم تكوين الطبقات المستطيلة عن طريق التبخير البطيء للمحلول المحضر في ميثانول/٢ بيوتانول. ويتم حساب محددات الشبكة البلورية من الزوايا المحيطة الخاصة بخمسة وعشرون انعكاس ويتم ترتيبها تبادلياً على جهاز تشتيت Enrof Nonius CAD-4 ولسوف يتم القاء المزيد من التوضيح من خلال الجدول ٦ . ويتم جمع بيانات الشدة على المشتت باستخدام اشعاع موليبدنيوم جرافيتي أحادي الضوء وطريقة فنية للمسح الراداري السريع المتغير  $2\theta - \omega$  .

٢٠ ويتم تصحيح النتائج الخاصة بالنقص ٤.٨ % في قسم الشدة لانعكاسات الشاشة الثلاثة المقاسة عند الابتداء، والنهية وعقب ساعتين من زمن التعرض. ويتم التحكم في ثلاثه محددات للاتجاه لقياس أي حركة بلورية أثناء التجربة. ويتم تصحيح النتائج وفقاً لمؤثرات لورنتز المؤثرات القطبية، مع استخدام النتائج الكسرية العشرية DIFABS من أجل تأثيرات

الامتصاص. ويتم عمل معدل للانعكاسات المنطقية ومكافئات التماثل للحصول على مجموعة النتائج النهائية.

ويتم حل التركيب بالطريقة المباشرة مع استخدام سلسلة برنامج MOLTAN80 .

ويتم توفيق المواضع الذرية ابتداءً مع العوامل الحرارية الأيزوتروبية ثم مع محددات الإزاحة الأيزوتروبية. ويتم خفض الدالة الى حددها الأدنى كالاتي :

$$\Sigma \omega (|FO| - |FC|)^2$$

وينسب الأوزان، W ، للنتائج على أساس أن

$$W = I/\sigma^2 (FO) = [\sigma^2 (IC) + (0.04I)^2]$$

ويتم الكشف عن مواضع ذرات الهيدروجين من خلال خرائط فروق فوريور.

ويسمح بتحسين الخواص والعوامل الحرارية الأيزوتروبية الخاصة بذرات هيدروجين الأحماض

الأمينية وهيدروجينات الميثين على حلقات البروبيل الحلقي. ويتم حساب مواضع ذرات

الهيدروجين الأخرى بالاعتماد على الاعتبار الهندسية وتظل ثابتة حتى مراحل التحسين

النهائية على طول الخط مع العوامل الحرارية الأيزوتروبية المعلمة بالرمز (Beq) 1.3 الخاص

بالذرة الملامسة. ويتم جمع القيم العليا ( $\max \Delta / \sigma = 0.005$ ) بالمربعات الدنيا للمادة الكاملة

المحسنة من المتبقيات البلورية التمثيلية الملائمة على أساس أن :

$$R = 0.44 ، WR = 0.054 .$$

ولا يحمل فارق خريطة فوريور النهائي أي سمات عند الكثافة القصوى +/-

١٩٦٠، انجستروم<sup>٣-</sup> . ويتم احتساب قيم عوامل الاستطارة الخاصة بالذرة المتعادلة من

الجداول العالمية لقياسات الأشعة السينية المتعلقة بعلم البلوريات.

وبالنسبة الى نتائج الأشعة السينية التجريبية الخاصة بالبلورة المكتملة الأحادية

المستخدمة في انتاج التركيب فإنها ممثلة في الشكل ٣٢ بالنسبة الى التكوين (٢) الموجود في

الأشكال من ٣٣ الى ٣٦ . ويتم قياس المحددات الموجودة في الجداول بالوحدات الشائعة

الاستخدام والمعروفة للعاملين في هذا المجال.

## جدول ٦

### نتائج قياس الشدة الخاصة بالتكوين ٢

Enrof Nonius CAD4 : جهاز قياس التشتت

الاشعاع :  $\alpha$  mok  $\lambda = 0,711073$  أنجستروم

مصدر أحادي الضوء: بلورة أحادية الجرافيت. ٥

الطريقة الفنية للمسح الراداري :  $\omega - 2\theta$

سرعة المسح الراداري : متغيرة من ٢,٥ الى ٦,٧ درجة دقيقة في  $\omega$  .

قياسات الخلفية : بلورة متحركة - عداد متحرك عند كل طرف من أطراف

مستوى المسح الراداري / زمن الخلفي = ٢ .

١٠ مستوى النتائج :  $2 \geq \theta \geq 60^\circ$

صفر  $14 \geq h \geq$

صفر  $8 \geq k \geq$

$17 \geq l \geq 17$

الانعكاسات القياسية : ثلاثة انعكاسات تقاس كل ثلاثة ساعات من زمن التعرض

١٥ للأشعة السنوية.

عدد الانعكاسات الكلية : ٢٤٦٩

٢٣٥٣ مفرد

عدد النتائج المقاسة :  $I 1417 < \sigma 3 (I)$

عدد المتغيرات : ٢٠٢

٢٠ P : ٠,٠٤

R : ٠,٠٤٤ %

RW : ٠,٠٥٤ %

جودة المطابقة : ١,٤٠٣

معامل الاثارة :  $10 \times (1) 7,869$

٢٥ تصحيح الانحلال : ٠,٩٧٦٩ دقيقة ، ١,١٣٧٤ واحد أقصى

## تكوين ٤ :

تتكون إبريات مفلطحة بالتسخين البطيء باستخدام خليط ٥٠/٥٠ إيثانول وأيزوبروبانول. ويتم تقييم المحددات الخاصة بالشبكة البلورية الموزعة في الفراغ التبادلي مقاسة على مشنت 4 - Enrof Nonius CAD ، والمذكورة في الجدول ٧ .

٥ ويتم حساب الكروية الكاملة لنتائج الشدة باستخدام التشتت باستعمال ضوء أحادي المصدر جرافيتي ذو أشعاع نحاسي يأتي من مصعد دوار المصدر والطريقة الفنية للمسح الراداري بسرعة متغيرة للمسح مقدارها  $2\theta - \omega$  ويتم قياس قيم الشدة الخاصة بانعكاسات الشاشة الثلاثة عند النهاية والبداية وكل ساعتين من زمن التعرض بمقدار  $+ / - 0.1\%$ . ويتم التحكم في الموجهات الثلاثة عند الضبط لتحديد أي حركة للبلورة خلال التجربة. ويتم ضبط النتائج على مؤثرات لورنتز والمؤثرات الاستقطابية ويستخدم كذلك الحساب العشري DIFABS الخاص بتأثيرات الامتصاص. ويتم عمل معدل لمكافئات التماثل وكذلك تلك الخاصة بمساعدات فريدل وذلك للحصول على مجموعة النتائج النهائية. ويتم حل التركيب بالطرق المباشرة باستخدام سلسلة برامج SHELXS . ويتم توفيق المواضع الذرية مع العوامل الحرارية الأيزوتروبية تم مع المحددات الازاحية للأيزوتروبية.

١٥ ويتم تقليل الدالة الى أقصى حد كآتي :

$$\sum \omega (|FO| - |FC|)^2$$

وتنسب الأوزان (W) مع النتائج على أساس أن :

$$W = 1 / \sigma^2 (FO) = [\sigma^2 (IC) + (0.04I)^2]$$

٢٠ ويتم إكتشاف مواضع ذرات الهيدروجين الملامسة لذرات النيتروجين في خرائط فارق فورير. ويتم حساب مواضع ذرات الهيدروجين الملامسة لذرات الكربون الخاصة بمثيلين البروبيل الحقي على أساس الاعتبار الهندسية الفراغية والمثبتة في المراحل النهائية للتحسين على طول الخط مع العوامل الحرارية الأيزوتروبية المعلمة بالرمز 1.3(Beq) الخاصة بالذرة الملامسة. ويتم توفيق جميع المواضع الهيدروجينية على طول الخط مع العوامل الحرارية الأيزوتروبية ويتم جمع القيم العليا ( $\max \Delta / \sigma = 0.01$ ) الخاصة بالمربعات الدنيا للمادة الكاملة

٢٥

المحسنة الخاصة بالمتبقيات البلورية التمثيلية الملائمة على أساس أن :

$$R = 0.049 , WR = 0.071 .$$

ولا يحمل فارق خريطة فوريور النهائي أي سمات عند الكثافة القصوى +/ -

٥,٥١٥ إنجستروم<sup>-٣</sup> . ويمكن حساب قيم عوامل الاستطارة الخاصة بالذرة المتعادلة من

الجداول العالمية لقياسات الأشعة السينية المتعلقة بعلم البلوريات.

### جدول ٧

#### نتائج قياس الشدة الخاصة بالتكوين ٤

جهاز قياس الشدة الخاصة بالتكوين

جهاز قياس التشتت : Enrof Nonius CAD4

الإشعاع :  $\alpha$  CUK  $\lambda = 154.06$  أنجستروم ١٠

الطريقة الفنية للمسح الراداري :  $2\theta - \omega$

سرعة المسح الراداري : متغيرة من ٢,٥ الى ٦,٧ درجة دقيقة<sup>-١</sup> في  $\omega$  .

قياسات الخلفية : بلورة متحركة - عداد متحرك عند كل طرف من أطراف

مستوى المسح الراداري / زمن الخلفية = ٢ .

مستوى النتائج :  $2 \geq \theta \geq 60^\circ$  ١٥

$$11 \geq h \geq 11 -$$

$$15 \geq k \geq 15 -$$

$$5 \geq l \geq 5 -$$

الانعكاسات القياسية : ثلاثة قياسات عقب كل ثلاثة ساعات من زمن التعرض

٢٠ للأشعة السينية.

العدد الكلي للإنعكاسات : ٣٩٩٨

٢٠١٧ منفرد

عدد النتائج المقاسة :  $11662 < I < 30$  (I)

عدد المتغيرات : ٢٠٢

٢٥ : P , ٠,٠٤

R : ٠,٠٤٩ %

RW : ٠,٠٧١ %

جودة التطابق : ٢,٠٩٥

معامل الإخماد : ١,٤١١ (١)  $\times 10^{-6}$

٥ تصحيح الامتصاص : ٠,٩١١ دقيقة ، ١,٠٨٨ بحد أقصى ٠,٩٩٧ ave .

وتكون نتائج تحليل الأشعة السينية للبلورة الأحادية محدودة بالبلورة الموضوعية في شعاع الأشعة السينية. وتعطي نتائج التمثيل البلوري على مجموعة كبيرة من البلورات إنكسار على المسحوق المستخدم في الأشعة السينية. وإذا ما كان المسحوق عبارة عن مركب متبلر نقي فإنه من الممكن الحصول على مخطط بسيط للمسحوق. ولكي يتم مقارنة النتائج الخاصة بتحليل بلورة واحدة وتحليل بأشعة إكس للبودرة فإنه من الممكن إجراء عملية حسابية بسيطة لتحويل معلومات بلورة واحد الى رسم توضيحي بأشعة إكس للبودرة ، SHLXTL plus (علامة تجارية) كبرنامج كمبيوتر ، Reference Manual by Semen's Analytical x - ray Instrument, Chapter 10, p. 179 - 181 , 1990 . وذلك لأن تجربة البلورة الواحدة تحدد بطريقة روتينية أبعاد وحدة الخلية، المجموعة الفراغية والأوضاع الذرية. وبمقارنة شكل المسحوق المسحوب هذا مع شكل المسحوق الناتج بالتجربة من جميع عدد كبير من البلورات سوف يؤكد إذا كانت نتائج الطريقتين واحدة أم لا.

### تفرق البودرة الناتج عن أشعة أكس (XRD).

٢٠ يوضح تفرق البودرة بواسطة أشعة إكس الفرق بين الأشكال الثلاثة لمتعددات الشكل. والتحليل المجراة على عينات  $4 \times$  تكوين ١ وعينات  $4 \times$  تكوين ٢ توضح أن أشكال التفرق المتجانسة يتم الحصول عليها لكل مجموعة وهذه المعلومات نجدها في شكل ١ و ٢.



### مقاس طيف الأشعة تحت الحمراء

- إن الأطياف الماصة تحت الحمراء تحدد وجود الصيغ ١، ٢، ٤. وهذه المعلومات موجودة في أشكال ١٦ الى ٢٥ بالنسبة للبلورة الأحادية المركبة البلورات المسحوقة للأشكال المتعددة المختلفة وفي دراسة عن الضغط نجد أن الصيغة ١ تكون ثابتة بالنسبة للضغط والطحن، بينما الصيغة ٢ تكون ثابتة بالنسبة للضغط ولكن لا تثبت للطحن الشديد وتوضح المقارنة بين الأطياف تحت حمراء للتكوينات ١، ٤ فروعاً ملحوظة، إذ تنفصل الحزمة في منطقة تشوه الميثيلين عند ١٤٣٠ سم<sup>-١</sup> (مع الكثف عند ١٤٤٢ سم<sup>-١</sup>) والخاصة بالتكوين ١ الى التكوين ٤ كي تنتج حزمة عند ١٤٢٤ سم<sup>-١</sup> وحزمة عند ١٤٥٥ سم<sup>-١</sup> (مع كثف عند ١٤٦٦ سم<sup>-١</sup>) وتوجد حزم الكربونيل المشدود في التكوين (١) عند ١٦٤٨ (مع كثف ١٦٥٦ سم<sup>-١</sup>)، وكذلك ١٦٨٢ سم<sup>-١</sup>، حيث يتواجد التكوين (٤) عند ١٦٥٦ سم<sup>-١</sup> وكذلك ١٦٩٤ سم<sup>-١</sup> وتغيب الخصائص الضعيفة الموجودة في التكوين ٤ عند ٢٠٠٠ و ٢٣٠٠ سم<sup>-١</sup> من التكوين (١)، ولكنها قد تمثل ضوءاً توافقياً لمنطقة الكربونيل وهذه الأطياف مسجلة باستعمال ميكروسكوب Spectra - Tech Plan II مع مقاس طيف P-E 1760 FTIR (64 - 256 scans, ratio mode, MCT detector, 4 cm<sup>-1</sup> resolution, dry air purge).
- وأطياف العينات التي لم يجرى لها تحضير يتم الحصول عليها بواسطة تركيب بلورات على نافذة ماسية. ويتم تحضير البلورات المسحوقة باستعمال Spectra - Tech m- Sample Plan (خلية ضغط) مثبتة مع نافذة ماسية. ويستعمل ميكروسكوب فراغي لملاحظة سلوك البلورات أثناء الضغط. وبعد الضغط، يتم فصل النوافذ الماسية ويتم تسجيل طيف المادة المتصقة الى أحد النوافذ.
- والأطياف تحت الحمراء للبلورات الأحادية ذات صيغ ١، ٢، ٤ توضح اختلافات عديدة ويمكن التعرف عليها. وتوجد اختلافات هامة في الشدة النسبية للروابط بين الأطياف تحت الحمراء للبلورات الأحادية ١، ٢ والأطياف المناظرة التي تم الحصول عليها من أقراص بروميد البوتاسيوم، وهذه الاختلافات تحدث خلال الأطياف ولكنها تكون أكثر وضوحاً تحت ١٧٠٠ سم<sup>-١</sup>. وبصفة خاصة، لاحظ الفرق في قوى الشد النسبية للأربطة بالقرب من

١٥٣٠، ١٤٤٠، ١٢٦٠ و ٨٠٠ سم<sup>-١</sup> في الأطياف الخاصة بالصيغة ٢ ، والروابط بالقرب من ١٥٤٠، ١٤٢٠، ١٢٦٠ و ١٠٦٠ سم<sup>-١</sup> في أطياف الصيغة ٢ .

وأطياف البلورات المسحوقة تشابه أطياف أقراص بروميد البوتاسيوم المناظرة. وهذا لا يدعو للدهشة بما أن كلاً من البلورات المسحوقة وأقراص بوتاسيوم بروميد تمثل كل التوجيه الجزئي. وفي أحوال كثيرة فإن انتقال الأشعة تحت الحمراء خلال العينات البلورية من الممكن الوصول اليه فقط بواسطة السحق ويوجد توافق هزيل بين أطياف البلورة الأحادية والبلورة المسحوقة للصيغة ٤ ، مع حدوث فرق واضح بينهما في الموضع ١٦٦٠-١٦٢٠، ١٢٦٠-١١٨٠، ١٠٠٠-٩٢٠ و ٨٠٠-٧٥٠ سم<sup>-١</sup> . وعلى أي حال فإن البلورة المسحوق للصيغة ٤ تشابه بشدة أطياف البلورة المسحوق للصيغة ١ . وبالنسبة لهذه الأطياف تحت الحمراء، فإن بلورات الصيغ ٤ يتم الحصول عليها في وجود هؤلاء من صيغة ٢ بواسطة تبخير بطيء ٥٠:٥٠ إيثانول: ايزوبروبانول ويتم فصلها باليد. وبالتحويل من صيغة ٤ الى صيغة ١ لا يثير الدهشة؛ وتوضح المعلومات التي تم الحصول عليها بواسطة التشتت الضوئي بواسطة الأشعة السينية ثلاثية الأبعاد أن المطابقة الجزئية ( بعيداً عن توجيه مجموعات سيكلو بروبيل) وربط الهيدروجين ( في اشكال تداخلات خاصة) تشابه بعضها البعض في صيغ ١ و ٤ . وفي صيغ ١ و ٤ نجد أن واحد فقط من هيدروجينات الأمينو يشترك في ربط الهيدروجين ( وهذا يخالف صيغة ٢، والتي تكون كل مانحات الهيدروجين فيها مشاركة). وهذه الاكتشافات تنتمي الى النتائج المسجلة من الأطياف تحت الحمراء للبلورة الأحادية للتكوينات الثلاثة، حيث مواضع ن - يد الممدودة لصيغ ١ و ٤ تكون متشابهة وتخالف صيغة ٢. والصيغ ١ و ٤ لكل منهما رابط بالقرب من ٣٤٥٥ سم<sup>-١</sup> وهو مخصص لوظيفة ن يد غير متزاملة. وفي الصيغة ٢ فإن هذه الرابطة غير موجودة ويكون من الواضح أن كل مانحات الهيدروجين تكون مشاركة في الربط الهيدروجيني.

والاطياف تحت الحمراء للبلورات الأحادية للتكوين والمسجلة على أجهزة مختلفة تكون متشابهة، كما هو ملاحظ من قبل ( ماعدا موضع ١٢٨٠ - ١٢٦٠ سم<sup>-١</sup>) ويمكن شرح ذلك عن طريق المؤثرات الموجهة، ويتم تمثيل الأطياف الخاصة بالتكوين ٤ من خلال

## أطياف RAMAN

أطياف RAMAN للصيغ ١ ، ٢ ، ٤ موضحة هنا أيضاً في أشكال ٤ الى ٩ . وكما هو واضح جلياً، فإنه توجد فروق هامة بين أطياف التكوينات الثلاثة، وهذا يؤدي الى سهولة التعرف عليهم.

٥ وبفحص التكوين ٤، تحت الضغط تبين أنه تحت بعض الظروف المحيطة ليتحول الى التكوين ١، وهكذا فإن تقنيات عمل العينات التقليدية مثل أقراص هاليدات الالكيل أو Nujal mull، من الممكن ألا تكون الطريقة المثلى للحصول على اطياف تحت حمراء لهذه الأشكال المتعددة بما أن الوقت المستخدم في اختيار البلورات ذات الأحجام المناسبة والحصول على أطياف جيدة يكون كبيراً.

١٠ والتنظير الطيفي بواسطة RAMAN يوفر طريقة سريعة للتعرف على صيغ ١، ٢، ٤ من بعضها البعض بدون الحاجة الى تحضير عينات.

ويتم تسجيل الأطياف باستعمال مقياس أطياف RAMAN من نوع Perkin - Elman 2000 FT مزود بليزر Nd: YAG NIR laser (1.064 Mm). وحالات الفحص تكون ٦٤ - ٢٥٦ ، فاصل شعاع كوارتز، درجة ثبات ٤ سم - ١ وقوة ليزر ١ وات. وأطياف الصيغة ٤ ( شكل ٦ ) توضح كمية قيمة من تشتت RAMAN من القارورة الزجاجية. وهذا يرى بوضوح من المنحنى الواقع مع الحد الأقصى للزيادة بالقرب من ٤٠٠ سم<sup>-١</sup> . والزجاج يسبب فقط اسهام لا يذكر بالنسبة للأطياف الشديدة للصيغ ١ و ٢ ( شكلي ٤ و ٥ ).

وتوضح أطياف RAMAN للتكوينات ١ ، ٢ ، ٤ اختلافات عديدة وهي واضحة للتعرف عليها. وموضع امتداد الكربونيل ١٧٥٠ - ١٦٢٠ سم<sup>-١</sup> ( شكل ٧ ) توضح الفرق الأكثر وضوحاً بين الصيغ ( كما هو الحال بالنسبة للأطياف تحت الحمراء والمسجلة من البلورات المنفردة ( الموضحة هنا في أشكال ١٦ - ١٨ ).

ويوجد فرق واضح بين الصيغ الثلاثة في المجال من ٨٠٠ - ١٠٠٠ سم<sup>-١</sup> (شكل ٨). ويوضح الموضع ٤٠٠ - ٢٠٠ سم<sup>-١</sup> ( وهو لا يمكن الوصول اليه عند تسجيل الأطياف باستعمال ميكروسكوب تحت الحمراء) فروق واضحة ( شكل ٩ )، بالرغم من أن حساسية هذا الموضع تكون قليلة نسبياً بسبب رد فعل الكاشف. ٢٥

## حراريات المحلول

يتم تحديد حراريات المحلول باستعمال اسيتون وميثانول كمذيبات مناسبة. وقيم مص الحرارة موجودة في الجدول ٨. ومختلف صيغ تعدد الأشكال تؤدي الى حراريات مختلفة للمحول. وهذه موضحة بالبيانات التي تم الحصول عليها هنا. وقيمة HT وتعني نقل الحرارة ، تساوي الفرق في طاقة شبكة البلورة للصيغتين وهي واحد في كلا المحلولين. ٥

وهذا متوقع بما أن المحتويات الحرارية الفردية تعتمد على المذيب ولكن الاختلاف ليس كذلك. ومن هذه النتائج توحى بأن ذوبان الصيغة ٢ يكون أكثر إمتصاصاً للحرارة في كلا المذيبين هكذا يعطي الصيغة الأكثر ثباتاً. وحراريات المحلول بالنسبة للصيغة ٤ تكون في تقدم.

### جدول ٨

السيغة	ميثانول (Kcal /mal)	اسيتون (K cal / mal)
١	٤,٨١	٣,٩٣
٢	٦,٤٧	٥,٥٩
١٥	١,٦٦	١,٦٦
		Δ HT

## التحليل الحراري

إن مقياس السرعات للفحص التمييزي (DSC) لا يمكنه أن يميز الصيغ الثلاثة من Cipamfylline وفي كل حالة فإن مخفضات الحرارة توضح انصهار فقط مع درجات حرارة بداية وأقصى حد متشابهة، وبالضبط عند ٣١٢ م° وكذلك ٣١٤ م°، وعلى أي حال عندما يتم تقليل معدل الحرارة بدرجة كافية ، حرارة المص المصهرة تظهر كمنصهر مندمج أي منصهر مكونين. وهذا السلوك معتاد للصيغتين ١ و ٢ . ٢٠

وتوضح الملاحظات الميكروسكوبية الحرارية أن الصيغ الثلاثة متسامية. وبداية التسامي تختلف لكل صيغة وتستمر على مدى حرارة واسع (١٣٠-٢٩٠ م° على أجهزة غير عيارية). وهذا غير واضح في مخططات حرارة DSC . ويحدث الانصهار على مدى (٣١٠-٣٢٣ م°-على أجهزة غير عيارية) لكل الصيغ الثلاثة. واحتمال انصهار مكونين ٢٥

تتابعياً لا يمكن معرفته. ويتم تجميع المتسامي لكل الصيغ الثلاثة ويتم تحليله بواسطة IR و NMR. وهذا يوضح أن صيغة ١ تم انتاجها.

وتتم تسقية الصيغة ١ و ٢ بالتسخين ثم التبريد وتتحول الى صيغة ١ بواسطة IR . وخطوة التسقية تتكون من التسخين ١٠ م / دقيقة من درجة الحرارة المحيطة وحتى ٢٥٠ م° وتظل عند هذه النقطة لمدة ٢/١ - ١ ساعة، ثم تبرد العينة ببطء حتى درجة ح الغرفة. ٥ والتجارب الحرارية السابقة توضح أن صيغة ١ هي الأكثر ثباتاً وهذا يوضح تشابه نقطة الانصهار في الصيغة الثلاثة.

### طرق صناعية لإعادة البلورة :

يتم تحضير دفعات مختلفة من السبب المفلين بنفس الطريقة وقد تم توضيح مذيب ١٠ إعادة البلورة النهائي ومعدل التبريد المختلف من خلال الجدول (٩)

#### جدول (٩)

المذيب	معدل التبريد	الاسترداد	متعدد الشكل الناتج
إيثانول	بطيء	٧٥ %	صيغة ٢
إيثانول	بطيء جداً	٧٥ %	صيغة ٢
ميثانول	بطيء	٧٥ %	صيغة ٢
أسيتون	سريع	٢٢ %	تكوين ١
رابع هيدروفيوران سريع		٣٣ %	تكوين ١ و ٣
رابع هيدروفيوران		بطيء	٥٨ % تكوين ١

وفي حالة THF ( سريع)، يبدو أن التكوين الناتج تكون ملوثاً بتكوين ٢ ، تكوين ٣. ٢٠ وكل البيانات توضح أن تكوين ٣ ممكن أن تكون متعددة الشكل، ولكنها لا تنتج دائماً في المخاليط.

والتبريد البطيء في هذا المذيب يعطي صيغة ١.

## إعادة بلورات التكوين ٢

ستعمل خطوات تجريبية أخرى لإعادة بلورة التكوين (٢) من خليط مذيب من ميثانول/٢ - بيوتانول كالتالي:

٥ يتم إضافة مادة صلبة م عينة سيبا مفللين الى قاسم من ٢- بيوتانول في قارورة زجاجية ويسخن بخفة على لوح ساخن مع التقليب. ثم يضاف ميثانول بالتنقيط الى السائل الدافئ ويقرب حتى تذوب المادة الصلبة كلها. ويتم عمل ثقب صغيرة في الغطاء البلاستيكي للقارورة، ويترك السائل الرائق عديم اللون ليتبخر ببطء في درجة الحرارة المحيطة. وتظهر بلورات مستطيلة من صيغة ٢ خلال ١١ يوم .

١٠ وهناك دراسة أخرى ، يذاب فيها ( ١ جم) من السيبا مفللين في إيث أيد ( ٥٥ جم) ويبرد المحاليل حتى ٢٠ - ٢٥ م° لمدة بين ساعة وأربعة ساعات على التوالي وقد تم رصد النتائج كما يظهر من خلال جدول ١٠ .

### جدول (١٠)

#### إعادة تبلر السيبا مفللين باستخدام إيث أيد

مثال	المؤثر (مل مول)	زمن التبريد a الى ٢٠ م° - ٢٥ م° (ساعة)	الناتج المستخلص %	التكوين b متعدد الأشكال
١	٣,٦	١	٧٤,٩	٢
٢	٣,٦	٤	٧٥,٢	٢

a : زمن التبريد من الارتجاع ( ٧٨ م° ) الى حوالي ٢٠ - ٢٥ م° .

B : يتم تحديده بواسطة طيف الأشعة تحت الحمراء.

١٥ في كلتا الحالتين، فإن التبريد لفترة طويلة (  $\leq 1$  ساعة) يعطي سيبا مفللين على هيئة التكوين (٢) متعدد الأشكال .

### إعادة بلورة التكوين ٤

وفي تجربة أخرى لإعادة بلورة صيغة ٤ ، يتم إضافة مادة صلبة من عينة سبباً مفيللين الى قاسم للأيزوبروبانول في قارورة زجاج ويسخن خفيفاً على لوح ساخن مع التقليب. ويضاف حجم مساوي من إيثانول ويستمر التقليب حتى تذوب كل المادة الصلبة. ثم يتم عمل ثقوب في غطاء القارورة ويترك المحلول الصافي ليتبخر ببطء في درجة الحرارة المحيطة. وبعد وقت قصير تظهر بلورات مستطيلة من تكوين ٢ وبعد عدة أيام تظهر إبريات وتستعمل احداها لتحديد التكوين ٤.

### إعادة بلورة التكوين ١

وفي تجربة أخرى لتنقية سبباً مفيللين، يتم إذابة BRL-61063 (١٥,٥ جم) في بروبيلنول-٤ (٣٠٠ مل) عند الارتجاع. ويؤدي التبريد لدرجة حرارة الغرفة الى ترسب الناتج النقي للصيغة ١ والذي يتم عزله بالترشيح ويجفف عند درجة ح ٧٠ ° م طوال الليل. وزن BRL-61063 المستخلص = ١١,٩٦ جم، ناتج ٦٣ % والمذيبات الأخرى مثل بروبيلنول-٤/ماء ، ٣ : ١ تؤدي أيضاً الى ناتج ونتائج مشابهة. وكما هو ملاحظ مما سبق، يفضل ١-بربانول كمذيب لتحضير BRL-61063 في صيغة ١ متعددة الشكل. وخطوة إعادة البلورة بواسطة ١-بربانول تطبق على مجال واسع، تقريباً مجال ٢ كجم بنجاح. وأوقات التبريد من ٩٧ م ° حتى درجة الحرارة المحيطة تختلف من حوالي ٧٠ دقيقة الى طوال الليل (٨-٢ ساعة) وينتج تكوين ١ .

### وهذه العملية تلخص كالاتي :-

٢٠ يتم إذابة مادة خام من BRL-61063 (٢,٠٦ كجم) في ١-بربانول (٤٠ ل) عند حوالي ٩٧ م ° . ثم يبرد التفاعل الى حوالي ١٨ م ° على مدى حوالي ٧٠ دقيقة. والمعلق الناتج يتم ترشيحه، ويتم غسيل المادة الصلبة بواسطة ١-بربانول (٣ × ٠,٦ لتر) سابق التبريد يجفف في الهواء عند حوالي ٥٠ م ° طوال الليل ليعطي BRL-61063 نقي (١,٨٥ كجم، ٩٠ %) من ناتج التكوين ١ .

ومن خلال دراسة أخرى لإعادة التبلر، مشابهة لتلك الموضحة سابقاً في جدول ٩، يتم استخدام مث أ يد ، ر هـ ف وكذلك الأستون ، ولقد تم تدوين النتائج السابقة كما هو الحال في جدول ١١ .

### جدول ١١

#### إعادة تبلر السيبا مفيلين من مذيبات مختلفة a

مدخل	مذيب	تركيز n (جم/مل)	زمن التبريد b من ٢٥-٢٠ م° (دقيقة)	الناتج المستخلص (%)	التكوين c متعدد الأشكال
١	مث أ يد	٠,٠١٨	٦٠	٧٠	٢
٢	أستون	٠,٠٠٤	٤٠	٦٤	١ + ٢ <sup>d</sup>
٣	أستون	٠,٠٠٤	١ e	٢٢	١
٤	أستون	٠,٠٠٤	١ e	٤٩	١
٥	ر هـ ف	٠,٠١٧	١ e	٣٣	٣+١
٦	ر هـ ف	٠,٠١٧	٦٠	٥٨	١

#### ملحوظة :

a : الطريقة العامة : يتم عمل معلق من حجم من ٦١.٠٦٣ - BRL في ص مل من مذيب ملائم ويسخن بالارتجاع حتى يتم الذوبان. ويبرد عند ذلك المحلول خلال زمن ملائم ويتسم الحصول على المنتج بالترشيح.

B : زمن التبريد من درجة حرارة الارتجاع الى ٢٠ - ٢٥ م°

C : يتم تحديدها بواسطة طيف الأشعة تحت حمراء.

D : التكوين ٢ بصفة سائدة، مع البعض من تكوين ١ .

E : تبريد المحلول بحمام ثلجي.



وهكذا فإن وجه آخر من الاختراع هو عملية لانتاج صيغة ١ ، وهذه العملية تتضمن وضع سيبا مفللين خام في مذيب عضوي، يذيب الناتج الخام بواسطة الحرارة الى حوالى درجة حرارة الارتجاع ثم التبريد لبلورة الشكل المرغوب. وبالنسبة للتكوين ١ ، فإن المذيب المفضل هو ١- بربانول، أسيتون، ر ه ف وإن كان الأفضل ١- بروبانول . وبالنسبة للتكوين ١ ، فإن وقت التبريد للتفاعل يتم تحديده. وهذه النتائج (جدول ١١) توضح أن التبلر البطئ للمركب ٦١٠٦٣ - BRL باستخدام الميثانول (مدخل ١) ينتج عنه مركب التكوين (٢) متعدد الأشكال. و الذي يتواجد بصورة سائدة إذا ما تم استخدام التبريد البطئ لمحلول ٦١٠٦٣ - BRL في الأسيتون (مدخل ٢). وبالتبريد السريع (المفاجئ) لنفس المحلول (مدخل ٣) فإن ٦١٠٦٣ - BRL تكوين (١) ينتج بصورة مكثفة. ولقد تمت إعادة تجربة التبريد السريع (مدخل ٤) للتأكد من التجارب الأصلية.

ويذاب ٦١٠٦٣ - BRL في ر ه ف ويبرد بسرعة فينتج عن ذلك انفصال المادة الموجودة في التكوينات ١ و ٣ متعددة الأشكال (مدخل ٥). ويتم الحصول على التكوين (١) بصورة مكثفة بالتبريد البطئ (مدخل ٦).

أقل وقت للبرودة، أي من الحد الأدنى للوقت لتبريد المحلول من درجة الارتجاع، أو من الدرجة التي يذوب فيها المنتج الخام في المذيب، أي من الزمن الأدنى الى التبريد المفاجئ للمحلول، وهو حوالى ١٥ دقيقة في المجال التجاري .  
١٥  
ويفضل يكون الحد الأدنى لوقت التبريد هو من ٥٠ - ٧٠ دقيقة وحتى المرغوب مثل طوال الليل ( أي ٨ - ١٢ ساعة).

ويفضل أن يكون وقت التبريد من حوالى ٦٠ - ٧٠ دقيقة على مدى يتراوح بين ١٢٠ دقيقة الى طوال الليل حسب الرغبة. ودرجة حرارة التبريد يفضل أن تكون من حوالى صفر م° حتى حوالى ٢٥ م° ، والأفضل من ١٥ م° الى حوالى ٢٥ م° والأفضل مما سبق من حوالى ١٨ م° الى ٢٥ م° . و الإيثانول يعتبر مذيب آخر، ولكن فقط إذا استعملنا التبريد المفاجئ. وإذا كنا نرغب في التكوين (٢) بصورة أكثر فإنه يتم استعمال إيثانول أو الميثانول إذ تم استعمال مدة تبريد طويلة (أنظر جدول ٩ أو ١١).

وإذا ما تم استخدام ر ه ف كمذيب لانتاج التكوين (١)، وإذا ما تم استخدام ر ه ف كمذيب لانتاج التكوين (١)، تكون هناك ضرورة للتبريد البطيء، وعند استخدام الأسيتون فإن الحاجة الى التبريد السريع تزداد.

ومن المعروف أنه يمكن استخدام مخاليط من المذيبات تحت ظروف ملائمة، وقد يتم خلط بعض من هذه المخاليط بالماء أو بمذيب عضوي آخر، مثال ذلك ث م ف، هيتان، ٥ مثل ك ن ، بيوتانول-ع ، أيزوبروبانول، خلات الإيثيل، TBME، طولوين، ديكالين، إلخ.

ويدخل جميع ما سبق ذكره من خلال التحويلات والتحسينات التي قد يتم اجرائها على التجسيديات الممثلة من خلال هذا السياق. ويتضح للعاملين في هذا المجال أنه من الممكن إنتاج مذيب مثال لإعادة التبلر بواء داخل المعمل أو على المستوى التجاري وذلك باستخدام التوضيحات المذكورة من خلال هذا السياق. ١٠

ولقد تم ادراج جميع النشرات السابقة وبما ذلك دون تحديد البراءات وتطبيقات البراءات المذكورة على سبيل الاستدلال بما كمراجع من خلال هذا السياق.

ولقد تم شرح الوصف الكامل للاختراع بما في ذلك التجسيديات المفضلة منه. ويمكن تحوير أو تحسين التجسيديات الخاصة بهذا الاختراع من خلال المنظور الشامل للعناصر التالية. ودون المزيد من الاسهاب، فإنه سوف يكون واضحاً تماماً للعاملين ١٥ في هذا المجال أنه بإمكانهم استخدام الوصف السابق والخاص بالاختراع المقدم والاستفادة منه الى أقصى حد. ولهذا فإن الأمثلة المذكورة من خلال هذا السياق تقدم تصويراً بسيطاً للاختراع دون تحديد لمنظور الاختراع المقدم بأي صورة من الصور. ولقد تم اثبات التجسيديات التابعة للاختراع وتفرعاتها من خلال عناصر الحماية التالية. ٢٠

عناصر الحماية

١	١	متعدد أشكال متبلر من مركب ١، ٣-ثنائي-بروبيل مثيل حلقي-٨-أمينو
٢	٢	زائنين يتضمن نموذج مسحوق لأشعة-إكس وله نهايات عظمى مميزة معبراً
٣	٣	عنها بمسافات فاصلة (أ) متناقصة الشدة عند ١٢,٣٠٢ ، ٧,٧٠٢ ،
٤	٤	٢,٨٥٤ ، ٤,٢٨٩ ، ٨,٥٣٢ تقريباً وكما هو موضح في شكل ١ .
١	١	٢- متعدد أشكال متبلر من مركب ١، ٣-ثنائي-بروبيل مثيل حلقي-٨-أمينو
٢	٢	زائنين يتضمن طيف امتصاص أشعة تحت الحمراء في بروميد بوتاسيوم ولله
٣	٣	حزم امتصاص مميزة معبراً عنها بستيمترات تبادلية كما هو موضح في شكل
٤	٤	٢٠ .
١	١	٣- متعدد أشكال متبلر من مركب ١، ٣-ثنائي-بروبيل مثيل حلقي-٨-أمينو
٢	٢	زائنين يتضمن تحليل بلوري بياني لبلورة واحدة بأشعة إكس مع متغيرات تبلر
٣	٣	(٧) مساوية تقريباً لما يلي:
٤	٤	لون البلورة : عديمة اللون
٥	٥	المجموعة الفراغية : $P_1$ ثلاثي الميل # ٢
٦	٦	درجة الحرارة : ٢٩٥ ك
٧	٧	ثوابت الخلية : أ = ١٠,٨٢٩ (٢) إنجستروم.
٨	٨	ب = ١٢,٦٣٦ (٢) إنجستروم.
٩	٩	ج = ٥,١٠٥ (٣) إنجستروم.
١٠	١٠	ألفا ( $\alpha$ ) = ٩٩,٤٨ (٤)
١١	١١	بيتا ( $\beta$ ) = ٩١,٥٣ (٤)
١٢	١٢	جاما ( $\delta$ ) = ٨٣,٨٤ ( ٣ )
١٣	١٣	الحجم : ٦٥٠ (٨) إنجستروم <sup>٣</sup>
١٤	١٤	الجزئيات / وحدة خلية (Z) : ٤

الكثافة ، $\sigma$ (حسابياً) : ١,٣٥٤ جم / سم <sup>٣</sup>	١٥
$\mu$ : ٧,٣٦٢ سم <sup>١</sup>	١٦
F (٥٥٥) : ٢٩٢	١٧
والأوضاع الذرية لجميع الذرات بالنسبة لأصل وحدة الخلية كما هي ممثلة في جداول الأشكال ١٢ الى ١٥ .	١٨
	١٩

٤ - متعدد أشكال متبلر من مركب ٣,١-ثنائي-بروبيل مثيل حلقي-٨-أمينو-زائين يتضمن نموذج كشف طيفي رامان كما هو معبر عنه في شكل ٤ .

٥ - متعدد أشكال متبلر من مركب ٣,١-ثنائي-بروبيل مثيل حلقي-٨-أمينو-زائين يتضمن نموذج حيود مسحوق لأشعة إكس وله نهايات عظمى مميزة معبراً عنها بمسافات فاصلة (أ) متناقصة الشدة، عند ١٢,٠٠١ ، ٦,٧٠٢ ، ٣,٦٨٧ ، ٣,٧٧٣ و ٧,٣٤٥ تقريباً وكما هو موضح في شكل ٢ .

٦ - متعدد أشكال متبلر من مركب ٣,١-ثنائي-بروبيل مثيل حلقي-٨-أمينو-زائين يتضمن طيف امتصاص أشعة تحت الحمراء في بروميد بوتاسيوم وله حزم امتصاص مميزة معبراً عنها بستتيمترات تبادلية كما هو موضح في شكل ٢١ .

٧ - متعدد أشكال متبلر من مركب ٣,١-ثنائي-بروبيل مثيل حلقي-٨-أمينو-زائين يتضمن تحليل بلوري بياني لبلورة واحدة بأشعة إكس مع متغيرات تبلر (Y) مساوية تقريباً لما يلي:

شكل البلورة : مكعبات مستطيلة.

المجموعة الفراغية : P<sub>2</sub>/1 ٢/١ أحادية الميل # ١٤

٦	ثوابت الخلية	: أ = ١٢,٢٢٧ (٤) إنجستروم.
٧		ب = ٧,٤٤٨ (٢) إنجستروم.
٨		ج = ١٤,٩٤٦ (٨) إنسجستروم.
٩		بيتا (β) = ٩٧,٩٥ (٤).
١٠	الحجم	: ١٣٤٨,١ (٩) إنجستروم <sup>٣</sup>
١١	الجزئيات / وحدة خلية (Z)	: ٤
١٢	الكثافة، σ (حسابياً)	: ١,٣٥٦ جم / سم <sup>٣</sup>
١٣	μ	: ٠,٨٩٦ سم <sup>-١</sup>
١٤	F (٥٥٥)	: ٢٩٢٥٨٤ .

١ -٨- متعدد أشكال متبلر من مركب ١، ٣-ثنائي-بروبيل مثيل حلقي-٨-أمينو

٢ زائنين يتضمن نموذج كشف طيفي رامان كما هو موضح في شكل ٥ .

١ -٩- متعدد أشكال متبلر من مركب ١، ٣-ثنائي-بروبيل مثيل حلقي-٨-أمينو

٢ زائنين يتضمن طيف امتصاص أشعة تحت الحمراء لبلورة ذات حزم امتصاص

٣ مميزة معبراً عنها بسنتيمترات تبادلية كما هو موضح في أشكال ١٨ ، ٢٤ أو

٤ ٢٥ .

١ -١٠- متعدد أشكال متبلر من مركب ١، ٣-ثنائي-بروبيل مثيل حلقي-٨-أمينو

٢ زائنين يتضمن تحليل بلوري بياني لبلورة واحدة بأشعة إكس مع متغيرات تبلر

٣ مساوية تقريباً لما يلي:

٤ شكل البلورة (مم) : إبريات مفلطحة.

٥ لون البلورة : عديمة اللون

٦ أبعاد البلورة (مم) : ٠,٦٠ × ٠,١٠ × ٠,٠٥ مم

٧	المجموعة الفراغية	: P <sub>1</sub> ثنائي الميل # ٢
٨	درجة الحرارة	: ٢٩٥ ك
٩	ثوابت الخلية	: أ = ١٠,٢١٠ (٣) إنجستروم.
١٠		ب = ١٣,٧٥٣ (٢) إنجستروم.
١١		ج = ٤,٩٤٢ (٣١) إنسجستروم.
١٢		ألفا (α) = ٩٧,٩٤ (٢)
١٣		بيتا (β) = ٩٧,٩٥ (٤).
١٤		جاما (δ) = ٨٣,٣٣ (٢)
١٥	الحجم	: ٦٧٧,١ (٥) إنجستروم <sup>٣</sup>
١٦	الجزئيات / وحدة خلية (Z) :	٢
١٧	الكثافة ρ جم / سم <sup>٣</sup>	١,٣٥٠
١	١١- متعدد أشكال متبلر من مركب ١، ٣-ثنائي-بروبيل مثيل حلقي-٨-أمينسو	
٢	زائنين نموذج كشف طيفي رامن كما هو موضح في شكل ٦ .	
١	١٢- تركيب صيدلية يتضمن مقدار من متعدد أشكال وفقاً لأي من العناصر ١ الى	
٢	٤ ، ومادة حاملة و مخففة مقبولة صيدلياً.	
١	١٣- تركيب صيدلية يتضمن مقدار من متعدد أشكال وفقاً لأي من العناصر ٥ الى	
٢	٨ ، ومادة حاملة و مخففة مقبولة صيدلياً.	
١	١٤- تركيب صيدلية يتضمن مقدار من متعدد أشكال وفقاً لأي من العناصر ٩ الى	
٢	١١ ، ومادة حاملة و مخففة مقبولة صيدلياً.	

- ١ - ١٥ - طريقة لعلاج مرض ناشئ عن حيث  $PDE_4$  في كائن ثديي في حاجة لهذا  
٢ العلاج، وتتضمن هذه الطريقة اعطاء الكائن الثديي المذكور مقدار فعال من  
٣ متعدد أشكال وفقاً لأي من العناصر ١ الى ٤ .

- ١ - ١٦ - طريقة لعلاج مرض ناشئ عن حيث  $PDE_4$  في كائن ثديي في حاجة لهذا  
٢ العلاج، وتتضمن هذه الطريقة اعطاء الكائن الثديي المذكور مقدار فعال من  
٣ متعدد أشكال وفقاً لأي من العناصر ٥ الى ٨ .

- ١ - ١٧ - طريقة لعلاج مرض ناشئ عن حيث  $PDE_4$  في كائن ثديي في حاجة لهذا  
٢ العلاج، وتتضمن هذه الطريقة اعطاء الكائن الثديي المذكور مقدار فعال من  
٣ متعدد أشكال وفقاً لأي من العناصر ٩ الى ١١ .

- ١ - ١٨ - طريقة لعلاج مرض ناشئ عن حيث TNF في كائن ثديي في حاجة لهذا  
٢ العلاج، وتتضمن هذه الطريقة اعطاء الكائن الثديي المذكور مقدار فعال من  
٣ متعدد أشكال وفقاً لأي من العناصر ١ الى ٤ .

- ١ - ١٩ - طريقة لعلاج مرض ناشئ عن حيث TNF في كائن ثديي في حاجة لهذا  
٢ العلاج، وتتضمن هذه الطريقة اعطاء الكائن الثديي المذكور مقدار فعال من  
٣ متعدد أشكال وفقاً لأي من العناصر ٥ الى ٨ .

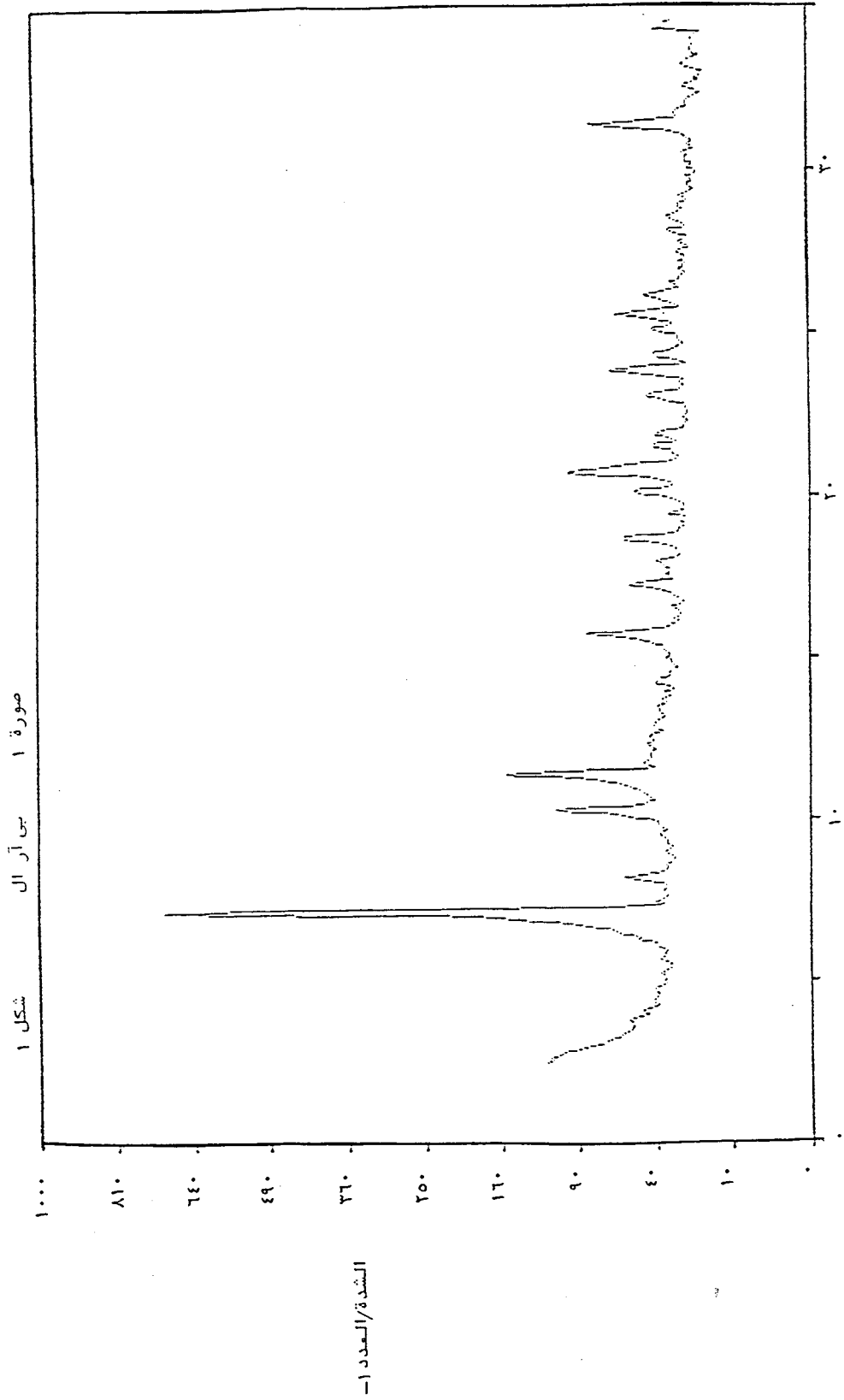
- ١ - ٢٠ - طريقة لعلاج مرض ناشئ عن حيث TNF في كائن ثديي في حاجة لهذا  
٢ العلاج، وتتضمن هذه الطريقة اعطاء الكائن الثديي المذكور مقدار فعال من  
٣ متعدد أشكال وفقاً لأي من العناصر ٩ الى ١١ .

- ١ - ٢١ - عملية لانتاج متعدد أشكال بلوري من مركب ١، ٣-ثنائي-بروبيل ميثيل  
٢ حلقي-٨-أمينو زانثين، صورة ١، حيث تتضمن هذه العملية :  
٣ (أ) إذابة ١، ٣-ثنائي-بروبيل ميثيل حلقي-٨-أمينو زانثين في ١-بروبانول؛ و  
٤ (ب) تبريد المحلول لكي يتبلر من خارج المحلول الصورة ١ المتعددة الأشكال  
٥ المرغوبة.

- ١ - ٢١ - عملية وفقاً للعنصر ٢١ حيث يتم مزج ١- بربانول مع ماء.  
١ - ٢٣ - عملية وفقاً للعنصر ٢١ حيث تتراوح درجة حرارة التبريد ما بين حوالي صفر  
٢ وحوالي ٢٥ م° .  
١ - ٢٤ - عملية وفقاً للعنصر ٢٣ حيث يتراوح زمن التبلر ما بين حوالي ١٥ وحوالي  
٢ ١٢٠ دقيقة.  
١ - ٢٥ - عملية وفقاً للعنصر ٢١ حيث يذاب الزانثين بتسخين ١-بروبانول الى حالة  
٢ الارتجاع.

- ١ - ٢٦ - عملية لانتاج متعدد أشكال بلوري من مركب ١، ٣-ثنائي-بروبيل ميثيل  
٢ حلقي-٨-أمينو زانثين، صورة ١، حيث تتضمن هذه العملية :  
٣ (أ) إذابة ١، ٣-ثنائي-بروبيل ميثيل حلقي-٨-أمينو زانثين في رباعي  
٤ هيدروفيوران أو أسيتون ؛ و  
٥ (ب) تبريد المحلول لكي يتبلر خارج المحلول الصورة المتعددة الأشكال المرغوبة.

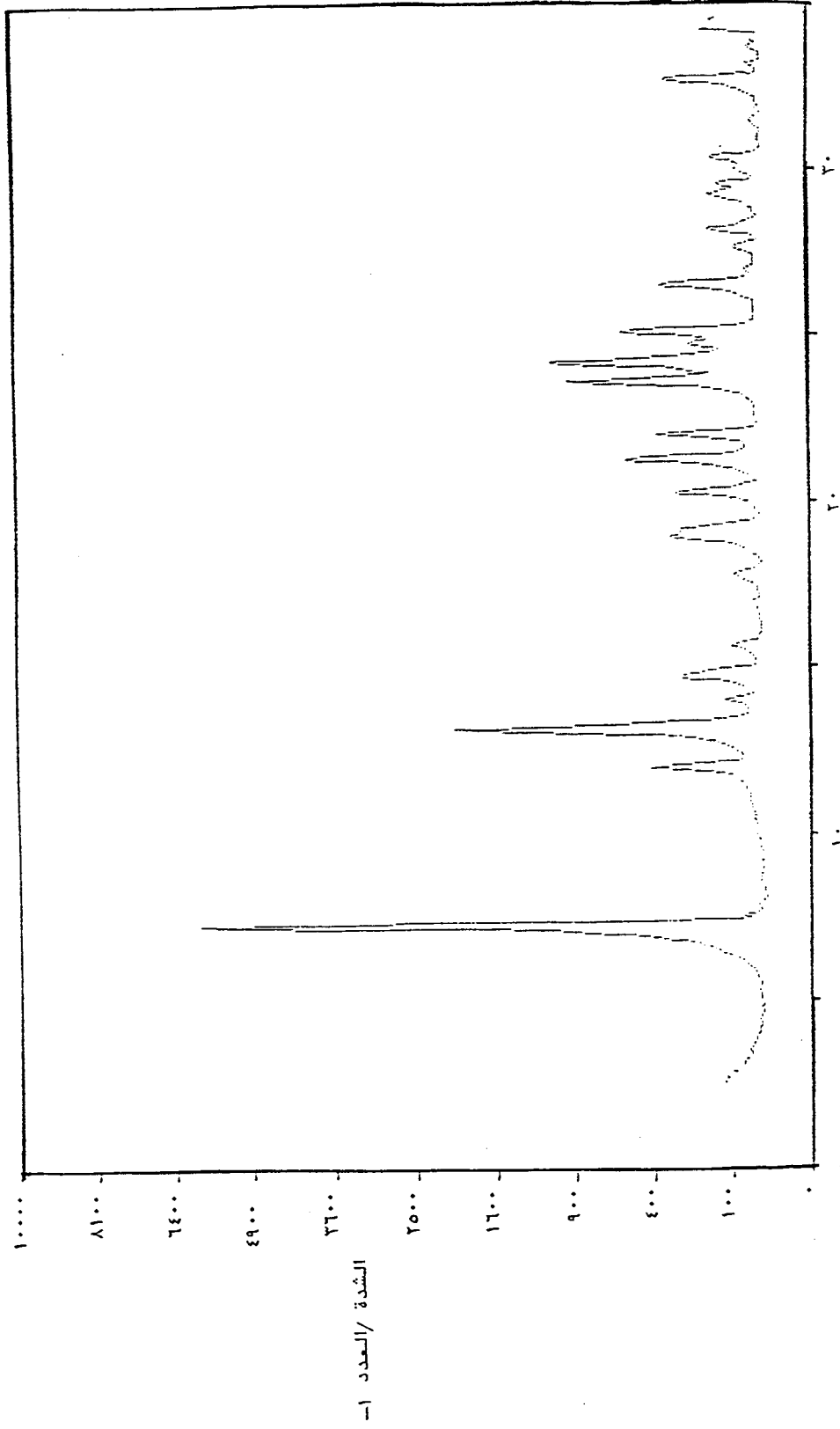




إس أم ٠٠٢٨١

صورة ١ بين آزال شكل ١

شکل ٢ صوره ٢ سار ال ٦١٠٦٣



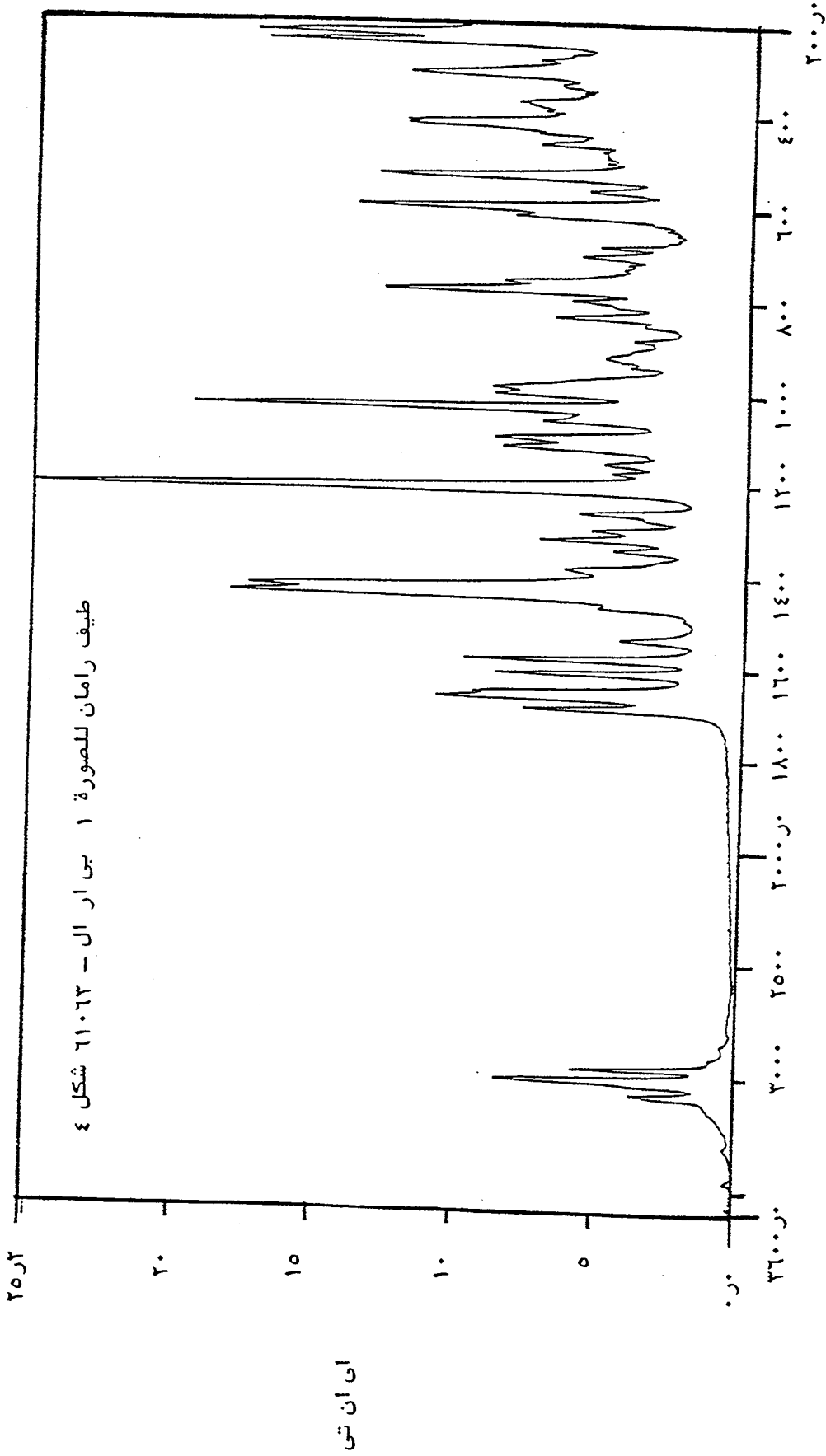
اسن. ام. ٠٠٢٨٢

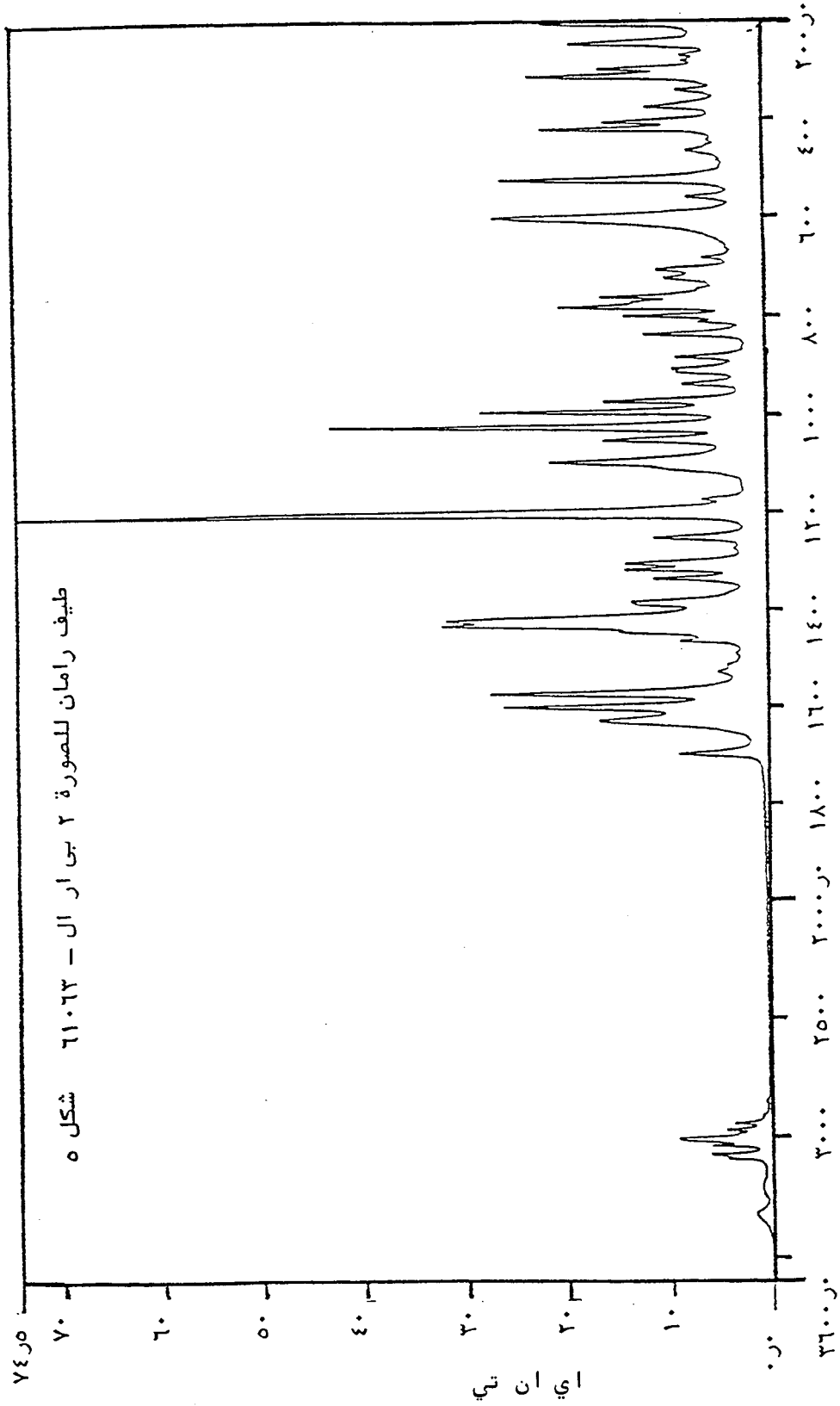
## شكل ٣

## جدول ٤

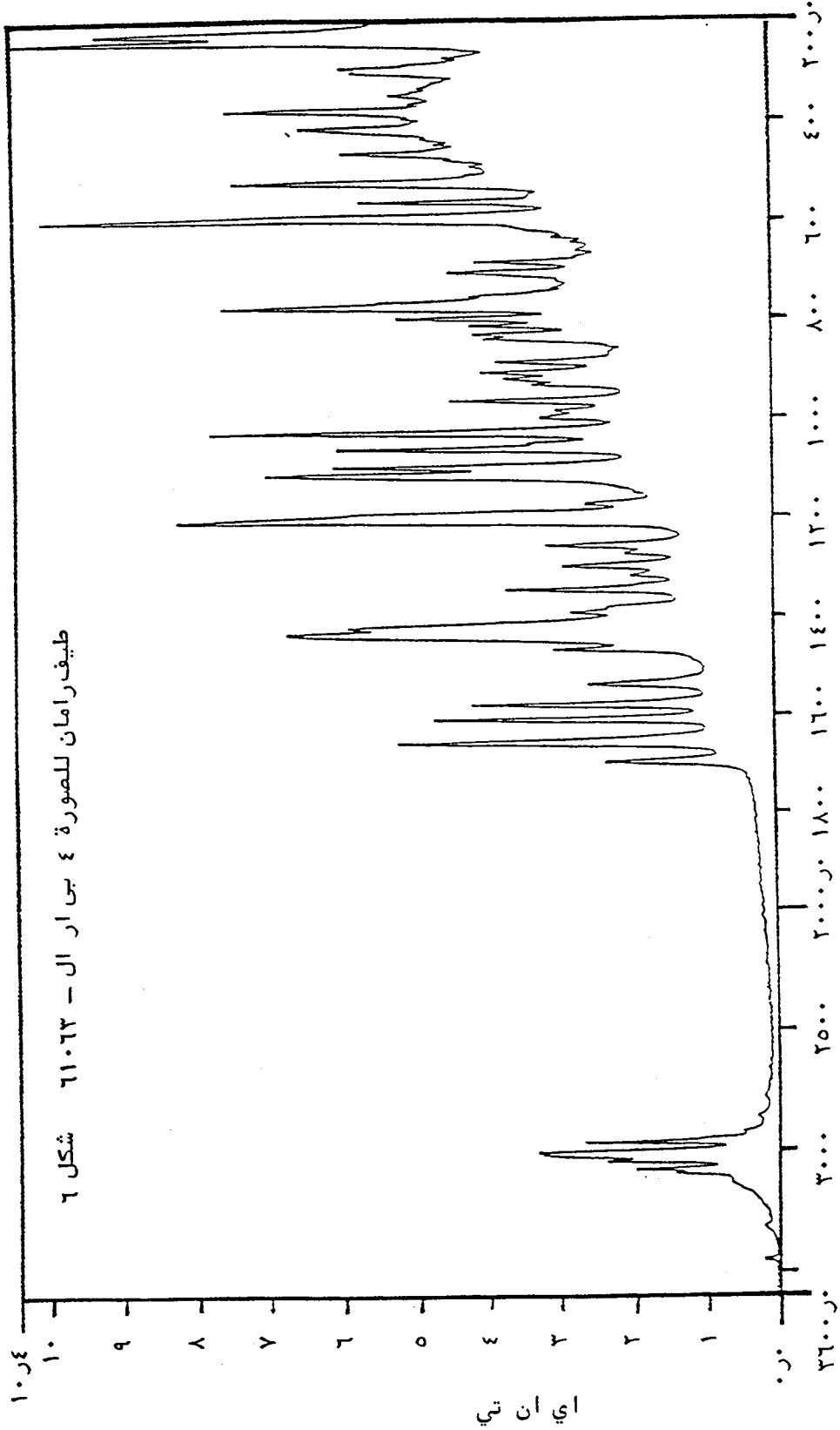
جدولة زوايا الالتواء للصور ٢ و ٤

صورة ٤	صورة ٢	
(٣) ٧٤٦	(٣) ١٠١٨	٧ك - ٨ن - ١٠ك - ١١ك
(٣) ٩٦٥ -	(٣) ٨٤٦ -	٩ك - ٨ن - ١٠ك - ١١ك
(٣) ٩١٧	(٣) ٩٨٧	٥ك - ٨ن - ١٠ك - ١١ك
(٣) ٨٥١ -	(٣) ٨٠٢ -	٧ك - ٦ن - ١٤ك - ١٥ك
(٣) ٨٠٤	(٣) ٧٧٥ -	٨ن - ١٠ك - ١١ك - ١٢ك
(٣) ١٤٩٨	(٣) ١٤٦٦ -	٨ن - ١٠ك - ١١ك - ١٣ك
(٣) ١٠٧٥ -	(٤) ١٠٤٩ -	١٠ك - ١١ك - ١٢ك - ١٣ك
(٣) ٨٩٤	(٣) ٨٨٥ -	٦ن - ١٤ك - ١٥ك - ١٦ك
(٣) ١٥٨٨	(٣) ١٥٨٣ -	٦ن - ١٤ك - ١٥ك - ١٦ك
(٣) ١١١٤ -	(٣) ١٠٨١ -	١٤ك - ١٥ك - ١٦ك - ١٧ك

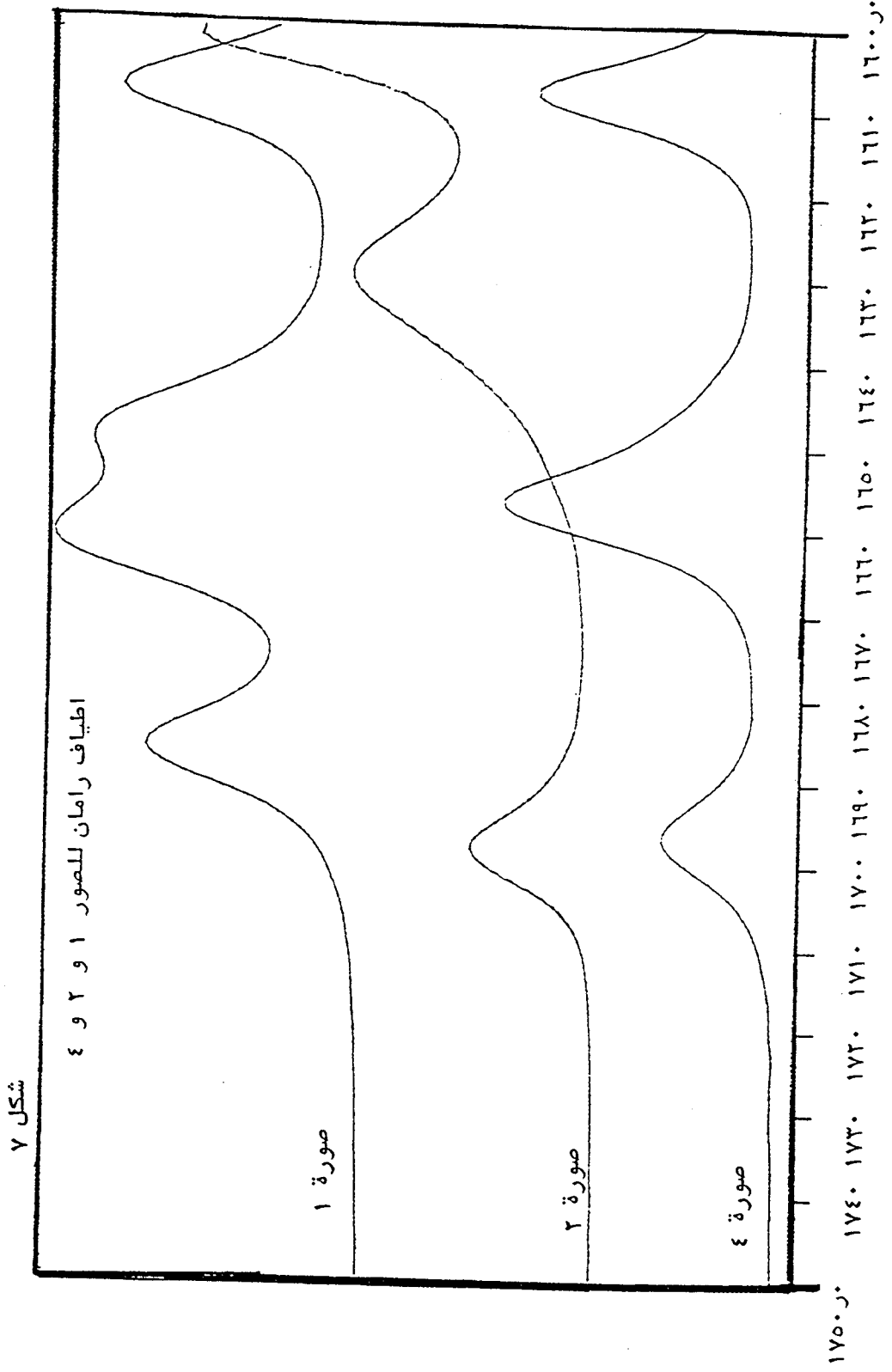




سى ام - ١



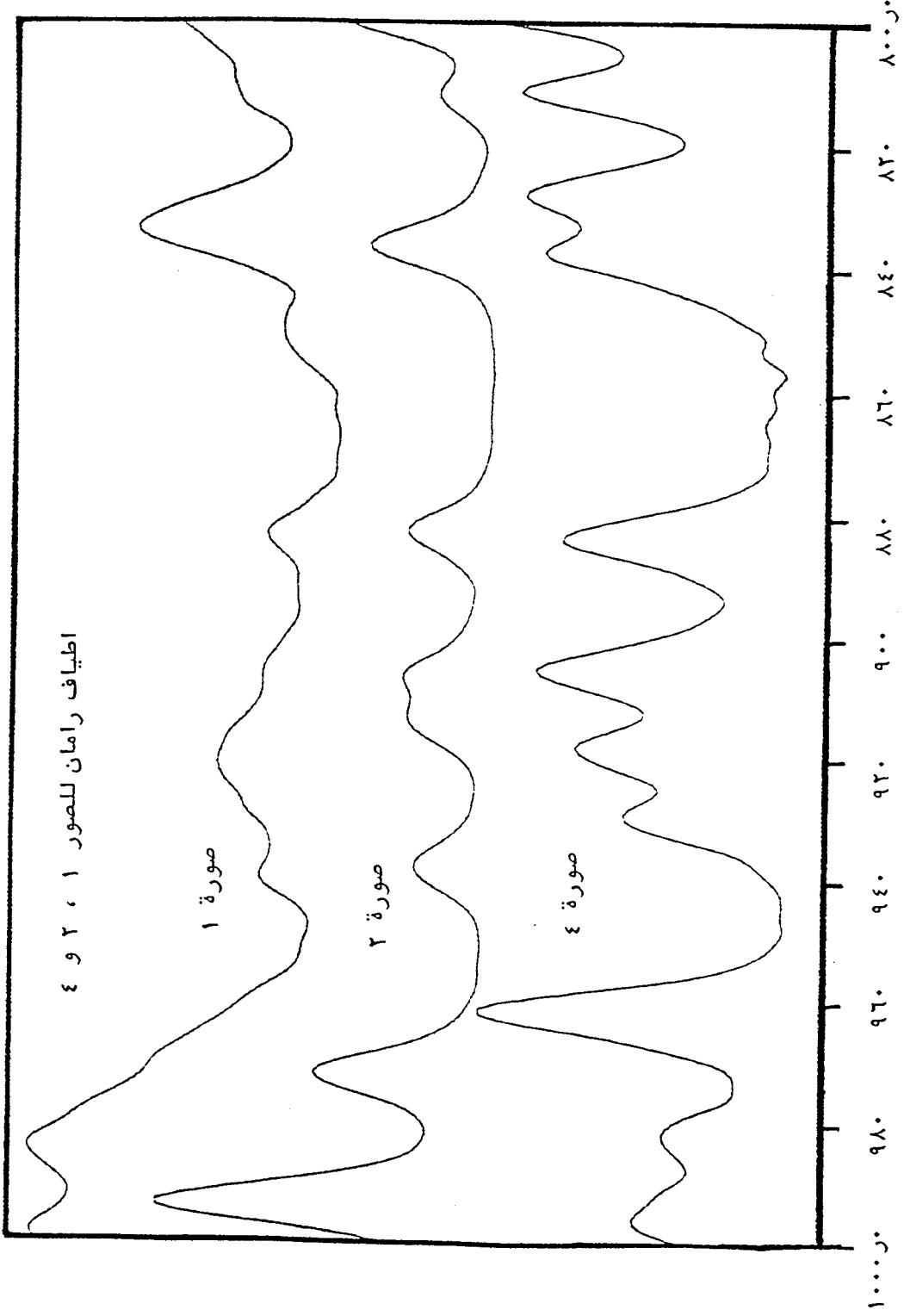
اس ام - ١



سى ام - ١

ای ان تی

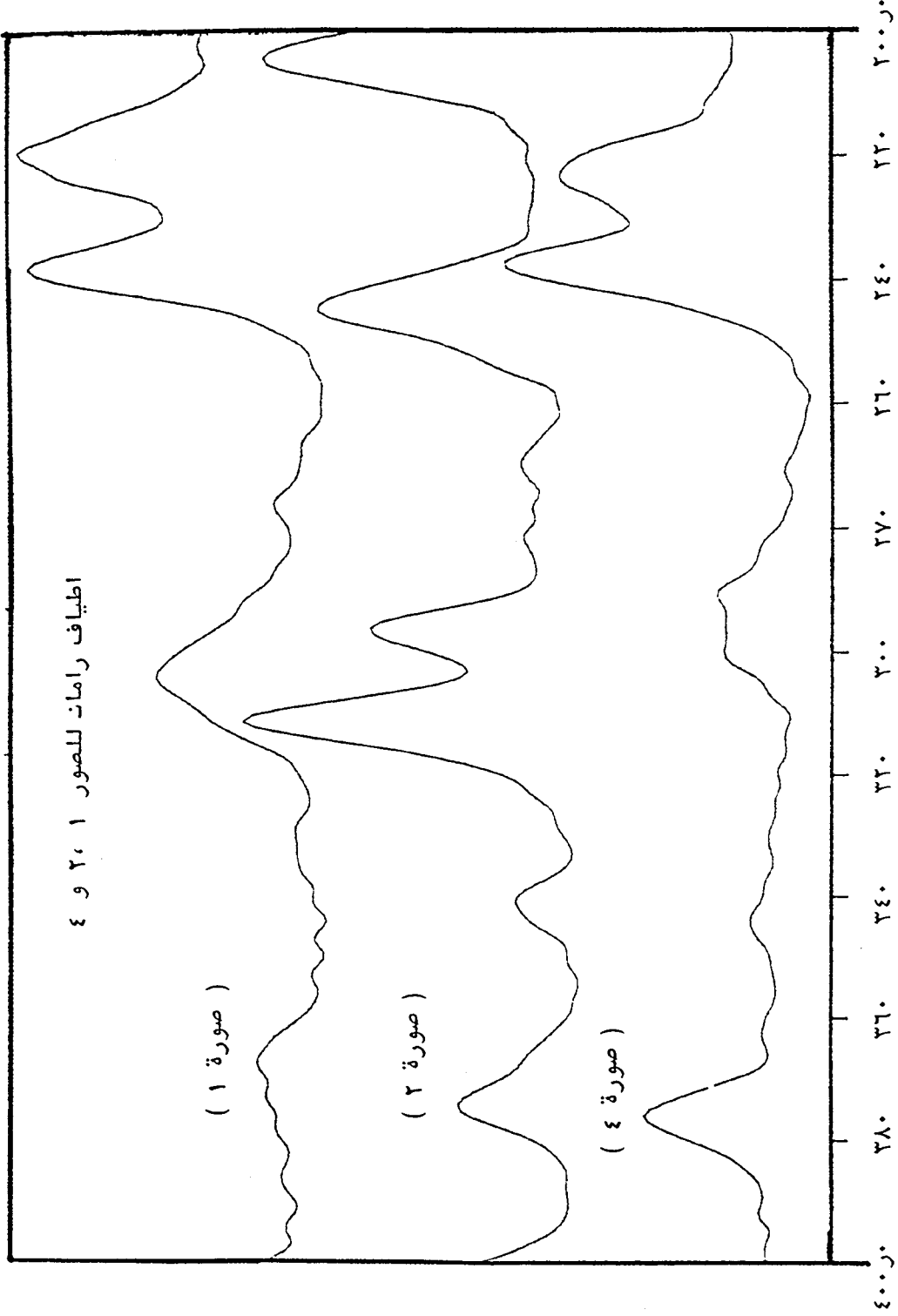
شكل ٨



سمي ام - ١

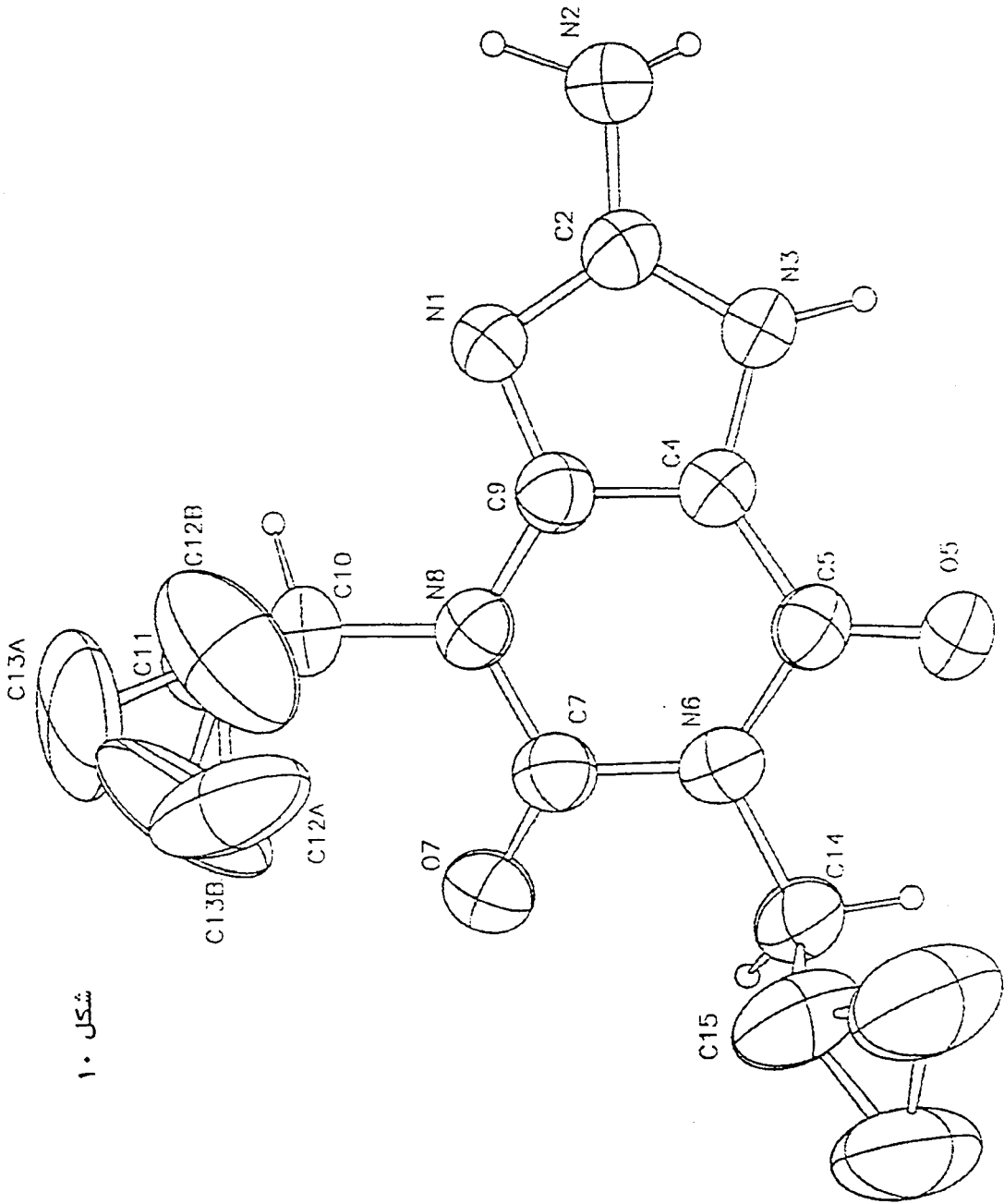


شكل ٩

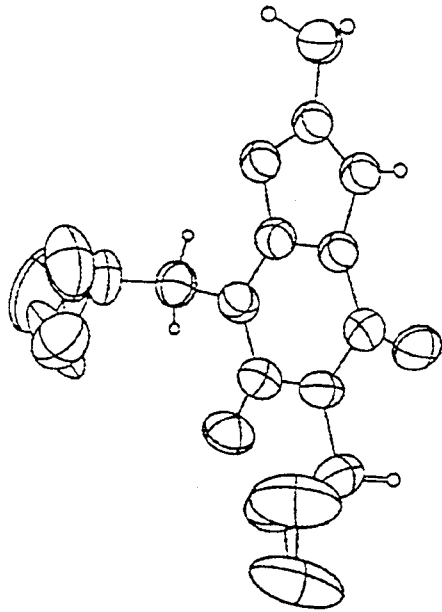
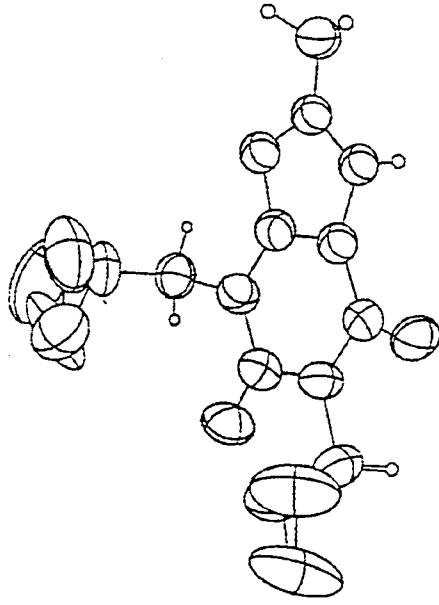


اي ان تبي

اس ام - ١



شکل ١٠



## جدول مسافات الارتباط بالانجستروم

المساحة	ذرة ٢	ذرة ١	المساحة	ذرة ٢	ذرة ١
١٤٩٣ر (٣)	ك ١١	ك ١٠	١٢٣٧ر (٢)	ك ٥	٠٥
١١٥٥ر (٥)	ك ١٢ ب	ك ١١	١٢١١ر (٢)	ك ٧	٠٧
١٤٨١ر (٨)	ك ١٢ أ	ك ١١	١٣٤٤ر (٢)	ك ٢	١٥
١٣٦٦ر (٩)	ك ١٣ ب	ك ١١	١٣٦٧ر (٢)	ك ٩	١٥
١٢٩٢ر (٥)	ك ١٣ أ	ك ١١	١٣٥٥ر (٢)	ك ٢	٢٥
١٢٨٧ر (٩)	ك ١٢ أ	ك ١٢ ب	١٣٤٣ر (٢)	ك ٢	٣٥
١٥٠ر (١)	ك ١٣ ب	ك ١٢ ب	١٣٩٧ر (٢)	ك ٤	٣٥
١٥٩٧ر (٨)	ك ١٣ أ	ك ١٢ ب	١٣٩٩ر (٢)	ك ٥	٦٥
٠٥٥ر (٢)	ك ١٣ ب	ك ١٢ أ	١٤٠٢ر (٢)	ك ٧	٦٥
١٥٥ر (١)	ك ١٣ أ	ك ١٢ أ	١٤٧٦ر (٢)	ك ١٤	٦٥
١١٦ر (١)	ك ١٣ أ	ك ١٣ ب	١٣٨٨ر (٢)	ك ٧	٨٥
١٤٩٢ر (٣)	ك ١٥	ك ١٤	١٣٦٥ر (٢)	ك ٩	٨٥
١٤٥٣ر (٣)	ك ١٦	ك ١٥	١٤٦١ر (٢)	ك ١٠	٨٥
١٤٩٠ر (٣)	ك ١٧	ك ١٥	١٤٠٧ر (٢)	ك ٥	٤ك
١٥٠١ر (٤)	ك ١٧	ك ١٦	١٣٦٢ر (٢)	ك ٩	٤ك

الأرقام داخل الأقواس تمثل انحرافات قياسية تقديرية لأقل الأرقام أهمية .

## جدول زوايا الارتباط بالدرجات

الزاوية	ذرة ٣	ذرة ٢	ذرة ١	الزاوية	ذرة ٣	ذرة ٢	ذرة ١
(٤)١٢٤ر٩	ك١٢أ	ك١١	ك١٠	(١)١٠٢ر٥	ك٩	ن١	ك٢
(٥)١٢١ر٦	ك١٣ب	ك١١	ك١٠	(١)١٠٥ر٦	ك٤	ن٣	ك٢
(٥)١٣٢ر١	ك١٣أ	ك١١	ك١٠	(١)١٢٦ر١	ك٧	ن٦	م٥
(٤)٥٦ر٩	ك١٢أ	ك١١	ك١٢ب	(١)١١٩ر٠	ك١٤	ن٦	ك٥
(٥)٧٢ر٥	ك١٣ب	ك١١	ك١٢ب	(١)١١٤ر٨	ك١٤	ن٦	ك٧
(٤)٨١ر٣	ك١٣أ	ك١١	ك١٢ب	(١)١١٩ر٤	ك٩	ن٨	ك٧
(٧)٢١ر٦	ك١٣ب	ك١١	ك١٢أ	(١)١١٩ر٤	ك١٠	ن٨	ك٧
(٦)٦٧ر٨	ك١٣أ	ك١١	ك١٢أ	(١)١٢١ر٢	ك١٠	ن٨	ك٩
(٦)٥١ر٦	ك١٣أ	ك١١	ك١٣ب	(١)١٢٢ر٨	ن٢	ك٢	ن١
(٥)٧٤ر٥	ك١٢أ	ك١٢ب	ك١١	(١)١١٤ر١	ن٣	ك٢	ن١
(٤)٦٠ر٣	ك١٣ب	ك١٢ب	ك١١	(١)١٢٣ر٠	ن٣	ك٢	ن٢
(٣)٥٣ر١	ك١٣أ	ك١٢ب	ك١١	(١)١٣١ر٥	ك٥	ك٤	ن٣
(٧)٢٠ر٩	ك١٣ب	ك١٢ب	ك١٢أ	(١)١٠٥ر١	ك٩	ك٤	ن٣
(٦)٦٤ر١	ك١٣أ	ك١٢ب	ك١٢أ	(١)١٢٣ر٣	ك٩	ك٤	ك٥
(٥)٤٣ر٨	ك١٣أ	ك١٢ب	ك١٣ب	(١)١٢٠ر٧	ن٦	ك٥	أ٥
(٤)٤٨ر٧	ك١٢ب	ك١٢أ	ك١١	(١)١٢٦ر٩	ك٤	ك٥	أ٥
(١)٦٧ر	ك١٣ب	ك١٢أ	ك١١	(١)١١٢ر٤	ك٤	ك٥	ن٦
(٤)٥٠ر٣	ك١٣أ	ك١٢أ	ك١١	(٢)١٢١ر٥	ن٦	ك٧	أ٧
(٢)١٠٢ر	ك١٣ب	ك١٢أ	ك١٢ب	(١)١٢١ر٦	ن٨	ك٧	أ٧
(٥)٦٧ر٧	ك١٣أ	ك١٢أ	ك١٢ب	(٢)١١٦ر٨	ن٨	ك٧	ن٦
(٢)٣٦ر	ك١٣أ	ك١٢أ	ك١٣ب	(١)١٢٥ر٤	ن٨	ك٩	ن١
(٤)٤٧ر٢	ك١٢ب	ك١٣ب	ك١١	(٢)١١٢ر٧	ك٤	ك٩	ن١
(٢)٩١ر	ك١٢أ	ك١٣ب	ك١١	(١)١٢١ر٩	ك٤	ك٩	ن٨
(٦)٦٠ر٩	ك١٣أ	ك١٣ب	ك١١	(٢)١١٣ر٦	ك١١	ك١٠	ن٨
(١)٥٧ر	ك١٢أ	ك١٣ب	ك١٢ب	(٤)١٤٦ر٤	ك١٢ب	ك١١	ك١٠

شكل ١٣

## (تابع) زوايا الارتباط

الزاوية	ذرة ٣	ذرة ٢	ذرة ١	الزاوية	ذرة ٣	ذرة ٢	ذرة ١
(٧)١٦ر٢	ك١٣ب	ك١٣أ	ك١٢أ	٥٧٢ر٩(٩)	ك١٣أ	ك١٣ب	ك١٢ب
(٢)١١١ر٧	ك١٥	ك١٤	ن٦	(٢)١٢٧ر	ك١٣أ	ك١٣ب	ك١٢أ
(٢)١٢٢ر٢	ك١٦	ك١٥	ك١٤	(٣)٤٥ر٦	ك١٢ب	ك١٣أ	ك١١
(٢)١١٩ر٢	ك١٧	ك١٥	ك١٤	(٤)٦١ر٩	ك١٢أ	ك١٣أ	ك١١
(٢)٦١ر٣	ك١٧	ك١٥	ك١٦	(٥)٦٧ر٥	ك١٣ب	ك١٣أ	ك١١
(٢)٦٠ر٦	ك١٧	ك١٦	ك١٥	(٤)٤٨ر٢	ك١٢أ	ك١٣أ	ك١٢ب
(١)٥٨ر١	ك١٦	ك١٧	ك١٥	(٦)٦٣ر٦	ك١٣ب	ك١٣أ	ك١٢ب

الأرقام داخل الأقواس تمثل انحرافات قياسية لأقل الأرقام أهمية

## جدول زوايا بالدرجات

الزاوية	ذرة ٤	ذرة ٣	ذرة ٢	ذرة ١
(٠.٢١) ١٧٨ر٣٩	٢ن	٢ك	١ن	٩ك
(٠.٦٣) ٠.٠٠	٣ن	٢ك	١ن	٩ك
(٠.٢٠) ١٧٩ر٦٥	٨ن	٩ك	١ن	٢ك
(٢٢ر٠) ٠.٧٠	٤ك	٩ك	١ن	٢ك
(١٥ر٠) ١٧ر٦٧	١ن	٢ك	٢ن	٢ن١يد
(١٦٤ر٠٦- ١٦٤٨)	٣ن	٢ك	٢ن	٢ن١يد
(٢ر٤٣) ١٦٥ر٣٣	١ن	٢ك	٢ن	٢ن٢يد
(٢ر٤٥) ١٦٤ر٠-	٣ن	٢ك	٢ن	٢ن٢يد
(٠.٢٢) ٠.٠٤ -	١ن	٢ك	٣ن	٤ك
(٠.٢١) ١٧٨ر٤٥ -	٢ن	٢ك	٣ن	٤ك
(٠.٢٢) ١٧٣ر٤٧-	١ن	٢ك	٣ن	٣ن١يد
(٠.٤٠) ٨ر١٣	١ن	٢ك	٣ن	٣ن١يد
(٠.٢٤) ١٧٦ر٩٤-	٥ك	٤ك	٣ن	٢ك
(٠.٢٥) ٠.٠٩	٩ك	٤ك	٣ن	٢ك
(٠.٣٦) ٢ر٣١ -	٥ك	٤ك	٣ن	٣ن١يد
(٠.١٩) ١٧٤ر٧١	٩ك	٤ك	٣ن	٣ن١يد
(٠.٢١) ١٧٨ر٥٦	أ٥	٥ك	٦ن	٧ك
(٠.٣١) ١ر١٧-	٤ك	٥ك	٦ن	٧ك
(٠.٣٢) ٣ر٢٣	أ٥	٥ك	٦ن	١٤ك
(٠.٢٠) ١٧٦ر٥٠-	٤ك	٥ك	٦ن	١٤ك
(٠.٢٢) ١٧٩ر٠.٨	٧أ	٧ك	٦ن	٥ك
(٠.٣٠) ٠.٠٣ -	٨ن	٧ك	٦ن	٥ك
(٠.٣٢) ٥ر٤٢ -	٧أ	٧ك	٦ن	١٤ك
(٠.٢٠) ١٧٥ر٤٧	٨ن	٧ك	٦ن	١٤ك

## تابع جدول زوايا بالدرجات

الزاوية	ذرة ٤	ذرة ٣	ذرة ٢	ذرة ١
(٠.٢٧) ٩٧ر٤١	١٥ك	١٤ك	٦ن	٥ك
(٠.٢٧) ٧٨ر٤٣-	١٥ك	١٤ك	٦ن	٧ك
(٠.٢١) ١٧٨ر٩٠ -	٧أ	٧ك	٨ن	٩ك
(٠.٣١) ٠.٢١	٦ن	٧ك	٨ن	٩ك
(٠.٣٣) ٢ر٣١	٧أ	٧ك	٨ن	١٠ك
(٠.١٩) ١٧٨ر٥٨-	٦ن	٧ك	٨ن	١٠ك
(٠.٢٠) ١٧٨ر٦٠-	١ن	٩ك	٨ن	٧ك
(٠.٣١) ٠.٩٤	٤ك	٩ك	٨ن	٧ك
(٠.٣٤) ٠.١٧	١ن	٩ك	٨ن	١٠ك
(٠.٢٠) ١٧٩ر٧١	٤ك	٩ك	٨ن	١٠ك
(٠.٢٨) ٩٢ر٩١	١١ك	١٠ك	٨ن	٧ك
(٠.٢٩) ٨٥ر٨٦-	١١ك	١٠ك	٤ك	٩ك
(٠.٤٢) ٠.٨٢ -	٥أ	٥ك	٤ك	٣ن
(٠.٢٢) ١٧٨ر٨٩	٦ن	٥ك	٤ك	٣ن
(٠.٢٢) ١٧٧ر٣٨ -	٥أ	٥ك	٤ك	٩ك
(٠.٣٢) ٢ر٣٣	٦ن	٥ك	٤ك	٩ك
(٠.٢٧) ٠.١٠-	١ن	٩ك	٤ك	٣ن
(٠.٢٠) ١٧٩ر٦٩-	٨ن	٩ك	٤ك	٣ن
(٠.٢٠) ١٧٧ر٢٣	١ن	٩ك	٤ك	٥ك
(٠.٣٤) ٢ر٣٦-	٨ن	٩ك	١٠ك	٥ك
(١.٠١) ١٨ر١٤	ك١٢ب	١١ك	١٠ك	٨ن
(٠.٥٧) ٦٢ر٨٩-	ك١٢أ	١١ك	١٠ك	٨ن
(٠.٦٢) ٨٨ر٥٣ -	ك١٣ب	١١ك	١٠ك	٨ن
(٠.٦٠) ١٥٣ر٢٠ -	ك١٣أ	١١ك	١١ك	٨ن
(٠.٨٩) ١٠٤ر٥٢ -	ك١٣أ	ك١٢ب	١١ك	١٠ك



## تابع جدول زوايا بالدرجات

الزاوية	ذرة ٤	ذرة ٣	ذرة ٢	ذرة ١
(٠.٩٦) ١٢١ر١٦-	ك ١٣ ب	ك ١٢ ب	ك ١١	ك ١٠
(٠.٩٨) ١٧٣ر٥٨ -	ك ١٣ أ	ك ١٢ ب	ك ١١	ك ١٠
(٠.٦٣) ١٦٦ر٦٤-	ك ١٣ ب	ك ١٢ ب	ك ١١	ك ١٢ أ
(٠.٦١) ٦٩.٥ -	ك ١٣ أ	ك ١٢ ب	ك ١١	ك ١٢ أ
(٠.٦٣) ١٦٦ر٦٤	ك ١٢ أ	ك ١٢ ب	ك ١١	ك ١٣ ب
(٠.٦٦) ٥٢ر٤٢-	ك ١٣ أ	ك ١٢ ب	ك ١١	ك ١٣ ب
(٠.٦١) ٦٩.٥	ك ١٢ أ	ك ١٢ ب	ك ١١	ك ١٣ أ
(٠.٦٦) ٥٢ر٤٢	ك ١٣ ب	ك ١٢ ب	ك ١١	ك ١٣ أ
(٠.٦٩) ١٣٩ر٢٠	ك ١٢ ب	ك ١٢ أ	ك ١١	ك ١٠
(١ر٤١) ٨٨ر٥٦ -	ك ١٣ ب	ك ١٢ أ	ك ١١	ك ١٠
(٠.٦٩) ١٢٦ر٦٩-	ك ١٣ أ	ك ١٢ أ	ك ١١	ك ١٠
(١ر٥٤) ١٣٢ر٢٥	ك ١٣ ب	ك ١٢ أ	ك ١١	ك ١٢ ب
(٠.٧٩) ٩٤ر١٢	ك ١٣ أ	ك ١٢ أ	ك ١١	ك ١٢ ب
(١ر٥٤) ١٣٢ر٢٥-	ك ١٢ ب	ك ١٢ أ	ك ١١	ك ١٣ ب
(١ر٤١) ٣٨ر١٣-	ك ١٣ أ	ك ١٢ أ	ك ١١	ك ١٣ ب
(٠.٧٩) ٩٤ر١٢-	ك ١٢ ب	ك ١٢ أ	ك ١١	ك ١٣ أ
(٤١ر١) ٣٨ر١٣	ك ١٣ ب	ك ١٢ أ	ك ١١	ك ١٣ أ
(٠.٦٣) ١٤٦ر١٩	ك ١٢ ب	ك ١٢ ب	ك ١١	ك ١٠
(١ر٢٧) ١٠.٥ر٦٦	ك ١٢ أ	ك ١٢ ب	ك ١١	ك ١٠
(٠.٧٦) ١٢١ر١٢-	ك ١٣ أ	ك ١٢ ب	ك ١١	ك ١٠
(١ر٣٣) ٤.٠ر٥٣-	ك ١٢ أ	ك ١٢ ب	ك ١١	ك ١٢ ب
(٠.٨٤) ٩٢ر٦٩	ك ١٣ أ	ك ١٢ ب	ك ١١	ك ١٢ ب
(١ر٣٣) ٤.٠ر٥٣	ك ١٢ ب	ك ١٢ ب	ك ١١	ك ١٢ أ
(١ر٥٩) ١٣٣ر٢٢	ك ١٣ أ	ك ١٢ ب	ك ١١	ك ١٢ أ

## شكل ١٤

## تابع جدول زوايا بالدرجات

الزاوية	ذرة ٤	ذرة ٣	ذرة ٢	ذرة ١
(٠.٨٤)٩٢ر٦٩ -	ك ١٢ ب	ك ١٣ ب	ك ١١	ك ١٣ أ
(٠.٩٩)١٣٣ر٢٢ -	ك ١٢ أ	ك ١٣ ب	ك ١١	ك ١٣ أ
(٠.٧٢)١٧٥ر٢١	ك ١٢ ب	ك ١٣ أ	ك ١١	ك ١٠
(٠.٦٣)١١٧ر٥٥	ك ١٢ أ	ك ١٣ أ	ك ١١	ك ١٠
(٠.٧١)١٠٠ر٦٦	ك ١٣ ب	ك ١٣ أ	ك ١١	ك ١٠
(٠.٦٠)٥٧ر٦٦ -	ك ١٢ أ	ك ١٣ أ	ك ١١	ك ١٢ ب
(٠.٧٠)٧٤ر٥٥ -	ك ١٣ ب	ك ١٣ أ	ك ١١	ك ١٢ ب
(٠.٦٠)٥٧ر٦٦	ك ١٢ ب	ك ١٣ أ	ك ١١	ك ١٢ أ
(٠.٥٨)١٦٦لا٨٨ -	ك ١٣ ب	ك ١٣ أ	ك ١١	ك ١٢ أ
(٠.٧٠)٧٤ر٥٥	ك ١٢ ب	ك ١٣ أ	ك ١١	ك ١٣ ب
(٠.٥٨)١٦٦لا٨٨	ك ١٢ أ	ك ١٣ أ	ك ١١	ك ١٣ ب
(١.٣٨)٤٤ر٢٩ -	ك ١٣ ب	ك ١٣ أ	ك ١٢ ب	ك ١١
(٠.٥٢)٥٦ر١٠	ك ١٣ أ	ك ١٢ أ	ك ١٢ ب	ك ١١
(١.٣٨)٤٤ر٢٩	ك ١١	ك ١٢ أ	ك ١٢ ب	ك ١٣ ب
(١.٢٢)١١٨ر١ -	ك ١٣ أ	ك ١٢ أ	ك ١٢ ب	ك ١٣ ب
(٠.٥٢)٥٦ر١٠	ك ١١	ك ١٢ أ	ك ١٢ ب	ك ١٣ أ
(١.٢٢)١١٨ر١	ك ١٣ ب	ك ١٢ أ	ك ١٢ ب	ك ١٣ أ
(١.٤٨)١٢٩ر٢٢	ك ١٢ أ	ك ١٣ ب	ك ١٢ ب	ك ١١
(٠.٦٦)٦٦ر٢١ -	ك ١٣ ب	ك ١٣ ب	ك ١٢ ب	ك ١١
(١.٤٨)١٢٩ر٢٢ -	ك ١١	ك ١٣ ب	ك ١٢ ب	ك ١٢ أ
(١.٥٦)١٦٤ر٥٧	ك ١٣ أ	ك ١٣ ب	ك ١٢ ب	ك ١٢ أ
(٠.٦٦)٦٦ر٢١	ك ١١	ك ١٣ ب	ك ١٢ ب	ك ١٣ أ
(١.٥٦)١٦٤ر٥٧ -	ك ١٢ أ	ك ١٣ ب	ك ١٢ ب	ك ١٣ أ
(٠.٦٥)٨٩ر٥٢	ك ١٢ أ	ك ١٣ أ	ك ١٢ ب	ك ١١
(٠.٦٩)٨٣ر٤٨	ك ١٣ ب	ك ١٣ أ	ك ١٢ ب	ك ١١
(٠.٦٥)٨٩ر٥٢ -	ك ١١	ك ١٣ أ	ك ١٢ ب	ك ١٢ أ

## تابع جدول زوايا بالدرجات

الزاوية	ذرة ٤	ذرة ٣	ذرة ٢	ذرة ١
٦٠٤- (٠٥٨)	ك ١٣ ب	ك ١٣ أ	ك ١٢ ب	ك ١٢ أ
٨٣٤٨- (٠٦٩)	ك ١١	ك ١٣ أ	ك ١٢ ب	ك ١٣ ب
٦٠٤ (٠٥٨)	ك ١٢ أ	ك ١٣ أ	ك ١٢ ب	ك ١٣ ب
٣٤٦٦- (٠٨٩)	ك ١٢ ب	ك ١٣ ب	ك ١٢ أ	ك ١١
٥٣٢٩- (١١٦)	ك ١٣ أ	ك ١٣ ب	ك ١٢ أ	ك ١١
٣٤٦٦ (٠٨٩)	ك ١١	ك ١٣ ب	ك ١٢ أ	ك ١٢ ب
١٨٦٣- (١٧٦)	ك ١٣ أ	ك ١٣ ب	ك ١٢ أ	ك ١٢ ب
١٨٦٣ (١٧٦)	ك ١٢ ب	ك ١٣ ب	ك ١٢ أ	ك ١٣ أ
٥٤٠٨- (٠٥٦)	ك ١٢ ب	ك ١٣ أ	ك ١٢ أ	ك ١١
١٠٦١٩ (١٧٥)	ك ١٣ ب	ك ١٣ أ	ك ١٢ أ	ك ١١
٥٤٠٨ (٠٥٦)	ك ١١	ك ١٣ أ	ك ١٢ أ	ك ١٢ ب
١٦٠٢٧ (١٨٦)	ك ١٣ ب	ك ١٣ أ	ك ١٢ أ	ك ١٢ ب
١٠٦١٩- (١٧٥)	ك ١١	ك ١٣ أ	ك ١٢ أ	ك ١٣ ب
١٦٠٢٧- (١٨٦)	ك ١٢ ب	ك ١٣ أ	ك ١٢ أ	ك ١٣ ب
٥٠٢٣ (٠٤٨)	ك ١٢ ب	ك ١٣ أ	ك ١٣ ب	ك ١١
٦٦٥٤ (١٦٤)	ك ١٢ أ	ك ١٣ أ	ك ١٣ ب	ك ١١
٥٠٢٣ (٠٤٨)	ك ١١	ك ١٣ أ	ك ١٣ ب	ك ١٢ ب
١٦٣١ (١٥٥)	ك ١٢ أ	ك ١٣ أ	ك ١٣ ب	ك ١٢ ب
٦٦٥٤ (١٦٤)	ك ١١	ك ١٣ أ	ك ١٣ ب	ك ١٢ أ
١٦٣١ (١٥٥)	ك ١٢ ب	ك ١٣ أ	ك ١٣ ب	ك ١٢ أ
١٦٠٢٥- (٠٣١)	ك ١٦	ك ١٥	ك ١٤	ن ٦
٨٧٦١- (٠٣٥)	ك ١٧	ك ١٥	ك ١٤	ن ٦
١٠٨١٧ (٠٤٠)	ك ١٧	ك ١٦	ك ١٥	ك ١٤
١١٢٩٨- (٠٣٧)	ك ١٦	ك ١٧	ك ١٥	ك ١٤

شكل ١٥

المتغيرات الموضوعية وحيوداتها القياسية التقديرية

الذرة	س	ص	ع	ب(٢١)
أد	(١)١,٥٥٩٩	(١)١,٨٩١٨	(٣)١,٨٩١٨	(٤)٤,٨٨
٧أ	(٢)١,٣٠٤٧	(١)١,٧١٩٧	(١)١,٧١٩٧	(٤)٥,٢٥
١ن	(٢)١,١٣٤١	(١)١,٩٥٢٧	(١)١,٩٥٢٧	(٤)٣,٧٧
٢ن	(٢)١,١٣٩٧	(٢)٢,٠٧٧١	(٢)٢,٠٧٧١	(٤)٤,٧١
٣ن	(٢)١,٣٢٠٦	(١)١,٩٩٦٧	(١)١,٩٩٦٧	(٤)٣,٨٩
٦ن	(٢)١,٤٣١١	(٢)١,٨٠٦٣	(٢)١,٨٠٦٣	(٤)٤,١٣
٨ن	(٢)١,٢١١٣	(١)١,٨٣٠٥	(١)١,٨٣٠٥	(٤)٣,٩٠
٢ك	(٢)١,١٩٦٨	(٢)٢,٠٠٩٩	(٢)٢,٠٠٩٩	(٤)٣,٧٠
٤ك	(٢)١,٣٤٢٠	(٢)١,٩٢٤٢	(٢)١,٩٢٤٢	(٤)٣,٨٣
٥ك	(٢)١,٤٥٢٨	(٢)١,٨٧٦٩	(٢)١,٨٧٦٩	(٥)٣,٩٤
٧ك	(٢)١,٣١٤٦	(٢)١,٧٨٠٩	(٢)١,٧٨٠٩	(٥)٤,١١
٩ك	(٢)١,٢٢٧٣	(٢)١,٩٠٠٣	(٢)١,٩٠٠٣	(٤)٣,٥٧
١٠ك	(٢)١,٠٨٧٦	(٢)١,٨٠٥٤	(٢)١,٨٠٥٤	(٥)٤,٦٠
١١ك	(٣)١,٠٤١٧	(٣)١,٧١٦١	(٣)١,٧١٦١	(٩)٨,٤٢
ك١٢ب	(٨)١,٠٥٢٧	(٦)١,٦٦٤٩	(٦)١,٦٦٤٩	(٢)١٠,٧
ك١٢أ	(٧)١,١٠٠٦	(٥)١,٦٠٣٤	(٥)١,٦٠٣٤	(٢)٩,٩
ك١٣ب	(١)١,٠٦٦	(٥)١,٦١٠٧	(٥)١,٦١٠٧	(٣)١١,٤
ك١٣أ	(٧)٠,٩٦٣٨	(٨)١,٦٤٧٥	(٨)١,٦٤٧٥	(٣)١٢,٢
١٤ك	(٢)١,٥٣٨١	(٢)١,٧٤٥٣	(٢)١,٧٤٥٣	(٦)٥,١٢
١٥ك	(٣)١,٥٦٣٠	(٣)١,٦٣٣٩	(٣)١,٦٣٣٩	(٩)٧,٨٩
١٦ك	(٤)١,٦٨٢٣	(٤)١,٥٧٠١	(٤)١,٥٧٠١	(١)١١,٢
١٧ك	(٤)١,٦٤٥٣	(٤)١,٦١٥٢	(٤)١,٦١٥٢	(١)١٠,٩

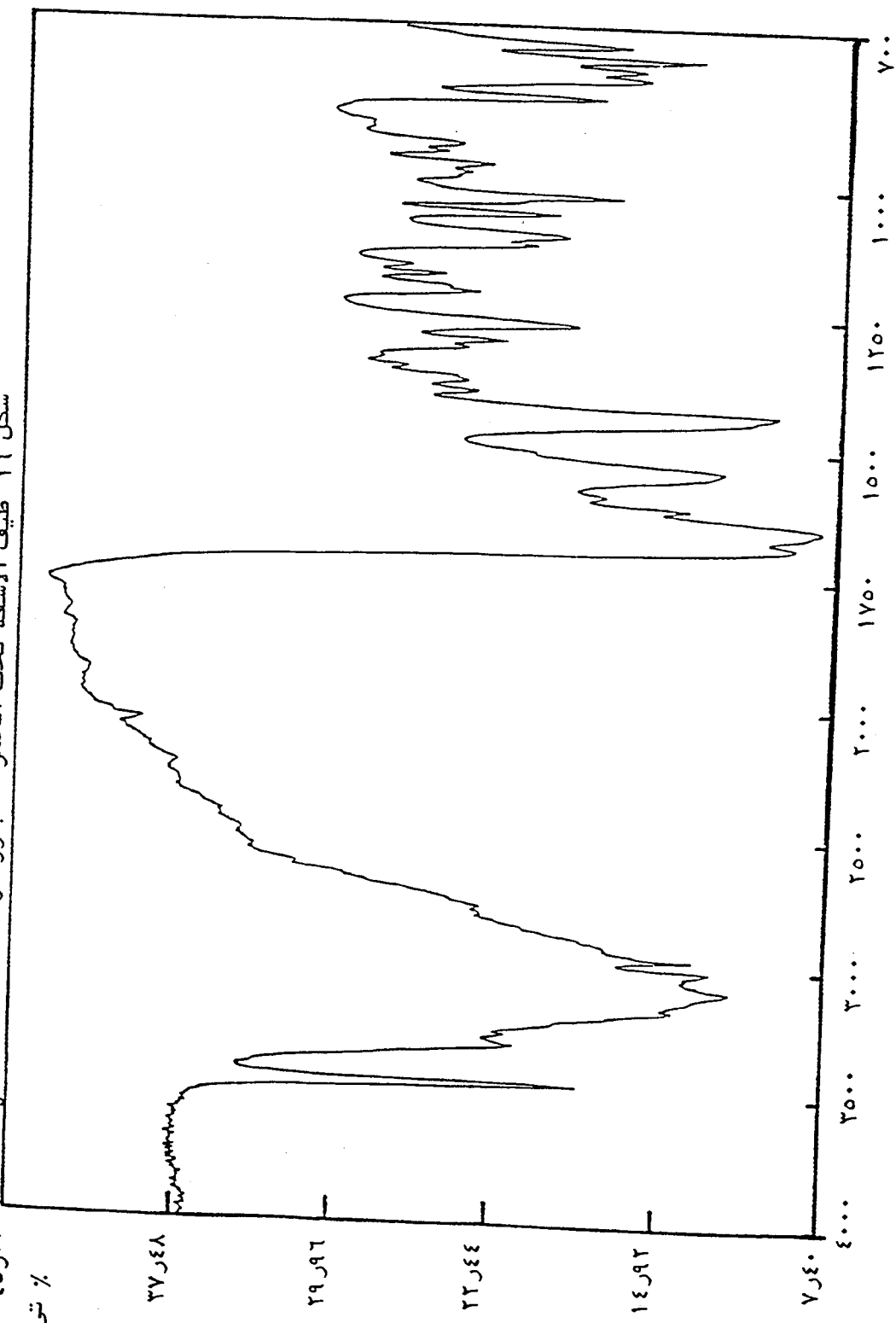
يبين الجدول الذرات الأيزوتروبية المنقاه في صورة متغير الازاحة الأيزوتروبي المكافئ  
المحدد كالآتي :

$$(14/3) + (a^2+B(1,1) + b^2 + B(2,2) + c^2+B(3,3)+ ab$$

$$(\cos \gamma)+ B(1,2)+ac(\cos \beta)+B(1,3)+bc(\cos \alpha)$$

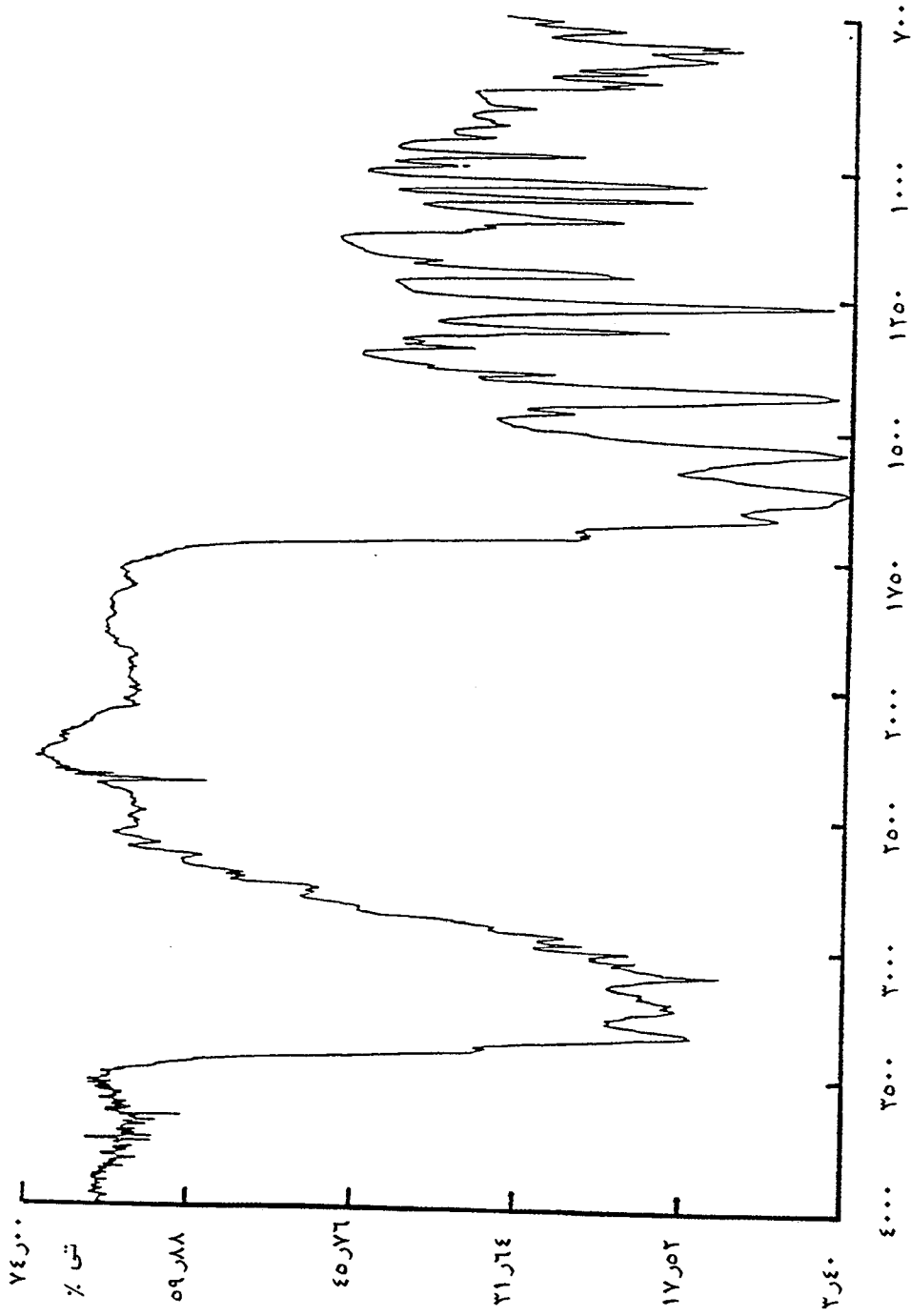
$$+ B(2,3)$$

شكل ١٦ طيف الاشعة تحت الحمراء لبلورة واحدة ذات الصورة ١ من بين ارب ال- ٦١٠٦٣  
٤٥٠٠



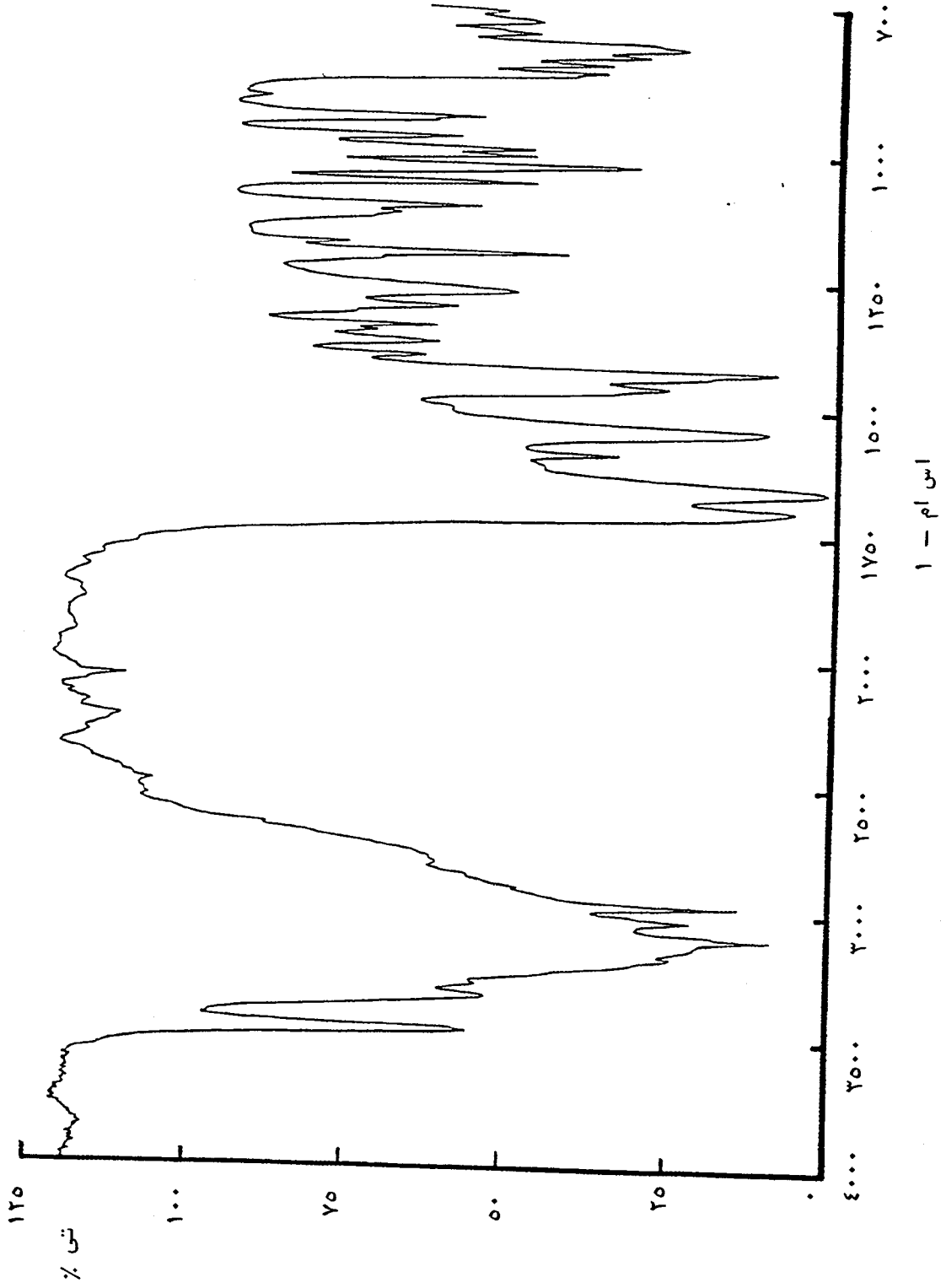
سما - ١

شكل ١٧ / طيف الأشعة تحت الحمراء لبلورة واحدة ذات الصورة ٢ من بي آر ال - ٦١٠٦٣

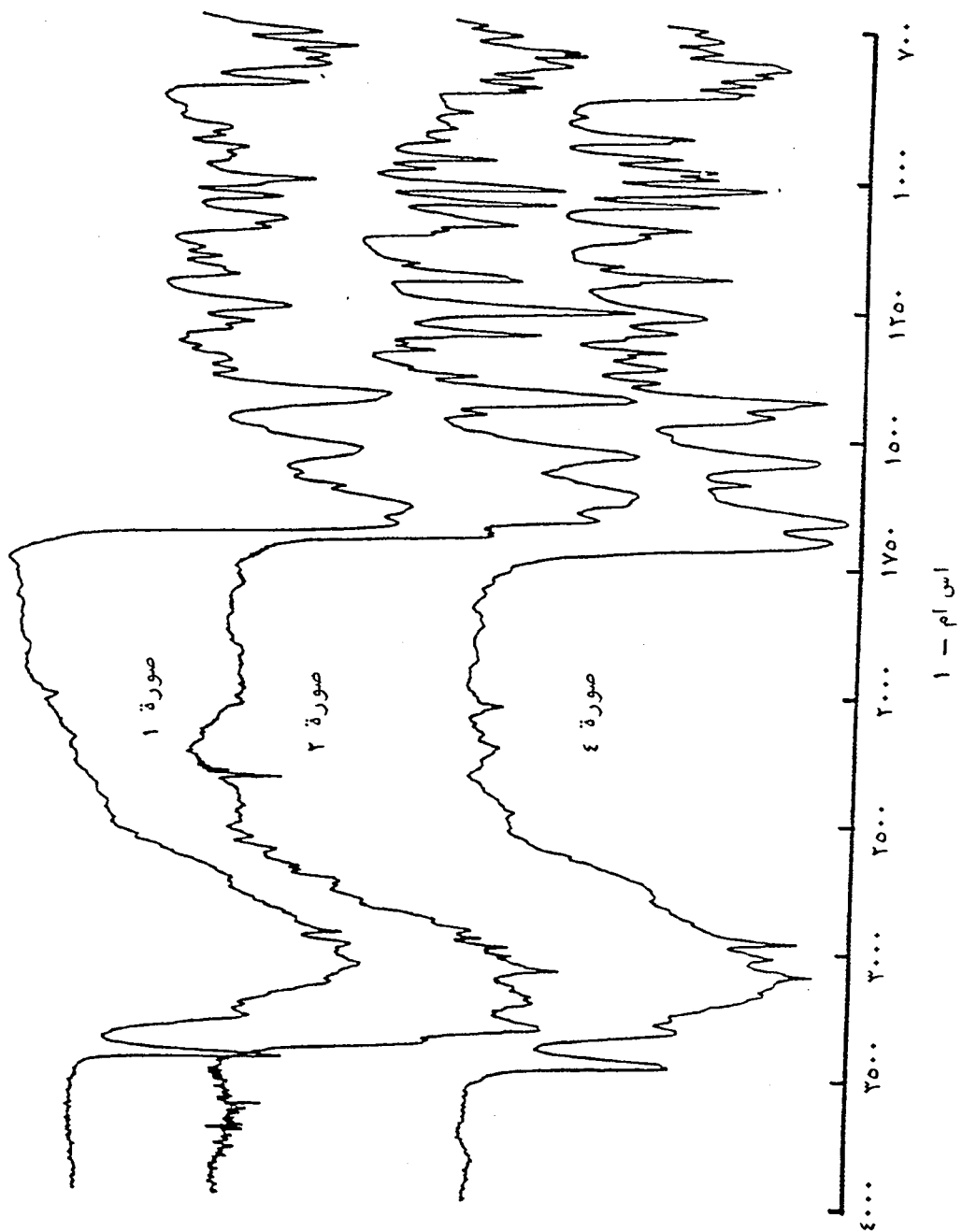


اس ام - ١

شكل ١٨ طيف الأشعة تحت الحمراء لبلورة واحدة ذات الصورة ٤ من بي آر ال - ٦١٠٦٣

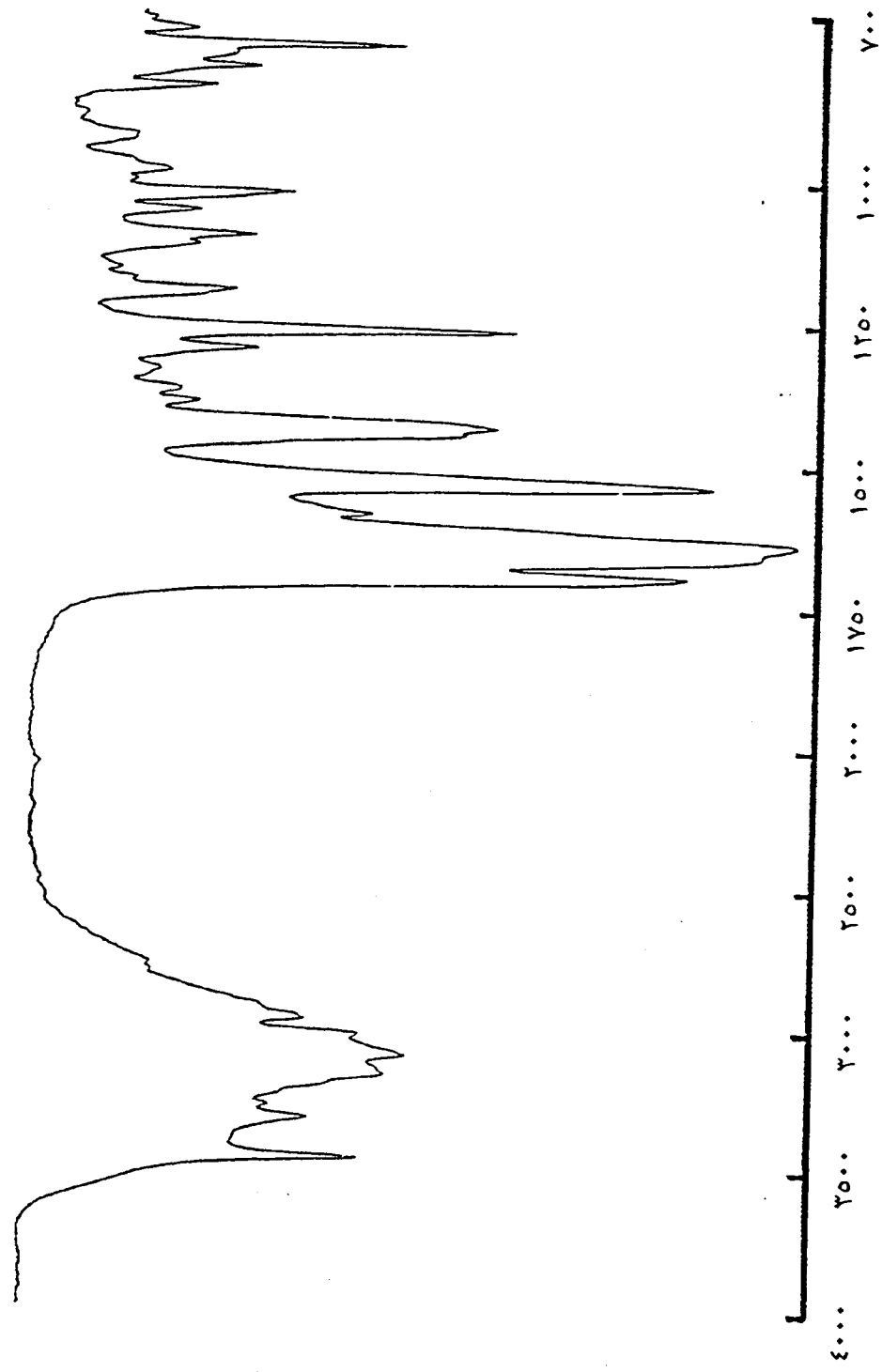


شكل ١٩ طيف الاشعة تحت الحمراء لبلورة واحدة ذات الصورة ١ ، ٢ ، و ٤ من بي ار ال - ٦١٠٦٣

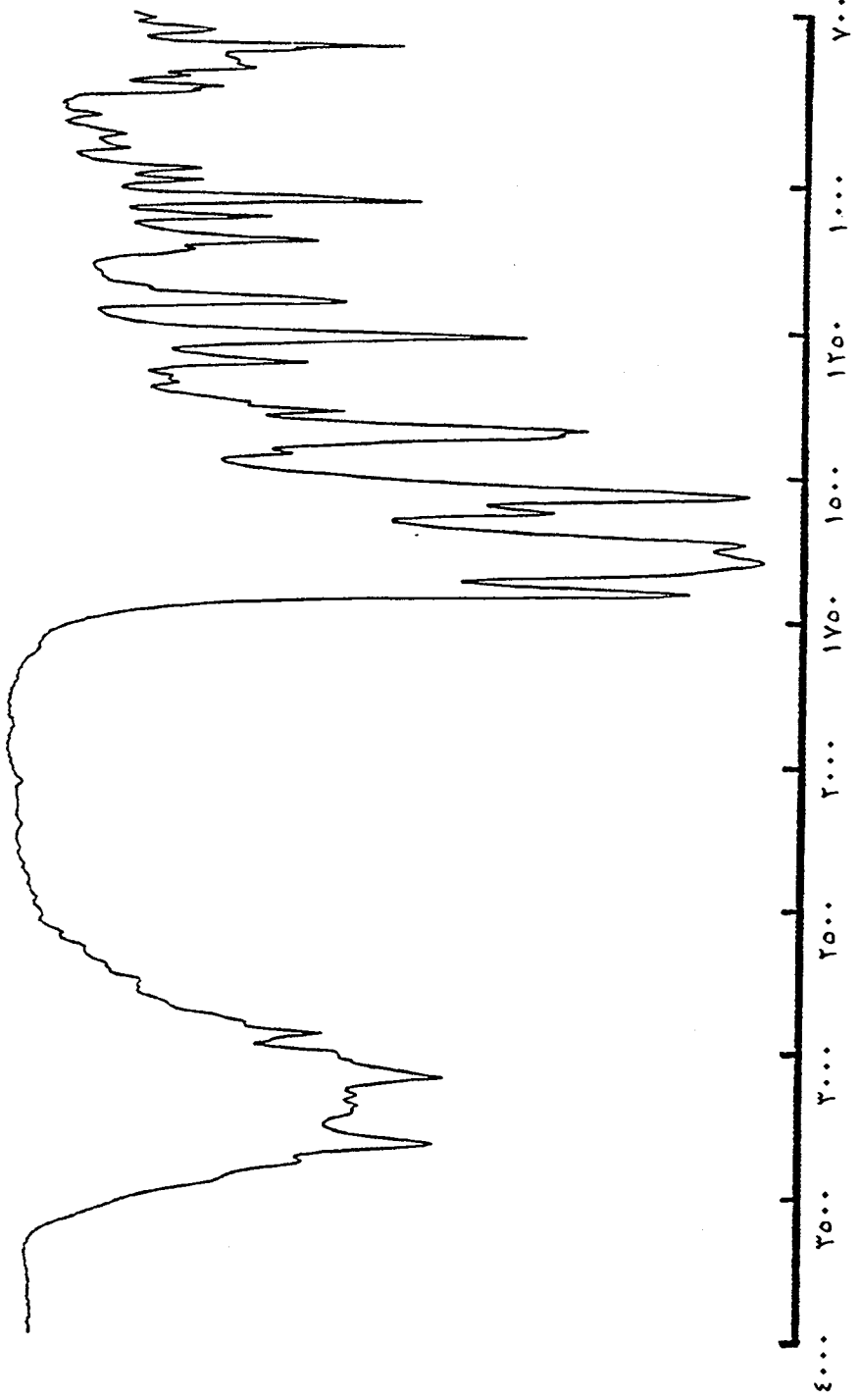




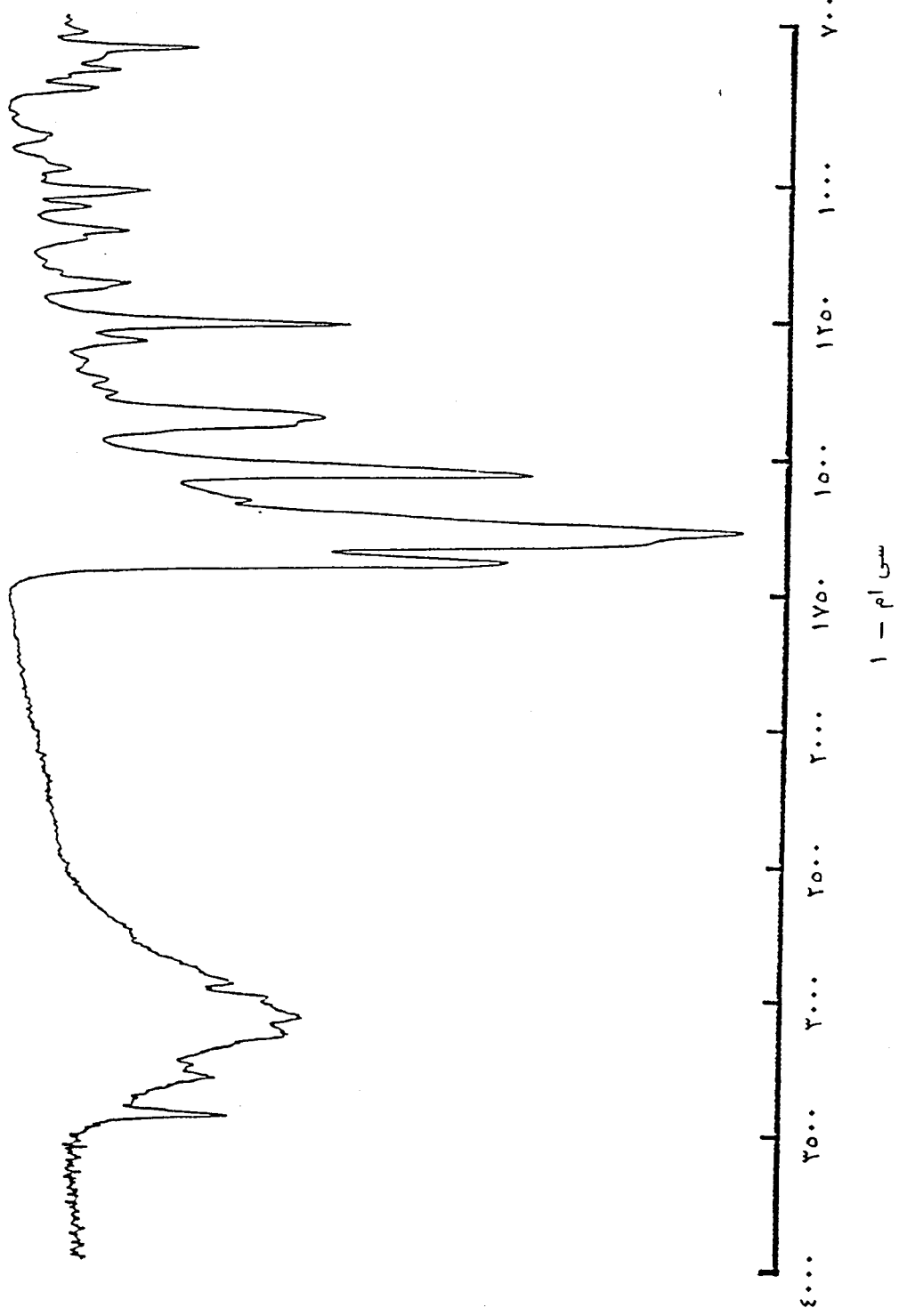
شكل ٢٠ طيف الاشعة تحت الحمراء لقرص بو بر ذي الصورة ١ من بي ار ال - ٦١٠٦٣



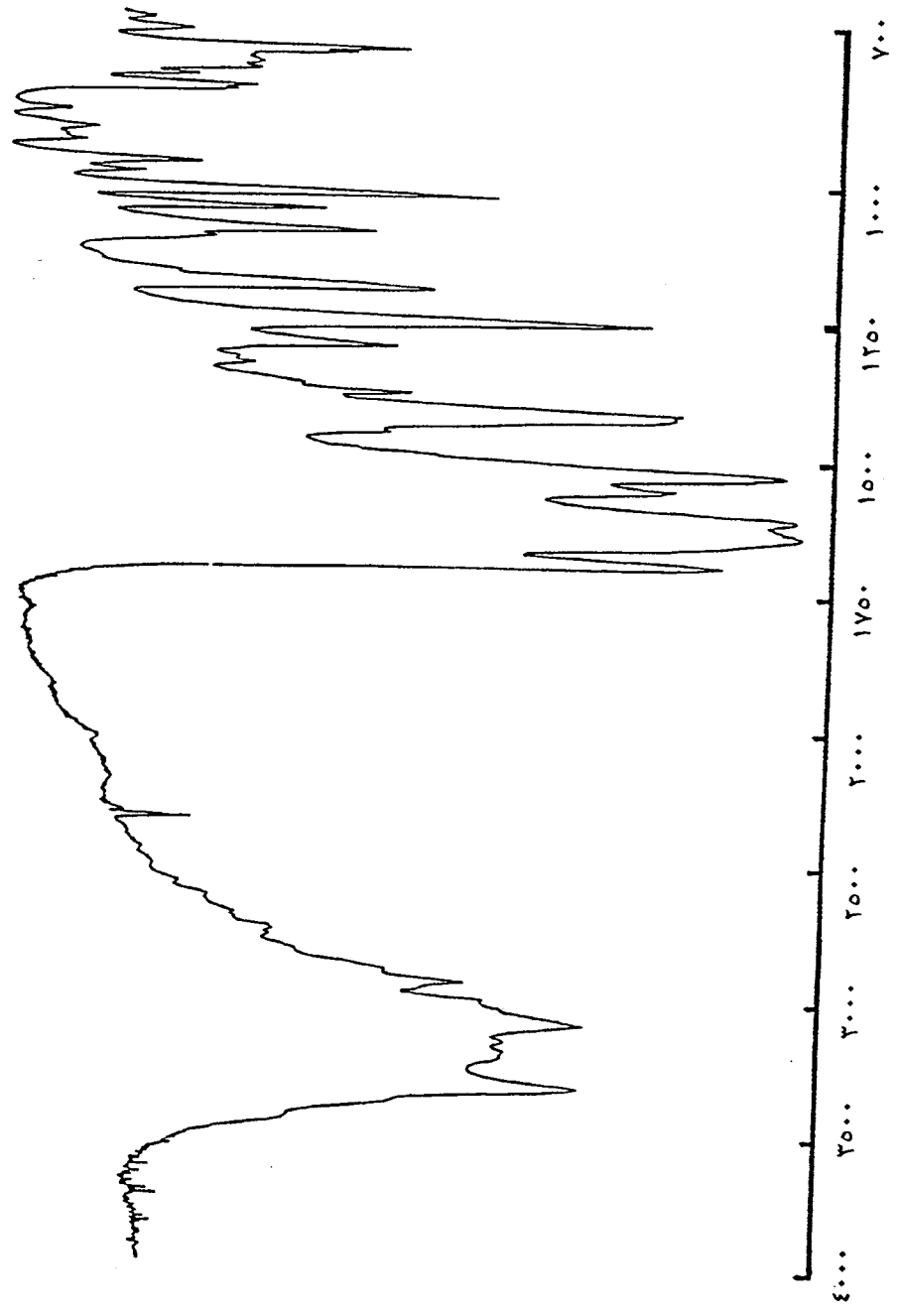
شكل ٢١ طيف الأشعة تحت الحمراء لقرص بوب ذي الصورة ٢ من بين ال - ٦١٠٦٣



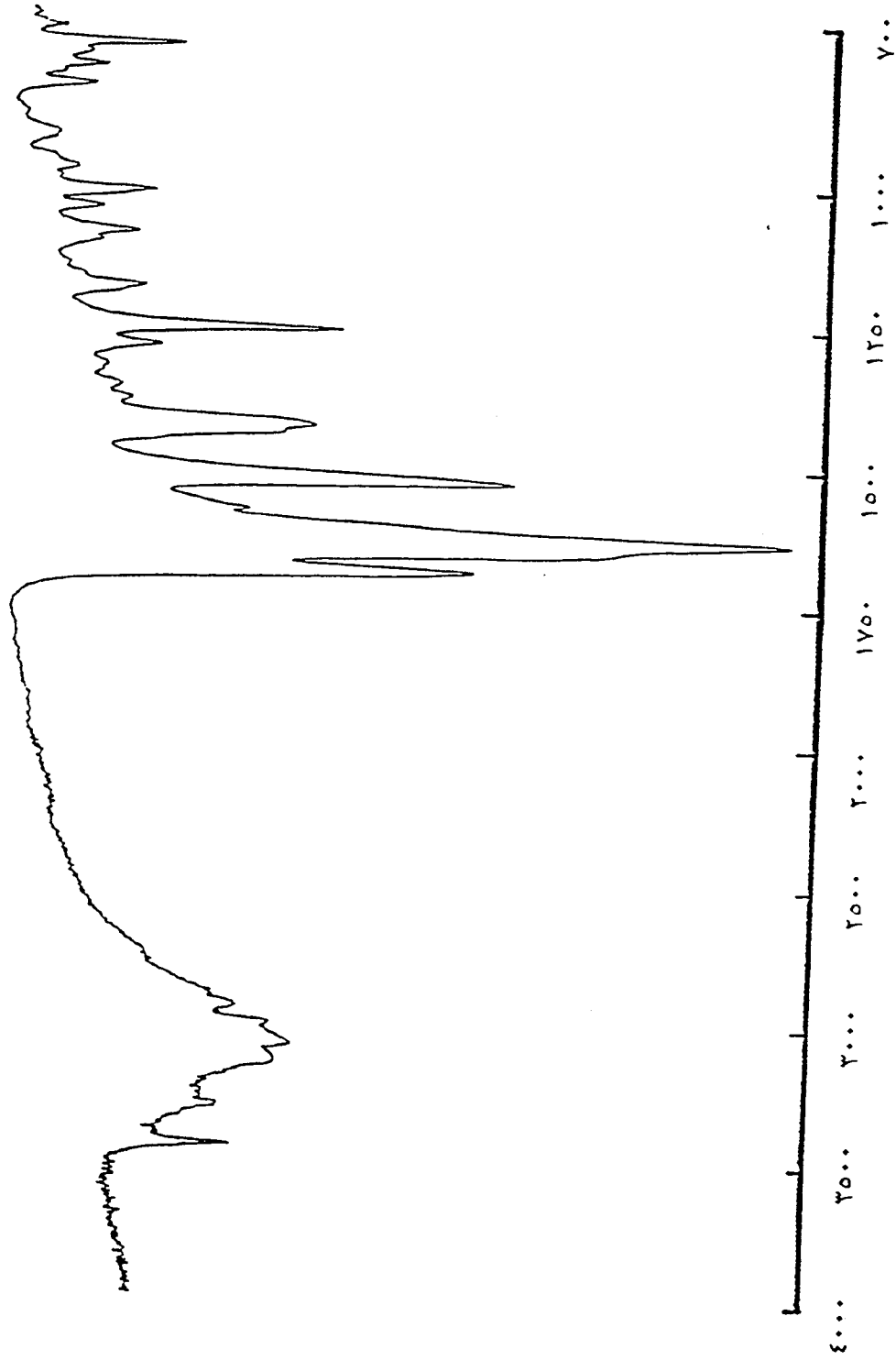
شكل ٢٢ طيف الأشعة تحت الحمراء لبلورة مسحوق ذات الصورة ١ من بن ا ر ال - ٦١٠٦٣



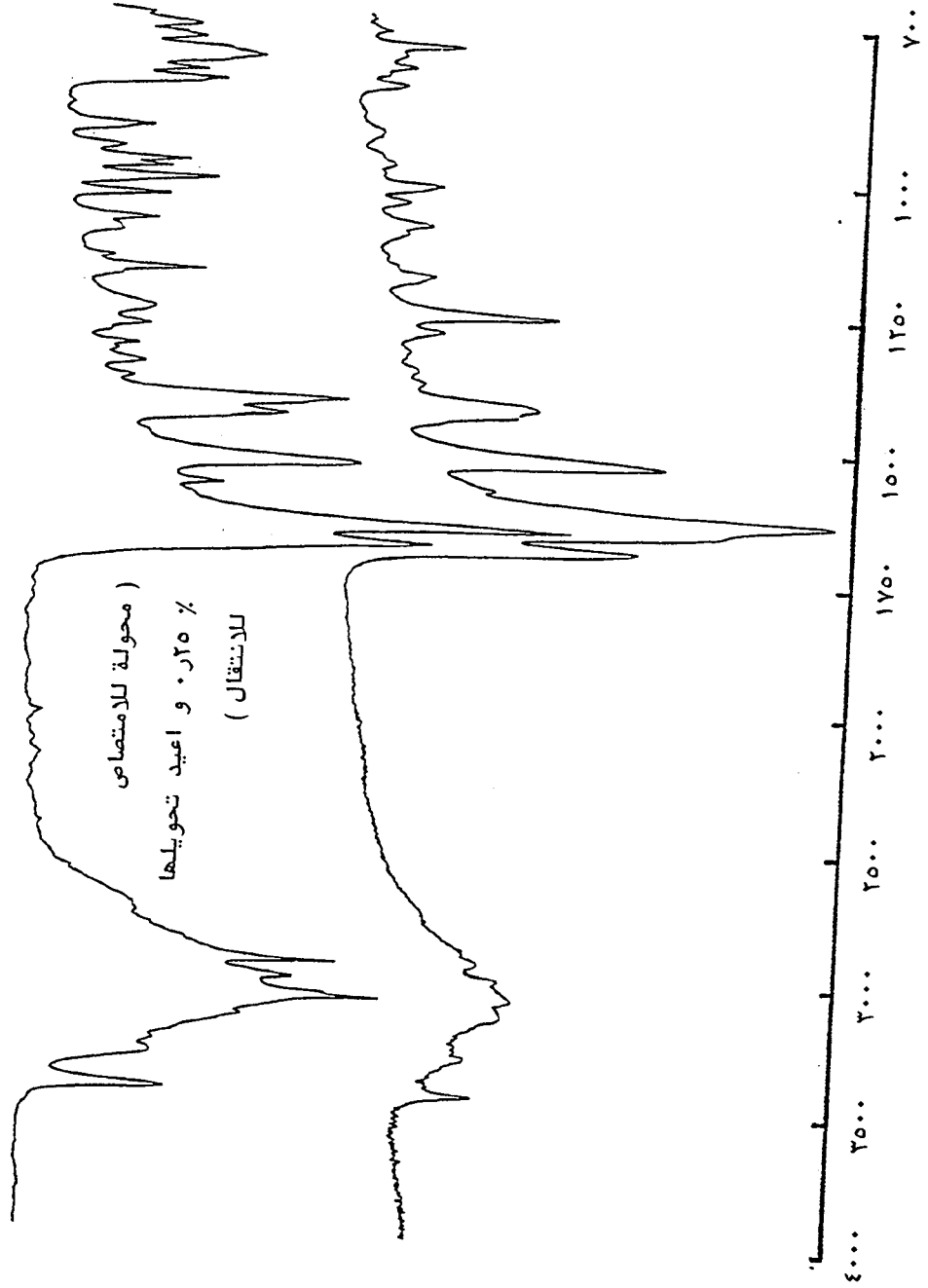
شكل ٢٣ طيف الأشعة تحت الحمراء لبلورة مسحوق الحماز الجاف من ص ا ر ال - ٦١٠٦٣

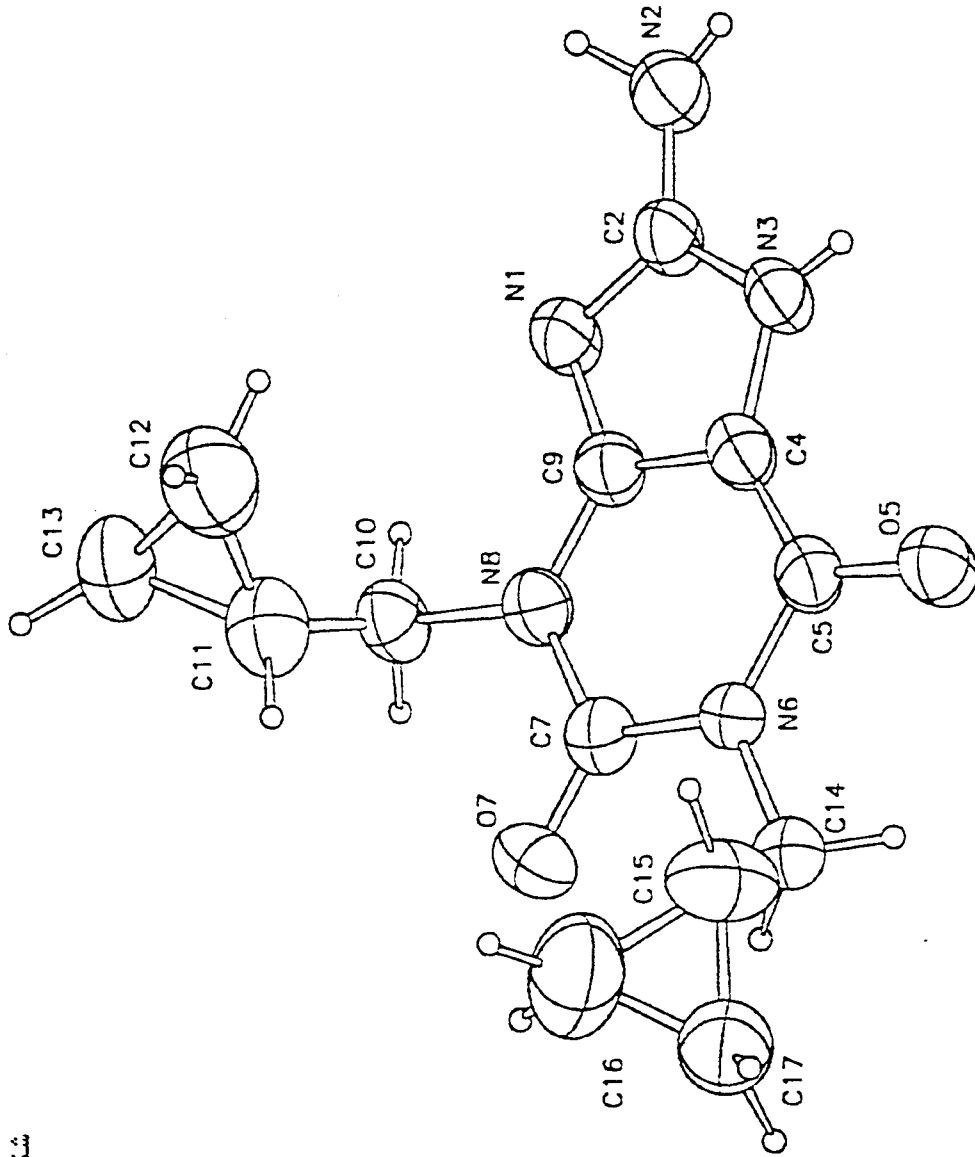


شكل ٢٤ طيف الاشعة تحت الحمراء لبلورة مسحوق مسحوقة ذات الصورة ٤ مـ بـ اـ ال - ٦١٠٦٣

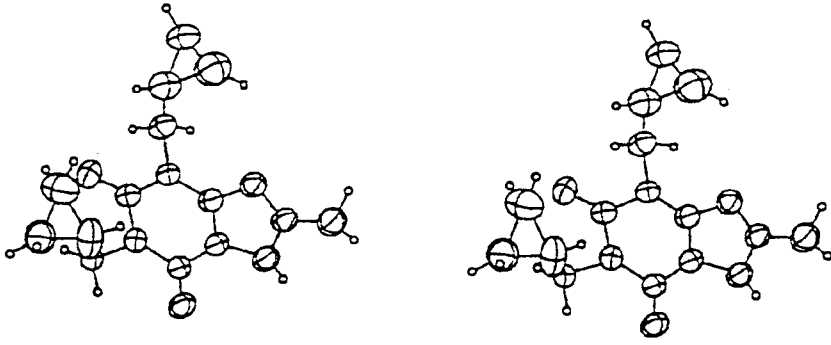


شكل ٢٥ اطياف الاشعة تحت الحمراء لبلورات فردية و مسحوق ذات الصورة ٤ من بي ار ال - ٦١٠٦٣





شکل ٢٦



شکل ٢٧



جدول ٢٨

جدول مسافات الارتباط بالانجستروم								
المسافة	ذرة ٢	ذرة ١	المسافة	ذرة ٢	ذرة ١	المسافة	ذرة ٢	ذرة ١
(٤)١,٤٨٠	ك ١٢	ك ١١ (٢)١,٣٩٦	ك ٧	ك ٦ (٢)١,٢٤٣	ك ٦	ك ٥	ك ٥	أ ٥
(٣)١,٤٦٨	ك ١٣	ك ١١ (٢)١,٤٧٧	ك ١٤	ك ٦ (٢)١,٢١٤	ك ٧	ك ٧	ك ٧	أ ٧
(٣)١,٤٥٧	ك ١٣	ك ١٢ (٢)١,٣٩٠	ك ٧	ك ٨ (٢)١,٣٣٥	ك ٢	ك ٢	ك ٢	ن ١
(٣)١,٤٩٤	ك ١٥	ك ١٤ (٢)١,٣٦٢	ك ٩	ك ٨ (٢)١,٣٦٧	ك ٩	ك ٩	ك ٩	ن ١
(٤)١,٤٧٨	ك ١٦	ك ١٥ (٢)١,٤٧٥	ك ١٠	ك ٨ (٢)١,٣٥١	ك ٢	ك ٢	ك ٢	ن ٢
(٣)١,٤٨٧	ك ١٧	ك ١٥ (٢)١,٤١٢	ك ٥	ك ٤ (٢)١,٣٤٥	ك ٣	ك ٣	ك ٣	ن ٣
(٣)١,٤٦٧	ك ١٧	ك ١٦ (٢)١,٣٥٨	ك ٩	ك ٤ (٢)١,٣٩١	ك ٤	ك ٤	ك ٤	ن ٣
		(٣)١,٤٩٤	ك ١١	ك ١٠ (٢)١,٣٩٨	ك ٥	ك ٥	ك ٥	ن ٦

الارقام داخل الأقواس تمثل انحرافات قياسية تقديرية لاقبل الأرقام أهمية

## جدول مسافات الزوايا بالدرجات

الزاوية	ذرة ٣	ذرة ٢	ذرة ١	الزاوية	ذرة ٣	ذرة ٢	ذرة ١	الزاوية	ذرة ٣	ذرة ٢	ذرة ١
(٢)١١٨,٩	ك ١٢	ك ١١	ك ١٠	(١)١٠٥,٣	ك ٩	ك ٤	ن ٣	(١)١٠٣,٠	ك ٩	ن ١	ك ١
(٢)١٢٠,٦	ك ١٣	ك ١١	ك ١٠	(٢)١٢٣,٢	ك ٩	ك ٤	ك ٥	(١)١٠٥,٨	ك ٤	ن ٣	ك ٢
(٢)٥٩,٢	ك ١٣	ك ١١	ك ١٢	(١)١٢١,١	ن ٦	ك ٥	أ ٥	(١)١٢٦,٣	ك ٧	ن ٦	ك ٥
(٢)٦٠,٠	ك ١٣	ك ١٢	ك ١١	(٢)١٢٦,٥	ك ٤	ك ٥	أ ٥	(١)١١٧,٧	ك ١٤	ن ٦	ك ٥
(٢)٦٠,٨	ك ١٢	ك ١٣	ك ١١	(١)١١٢,٢	ك ٤	ك ٥	ن ٦	(١)١١٥,٩	ك ١٤	ن ٦	ك ٧
(٢)١١٢,٣	ك ١٥	ك ١٤	ن ٦	(٢)١٢٢,٤	ن ٦	ك ٧	أ ٧	(١)١١٩,٧	ك ٩	ن ٨	ك ٧
(٢)١٢١,٢	ك ١٦	ك ١٥	ك ١٤	(٢)١٢١,٠	ن ٨	ك ٧	أ ٧	(١)١١٧,٦	ك ١٠	ن ٨	ك ٧
(٢)١١٨,٣	ك ١٧	ك ١٥	ك ١٤	(١)١١٦,٦	ن ٨	ك ٧	ن ٦	(١)١٢٢,٤	ك ١٠	ن ٨	ك ٩
(٢)٥٩,٣	ك ١٧	ك ١٥	ك ١٦	(١)١٢٥,٩	ن ٨	ك ٩	ن ١	(٢)١٢٤,٢	ن ٢	ك ٢	ن ١
(٢)٦٠,٦	ك ١٧	ك ١٦	ك ١٥	(١)١١٢,٣	ك ٤	ك ٩	ن ١	(١)١١٣,٧	ن ٣	ك ٢	ن ١
(٢)٦٠,٠	ك ١٦	ك ١٧	ك ١٥	(١)١٢١,٨	ك ٤	ك ٩	ن ٨	(٢)١٢٢,١	ن ٣	ك ٢	ن ٢
				(٢)١١٢,٠	ك ١١	ك ١٠	ن ٨	(٢)١٣١,٣	ك ٥	ك ٤	ن ٣

الأرقام داخل الأقواس تمثل انحرافات قياسية تقديرية لأقل الإقام أهمية

## جدول زوايا الانثناء بالدرجات

الزاوية	ذرة ٤	ذرة ٣	ذرة ٢	ذرة ١	الزاوية	ذرة ٤	ذرة ٣	ذرة ٢	ذرة ١
(٠, ١٩) ١٧٨, ٨٦-	٨ ن	٩ ك	٤ ك	٣ ن	(٠, ٢٢) ١٧٩, ٢٢	٢ ن	٢ ك	١ ن	٩ ك
(٠, ٢٠) ١٧٦, ٦٠	١ ن	٩ ك	٤ ك	٥ ك	(٠, ٢٥) ١٧٧, ٧٧	٣ ن	٢ ك	١ ن	٩ ك
(٠, ٣٤) ٢, ٦١-	٨ ن	٩ ك	٤ ك	٥ ك	(٠, ٢١) ١٧٨, ٥٠	٨ ن	٩ ك	١ ن	٢ ك
(٠, ٣٢) ٨٠, ٤٤	١٢ ك	١١ ك	١٠ ك	٨ ن	(٠, ٢٤) ١٧٨, ٦٨-	٤ ك	٩ ك	١ ن	٢ ك
(٠, ٢٧) ١٤٩, ٧٩	١٣ ك	١١ ك	١٠ ك	٨ ن	(٢, ١٥) ١٦٧, ٥٦	١ ك	٢ ك	٢ ن	٢ ن
(٢, ٩٤) ٤, ٣٢	١١ ك	١١ ك	١٠ ك	٨ ن	(٢, ١٧) ١٤, ١١-	٣ ن	٢ ك	٢ ن	٢ ن
(٢, ٩٨) ١٥٩, ٣١-	١٢ ك	١١ ك	١٠ ك	١٠ ك	(١, ٩٦) ١١, ٨٤	١ ن	٢ ك	٢ ن	٢ ن
(٢, ٩٨) ٠, ٩٦-	١٣ ك	١١ ك	١٠ ك	١٠ ك	(١, ٩٣) ١٦٩, ٨٣-	٣ ن	٢ ك	٢ ن	٢ ن
(٤, ١٦) ١٢٤, ٥٧	١١ ك	١١ ك	١٠ ك	١٠ ك	(٠, ٢٦) ٠, ٥٩	١ ن	٢ ك	٣ ن	٤ ك
(٠, ٣٢) ١١٠, ٣٨	١٣ ك	١٢ ك	١١ ك	١٠ ك	(٠, ٢١) ١٧٩, ٠٧-	٢ ن	٢ ك	٣ ن	٤ ك
(١, ٦٣) ١٤٧, ٣٥-	١١ ك	١٢ ك	١١ ك	١٠ ك	(١, ٧٧) ١٧٧, ٦٢-	١ ن	٢ ك	٣ ن	٣ ن
(٠, ٥٠) ١, ٥٩-	١٣ ك	١٢ ك	١١ ك	١٠ ك	(١, ٧٩) ٣, ٨٩	٢ ن	٣ ك	٣ ن	٣ ن
(١, ٦١) ١٠٢, ٢٦	١١ ك	١٢ ك	١١ ك	١٣ ك	(٠, ٢٣) ١٧٥, ٧٠-	٥ ك	٤ ك	٣ ن	٢ ك
(٠, ٤٠) ١١١, ٩٨-	١٣ ك	١٢ ك	١١ ك	١٣ ك	(٠, ٢٣) ٠, ١٣	٩ ك	٤ ك	٣ ن	٢ ك
(١, ٦١) ١٠٢, ٢٦-	١٣ ك	١٢ ك	١١ ك	١١ ك	(٢, ١٤) ٠, ٧٨	٥ ك	٤ ك	٣ ن	٣ ن
(١, ٦٤) ١٤٥, ٧٦	١٣ ك	١٢ ك	١١ ك	١١ ك	(٢, ١١) ١٧٦, ٦٠	٩ ك	٤ ك	٣ ن	٣ ن
(٠, ٣٣) ١٠٧, ٥٠-	١٢ ك	١٣ ك	١١ ك	١٠ ك	(٠, ٢١) ١٧٨, ١١	٥ ك	٥ ك	٦ ن	٧ ك
(٠, ٣١) ١٤١, ٢٣	١٢ ك	١٣ ك	١١ ك	١٠ ك	(٠, ٣١) ١, ٧٧-	٤ ك	٥ ك	٦ ن	٧ ك
(٠, ٣٨) ١١١, ٢٨-	١٢ ك	١٣ ك	١١ ك	١٢ ك	(٠, ٣١) ١, ٦٩	٥ ك	٥ ك	٦ ن	١٤ ك
(١, ٣٩) ٥٦, ٨٥	١٢ ك	١٣ ك	١١ ك	١١ ك	(٠, ١٩) ١٧٨, ١٩-	٤ ك	٥ ك	٦ ن	١٤ ك
(١, ٤١) ٥٤, ٤٣-	١٢ ك	١٣ ك	١١ ك	١١ ك	(٠, ٢٢) ١٧٩, ٨٠	٧ ك	٧ ك	٦ ن	٥ ك
(٢, ٦٨) ٩٢, ٩١	١٢ ك	١١ ك	١١ ك	١٠ ك	(٠, ٣٢) ٠, ٢٠-	٨ ن	٧ ك	٦ ن	٥ ك
(٠, ٨٠) ٥٧, ٦٨-	١٢ ك	١١ ك	١٢ ك	١٣ ك	(٠, ٣٢) ٣, ٧٢-	٧ ك	٧ ك	٦ ن	١٤ ك
(٠, ٣٦) ١٠٩, ٣٦	١٢ ك	١٣ ك	١٢ ك	١١ ك	(٠, ١٩) ١٧٦, ٢٩	٨ ن	٧ ك	٦ ن	١٤ ك
(١, ١٩) ٤٥, ٧٧-	١١ ك	١٣ ك	١٢ ك	١١ ك	(٠, ٢٥) ٩١, ٦٧	١٥ ك	١٤ ك	٦ ن	٥ ك
(١, ٢٢) ٦٣, ٥٩	١٢ ك	١٣ ك	١٢ ك	١١ ك	(٢, ٧٣) ١٥٠, ٠٤-	١٤ ك	١٤ ك	٦ ن	٥ ك
(٠, ٤١) ١٠٨, ٥٠	١١ ك	١٣ ك	١٢ ك	١٣ ك	(٠, ٢٦) ٨٥, ١٣-	١٥ ك	١٤ ك	٦ ن	٧ ك
(٠, ٣٦) ١٤٢, ١٥-	١٢ ك	١٣ ك	١٢ ك	١٣ ك	(٢, ٧٤) ٣٣, ١٦	١٤ ك	١٤ ك	٦ ن	٧ ك
(١, ٠٤) ٦٠, ١٠	١١ ك	١١ ك	١٢ ك	١٣ ك	(٠, ٢١) ١٧٨, ٩٩	٧ ك	٧ ك	٨ ن	٩ ك
(٢, ٥٨) ٧٣, ٥٤-	١١ ك	١١ ك	١٢ ك	١٣ ك	(٠, ٣٠) ١, ٠١	٦ ن	٧ ك	٨ ن	٩ ك
(٠, ٣٢) ٨٩, ٣٦	١٦ ك	١٥ ك	١٤ ك	٦ ن	(٠, ٣٢) ٦, ٧٣	٧ ك	٧ ك	٨ ن	١٠ ك
(٠, ٢٥) ١٥٨, ٧٩	١٧ ك	١٥ ك	١٤ ك	٦ ن	(٠, ١٩) ١٧٣, ٢٨	٦ ن	٧ ك	٨ ن	١٠ ك
(٢, ٦٨) ٥٣, ٥٤-	١٥ ك	١٥ ك	١٤ ك	٦ ن	(٠, ٢١) ١٧٨, ٧٧	١ ن	٩ ك	٨ ن	٧ ك
(٢, ٧٩) ٢٦, ٦١-	١٦ ك	١٥ ك	١٤ ك	١٤ ك	(٠, ٣٢) ٠, ٣٣	٤ ك	٩ ك	٨ ن	٧ ك
(٢, ٧٨) ٤٢, ٨٢	١٧ ك	١٥ ك	١٤ ك	١٤ ك	(٠, ٣٤) ٤, ٧٨	١ ن	٩ ك	٨ ن	١٠ ك
(٣, ٨٤) ١٦٩, ٥١-	١٥ ك	١٥ ك	١٤ ك	١٤ ك	(٠, ٢١) ١٧٤, ٣٢	٤ ك	٩ ك	٨ ن	١٠ ك
(٠, ٣٢) ١٠٦, ٦٢	١٧ ك	١٦ ك	١٥ ك	١٤ ك	(٠, ٢٧) ٧٤, ٦١	١١ ك	١٠ ك	٨ ن	٧ ك
(٢, ٣٤) ١٠٤, ٩٤-	١٧ ك	١٦ ك	١٥ ك	١٥ ك	(٢, ٧٩) ٥٠, ٤٩	١٠ ك	١٠ ك	٨ ن	٧ ك

## جدول ٣٠

تابع جدول زوايا الالتواء بالدرجات

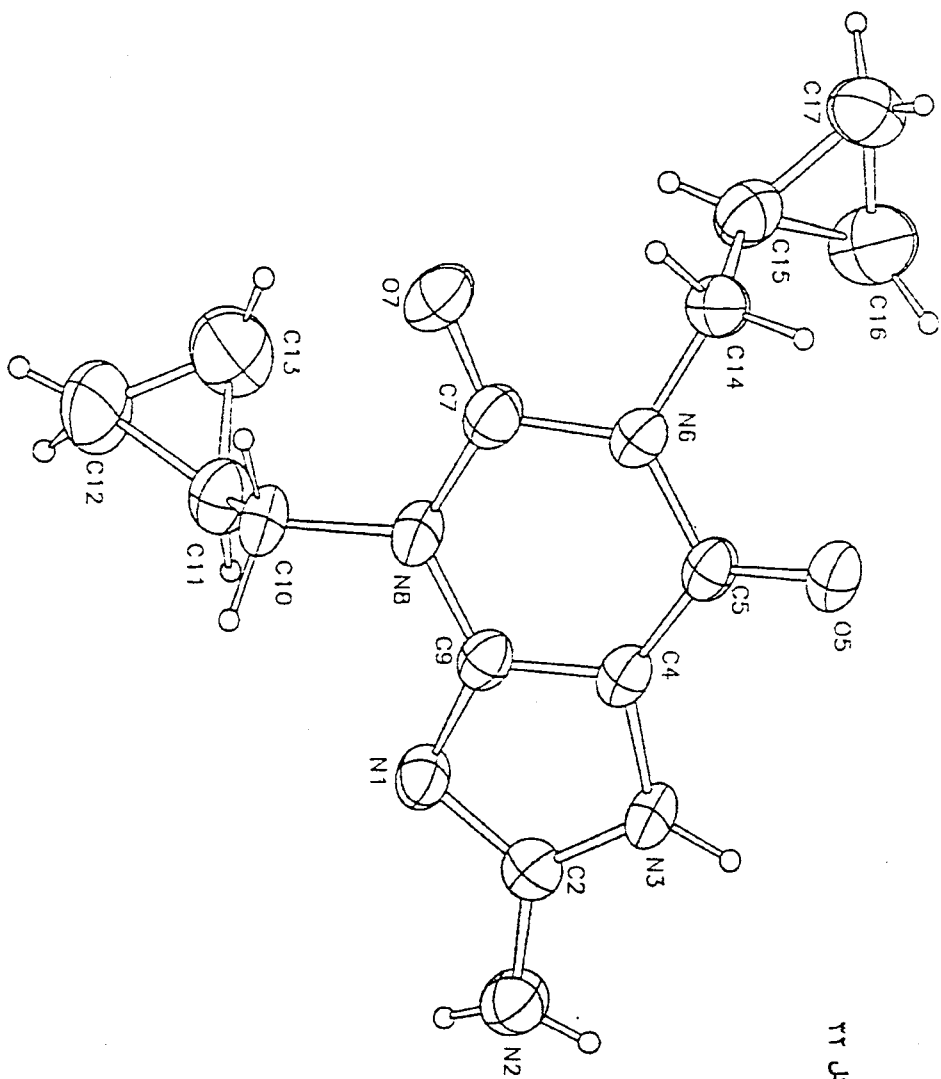
الزاوية	ذرة ٤	ذرة ٣	ذرة ٢	ذرة ١	الزاوية	ذرة ٤	ذرة ٣	ذرة ٢	ذرة ١
(٠, ٣٢) ١١١, ٣٥-	ك١٦	ك١٧	ك١٥	ك١٤	(٠, ٢٦) ٩٩, ٥١	ك١١	ك١٠	ن٨	ك٩
(٠, ٣٠) ١٣٩, ٧٩	يد الك١٦	ك١٧	ك١٥	ك١٤	(٢, ٧٩) ١٣٥, ٣٩	يد الك١٠	ك١٠	ن٨	ك٩
(٠, ٣٧) ١٠٨, ٨٥-	يد الك١٦	ك١٧	ك١٥	ك١٦	(٠, ٤٠) ١, ٥٥	أ د	ك د	ك ٤	ن ٣
(٢, ٤١) ٩٧, ١٠	ك١٦	ك١٧	ك١٥	يد ك١٥	(٠, ٢١) ١٧٨, ٣٢	ن ٦	ك د	ك ٤	ن ٣
(٢, ٤٣) ١١, ٧٥-	يد الك١٦	ك١٧	ك١٥	يد ك١٥	(٠, ٢٢) ١٧٦, ٧٣	أ د	ك د	ك ٤	ك ٩
(٠, ٤٠) ١١٠, ١٧	يد الك١٦	ك١٧	ك١٦	ك١٥	(٠, ٣١) ٣, ١٤	ن ٦	ك د	ك ٤	ك ٩
					(٠, ٢٥) ٠, ٣٥	ن ١	ك ٩	ك ٤	ن ٣

المتغيرات الموضعية و حيوداتها القياسية التقديرية

الذرة	س	ص	ع	ب(أ٢)
أ٥	(٢)٠,١١٩٣	(١)٠,٨٨٤٧	(٣)٠,٧٦٤٣	(٤)٤,١٧
أ٥	(٢)٠,٠٤٣٢-	(١)٠,٧٠٧٠	(٣)٠,٠٤٤٨-	(٤)٤,٩٤
ن ١	(٢)٠,٣٢٧٠-	(١)٠,٩٤١٣	(٤)٠,٤٣٣٧	(٤)٣,٦١
ن ٢	(٢)٠,٣٨١٣-	(٢)١,٠٦٤٩	(٥)٠,٧٩٦٩	(٥)٥,٠٨
ن ٣	(٢)٠,١٦٤٦	(١)٠,٩٨٦٨	(٤)٠,٧٦٦٨	(٤)٣,٦٢
ن ٦	(٢)٠,٠٣٧٤	(١)٠,٧٩٦٧	(٤)٠,٣٥٧٠	(٤)٣,٦٩
ن ٨	(٢)٠,١٨٩٤	(١)٠,٨١٨٢	(٤)٠,١٦٨٨	(٤)٣,٦٣
ك ٢	(٢)٠,٢٩٤٤	(٢)٠,٩٩٨٧	(٥)٠,٦٦٨٩	(٥)٣,٦٨
ك ٤	(٢)٠,١٠٧٢	(٢)٠,٩١٤٧	(٥)٠,٥٨١١	(٥)٣,٤٨
ك ٥	(٢)٠,٠٢٣٦	(٢)٠,٨٦٧٩	(٥)٠,٥٨٥٠	(٥)٣,٤٢
ك ٧	(٢)٠,٠٦٣٣	(٢)٠,٧٦٩٧	(٥)٠,١٤٧٦	(٥)٣,٨٣
ك ٩	(٢)٠,٢٠٨٥	(٢)٠,٨٨٩١	(٥)٠,٣٨٤٥	(٤)٣,٣٣
ك ١٠	(٢)٠,٣٠٠٢	(٢)٠,٧٨٣٢	(٥)٠,٠٣٢٣-	(٥)٤,٢١
ك ١١	(٣)٠,٣٧٠٤-	(٢)٠,٦٨٨٣	(٧)٠,٠٢٧٩	(٧)٥,٨٩
ك ١٢	(٤)٠,٤٢٨٢-	(٣)٠,٦٩٠٨	(٨)٠,٢٤٣٩	(٩)٧,٠٩
ك ١٣	(٣)٠,٤٧٨٩-	(٢)٠,٦٦٤٧	(٧)٠,٠٤٤٥-	(٨)٦,٨٢
ك ١٤	(٢)٠,١٦٨٧	(٢)٠,٧٤٠١	(٥)٠,٣٤٠٤	(٥)٤,٣٣
ك ١٥	(٣)٠,١٨٠٧	(٢)٠,٦٤٦٧	(٦)٠,٤٦٨٧	(٧)٥,٨١
ك ١٦	(٣)٠,١٤١٥	(٢)٠,٥٥٣٨	(٩)٠,٣٠٦٠	(١)٧,٦
ك ١٧	(٣)٠,٢٨٣٠	(٢)٠,٥٦٦٣	(٨)٠,٣٨٥٨	(٩)٦,٨٦

يبين الجدول الذرات الايزوتروبية المنقاة في صورة متغير الازاحة  
الايزوتروبية المكافئ المحدد كالاتي :

$$(14/3) + (a^2+B(1,1) + b^2 + B(2,2) + c^2+B(3,3)+ ab \\ (\cos \gamma)+ B(1,2)+ac(\cos \beta)+B(1,3)+bc(\cos \alpha) \\ + B(2,3))$$



٧٧ JK

## جدول ٣٣

## جدول مسافات الارتباط بالانجستروم

المسافة	ذرة ٢	ذرة ١	المسافة	ذرة ٢	ذرة ١
(٣)١,٤٨٥	١٠ ك	٨ ن	(٣)١,٢٥١	٥ ك	٥ أ
(٣)١,٣٨٦	٥ ك	٤ ك	(٣)١,٢١٦	٧ ك	٧ أ
(٣)١,٣٦٨	٩ ك	٤ ك	(٣)١,٣٥٢	٢ ك	١ ن
(٤)١,٤٩٤	١١ ك	١٠ ك	(٣)١,٣٥١	٩ ك	١ ن
(٤)١,٤٩٣	١٢ ك	١١ ك	(٣)١,٣٤٤	٢ ك	٢ ن
(٤)١,٥٠٩	١٣ ك	١١ ك	(٣)١,٣٤٠	٢ ك	٣ ن
(٥)١,٥١٣	١٣ ك	١٢ ك	(٣)١,٣٩٤	٤ ك	٣ ن
(٤)١,٤٩٦	١٥ ك	١٤ ك	(٣)١,٤٠٢	٥ ك	٦ ن
(٤)١,٤٩٨	١٦ ك	١٥ ك	(٣)١,٤٠٣	٧ ك	٦ ن
(٤)١,٤٩١	١٧ ك	١٥ ك	(٣)١,٤٧٤	١٤ ك	٦ ن
(٤)١,٤٩٧	١٧ ك	١٦ ك	(٣)١,٣٧٥	٧ ك	٨ ن
			(٣)١,٣٧٥	٩ ك	٨ ن

الارقام داخل الاقواس تمثل انحرافات قياسية تقديرية لأقل الارقام أهمية

## جدول ٣٤

## جدول مسافات الزوايا بالدرجات

الزاوية	ذرة ٣	ذرة ٢	ذرة ١	الزاوية	ذرة ٣	ذرة ٢	ذرة ١
(٢)١٢٢,٢	٨ ن	٧ ك	٧ أ	(٢) ١٠٢,٩	٩ ك	١ ن	٢ ك
(٢)١١٧,١	٨ ن	٧ ك	٦ ن	(٢) ١٠٦,٥	٤ ك	٣ ن	٢ ك
(٢)١٢٥,٦	٨ ن	٩ ك	١ ن	(٢)١٢٥,٤	٧ ك	٦ ن	٥ ك
(٢)١١٣,٢	٤ ك	٩ ك	١ ن	(٢) ١١٩,٤	١٤ ك	٦ ن	٥ ك
(٢)١٢١,٢	٤ ك	٩ ك	٨ ن	(٢) ١١٥,٣	١٤ ك	٦ ن	٧ ك
(٢)١١٣,٢	١١ ك	١٠ ك	٨ ن	(٢) ١١٩,٧	٩ ك	٨ ن	٧ ك
(٣)١١٨,٩	١٢ ك	١١ ك	١٠ ك	(٢)١١٩,٠	١٠ ك	٨ ن	٧ ك
(٣)١١٥,٧	١٣ ك	١١ ك	١٠ ك	(٢)١٢١,٠	١٠ ك	٨ ن	٩ ك
(٢)٦٠,٥	١٣ ك	١١ ك	١٢ ك	(٢)١٢٢,٦	٢ ن	٢ ك	١ ن
(٢)٦٠,٣	١٣ ك	١٢ ك	١١ ك	(٢)١١٣,٢	٣ ن	٢ ك	١ ن
(٢)٥٩,٢	١٢ ك	١٣ ك	١١ ك	(٢)١٢٤,٢	٣ ن	٢ ك	٢ ن
(٢)١١١,٥	١٥ ك	١٤ ك	٦ ن	(٢)١٣٢,٣	٥ ك	٤ ك	٣ ن
(٢)١١٩,٣	١٦ ك	١٥ ك	١٤ ك	(٢)١٠٤,٣	٩ ك	٤ ك	٣ ن
(٣)١١٨,٦	١٧ ك	١٥ ك	١٤ ك	(٢)١٢٣,٤	٩ ك	٤ ك	٥ ك
(٢)٦٠,١	١٧ ك	١٥ ك	١٦ ك	(٢)١٢٠,١	٦ ن	٥ ك	٥ أ
(٢)٥٩,٧	١٧ ك	١٦ ك	١٥ ك	(٢)١٢٦,٧	٤ ك	٥ ك	٥ أ
(٢)٦٠,٢	١٦ ك	١٧ ك	١٥ ك	(٢)١١٣,٢	٤ ك	٥ ك	٦ ن
				(٢)١٢٠,٧	٦ ن	٧ ك	٧ أ

الأرقام داخل الأقواس تمثل انحرافات قياسية لاقل الأرقام أهمية



## جدول ٣٥

## جدول زوايا الالتواء بالدرجات

الزاوية	ذرة ٤	ذرة ٣	ذرة ٢	ذرة ١
(٠, ٢٤) ١٧٨, ٠٥	٢ ن	٢ ك	١ ن	٩ ك
(٠, ٣٠) ٠, ٠٨	٣ ن	٢ ك	١ ن	٩ ك
(٠, ٢٤) ١٧٧, ٩٢-	٨ ن	٩ ك	١ ن	٢ ك
(٠, ٢٨) ٠, ١٠	٤ ك	٩ ك	١ ن	٢ ك
(٢, ٠٣) ٢٣, ١٢	١ ن	٢ ك	٢ ن	٢ يدان
(٢, ٠١) ١٥٩, ١٤-	٣ ن	٢ ك	٢ ن	٢ يدان
(٢, ٣٧) ١٦٨, ٨٦	١ ن	٢ ك	٢ ن	٢ يدان
(٢, ٣٩) ١٣, ٤٠-	٣ ن	٢ ك	٢ ن	٢ يدان
(٠, ٢٨) ٠, ٢٣-	١ ن	٢ ك	٣ ن	٤ ك
(٠, ٢٤) ١٧٨, ٠٥-	٢ ن	٢ ك	٣ ن	٤ ك
(٢, ٠٦) ١٧٩, ٣٨-	١ ن	٢ ك	٣ ن	٣ يدان
(٢, ٠٩) ٢, ٧٠	٢ ن	٢ ك	٣ ن	٣ يدان
(٠, ٢٨) ١٧٨, ٣٠	٥ ك	٤ ك	٣ ن	٢ ك
(٠, ٢٦) ٠, ٢٧	٩ ك	٤ ك	٣ ن	٢ ك
(٢, ١٣) ٢, ٥٦-	٥ ك	٤ ك	٣ ن	٣ يدان
(٢, ٠٩) ١٧٩, ٤١	٩ ك	٤ ك	٣ ن	٣ يدان
(٠, ٢٣) ١٧٦, ٢١-	٥ أ	٥ ك	٣ ن	٧ ك
(٠, ٣٥) ٤, ٠٦	٤ ك	٥ ك	٦ ن	٧ ك
(٠, ٣٥) ٥, ٠٦	٥ أ	٥ ك	٦ ن	١٤ ك
(٠, ٢٢) ١٧٤, ٦٧-	٤ ك	٥ ك	٦ ن	١٤ ك
(٠, ٢٤) ١٧٨, ٠٧	٧ أ	٧ ك	٦ ن	٥ ك
(٠, ٣٧) ١, ٥٠-	٨ ن	٧ ك	٦ ن	٥ ك
(٠, ٣٦) ٣, ١٥-	٧ أ	٧ ك	٦ ن	١٤ ك
(٠, ٢٢) ١٧٧, ٢٨	٨ ن	١٧ ك	٦ ن	١٤ ك
(٠, ٢٨) ٩٨, ٧١	١٥ ك	١٤ ك	٦ ن	٥ ك
(١, ٦٦) ٢٣, ٦٢-	١٤ ك	١٤ ك	٦ ن	٥ ك
(١, ٣٤) ١٣٩, ٣٠-	١٤ ك	١٤ ك	٦ ن	٥ ك
(٠, ٢٩) ٨٠, ١٥-	١٥ ك	٤ ك	٦ ن	٧ ك
(٠, ٦٤) ١٥٧, ٥٢	١٤ ك	١٤ ك	٦ ن	٧ ك
(١, ٣٦) ٤٠, ٨٤	١٤ ك	١٤ ك	٦ ن	٧ ك
(٠, ٢٥) ١٧٨, ١٣	٧ أ	٧ ك	٨ ن	٩ ك
(٠, ٣٥) ٢, ٣٠-	٦ ن	٧ ك	٨ ن	٩ ك
(٠, ٣٨) ٨, ١٧-	٧ أ	٧ ك	٨ ن	١٠ ك
(٠, ٢٢) ١٧١, ٣٩	٦ ن	٧ ك	٨ ن	١٠ ك
(٠, ٢٤) ١٧٨, ٨٨-	١ ن	٩ ك	٨ ن	٧ ك
(٠, ٣٦) ٣, ٢٦	٤ ك	٩ ك	٨ ن	٧ ك
(٠, ٣٨) ٧, ٥٥	١ ن	٩ ك	٨ ن	١٠ ك
(٠, ٢٤) ١٧٠, ٣٢-	٤ ك	٩ ك	٨ ن	١٠ ك

## جدول زوايا الالتواء بالدرجات

الزاوية	ذرة ٤	ذرة ٣	ذرة ٢	ذرة ١
(٠, ٢٨) ١٠١, ٨٢	١١ ك	١٠ ك	٨ ن	٧ ك
(١, ٣٧) ١٣٨, ٧٤-	١٠ ك	١٠ ك	٨ ن	٧ ك
(١, ٤٩) ٢٠, ٥٤-	١٠ ك	١٠ ك	٨ ن	٧ ك
(٠, ٣٠) ٨٤, ٥٦-	١١ ك	١٠ ك	٨ ن	٩ ك
(١, ٣٩) ٣٤, ٨٧	١٠ ك	١٠ ك	٨ ن	٩ ك
(١, ٤٧) ١٥٣, ٠٧	١٠ ك	١٠ ك	٨ ن	٩ ك
(٠, ٤٧) ٠, ٥٠-	أ د	٥ ك	٤ ك	٣ ن
(٠, ٢٥) ١٧٩, ٢١	٦ ن	٥ ك	٤ ك	٣ ن
(٠, ٢٥) ١٧٧, ٢٢	أ د	٥ ك	٤ ك	٩ ك
(٠, ٣٦) ٣, ٠٨-	٦ ن	٥ ك	٤ ك	٩ ك
(٠, ٢٩) ٠, ٢٣-	١ ن	٩ ك	٤ ك	٣ ن
(٠, ٢٢) ١٧٧, ٨٨	٨ ن	٩ ك	٤ ك	٣ ن
(٠, ٢٣) ١٧٨, ٤٩-	١ ن	٩ ك	٤ ك	٥ ك
(٠, ٤٠) ٠, ٣٨-	٨ ن	٩ ك	٤ ك	٥ ك
(٠, ٣٧) ٧٧, ٤٦-	١٢ ك	١١ ك	١٠ ك	٨ ن
(٠, ٢٨) ١٤٦, ٤٥-	١٣ ك	١١ ك	١٠ ك	٨ ن
(٢, ٠٠) ٦٩, ٣٣	١١ ك	١١ ك	١٠ ك	٨ ن
(١, ٤٦) ١٦٥, ٥٥	١٢ ك	١١ ك	١٠ ك	١٠ ك
(١, ٤٦) ٩٦, ٥٥	١٣ ك	١١ ك	١٠ ك	١٠ ك
(٢, ٤٦) ٤٧, ٦٦-	١١ ك	١١ ك	١٠ ك	١٠ ك
(١, ٦٣) ٣٨, ٨٣	١٢ ك	١١ ك	١٠ ك	١٠ ك
(١, ٦٣) ٣٠, ١٦-	١٣ ك	١١ ك	١٠ ك	١٠ ك
(٢, ٥٤) ١٧٤, ٣٨-	١١ ك	١١ ك	١٠ ك	١٠ ك
(٠, ٣٥) ١٠٤, ٨٩-	١٣ ك	١٢ ك	١١ ك	١٠ ك
(٢, ٣٢) ٣, ٠١-	١٢ ك	١٢ ك	١١ ك	١٠ ك
(٢, ٥٧) ١٤٥, ٣٧	١٢ ك	١٢ ك	١١ ك	١٠ ك
(٢, ٢٩) ١٠١, ٨٧	١٢ ك	١٢ ك	١١ ك	١٣ ك
(٢, ٥٨) ١٠٩, ٧٤-	١٢ ك	١٢ ك	١١ ك	١٣ ك
(١, ٨٩) ١٠٦, ٣٨	١٣ ك	١٢ ك	١١ ك	١١ ك
(٢, ٩٤) ١٥١, ٧٤-	١٢ ك	١٢ ك	١١ ك	١١ ك
(٣, ٢٠) ٣, ٣٥-	١٢ ك	١٢ ك	١١ ك	١١ ك
(٠, ٣٢) ١١٠, ٠٨	١٢ ك	١٣ ك	١١ ك	١٠ ك
(٣, ٠٥) ١٤٢, ٦٢-	١٣ ك	١٣ ك	١١ ك	١٠ ك
(٠, ٧٢) ١٢, ٣٧-	١٣ ك	١٣ ك	١١ ك	١٠ ك
(٣, ٠٦) ١٠٧, ٣٠	١٣ ك	١٣ ك	١١ ك	١٢ ك
(٠, ٦٥) ١٢٢, ٤٥-	١٣ ك	١٣ ك	١١ ك	١٢ ك
(١, ٩٠) ١٠٤, ٠١-	١٢ ك	١٣ ك	١١ ك	١١ ك
(٣, ٥٩) ٣, ٢٩	١٣ ك	١٣ ك	١١ ك	١١ ك

## جدول زوايا الالتواء بالدرجات

الزاوية	ذرة ٤	ذرة ٣	ذرة ٢	ذرة ١
(١,٩٤)١٣٣,٥٤	يدك١٣	ك ١٣	ك ١١	يدك ١١
(٣,١٩)٩٥,١٤-	يدك١٣	ك ١٣	ك ١٢	ك ١١
(٠,٥٣)١٣٠,٨٢	يدك١٣	ك ١٣	ك ١٢	ك ١١
(٢,٠٨)١٠٦,٤٦-	ك ١١	ك ١٣	ك ١٢	يدك١٢
(٣,٧٩)١٥٨,٤٠	يدك١٣	ك ١٣	ك ١٢	يدك١٢
(٢,١٤)٢٤,٣٦	يدك١٣	ك ١٣	ك ١٢	يدك١٢
(٢,٦٥)١٠٤,٥٨	ك ١١	ك ١٣	ك ١٢	يدك١٢
(٤,١٥)٩,٤٣	يدك١٣	ك ١٣	ك ١٢	يدك١٢
(٢,٦٧)١٢٤,٦١-	يدك١٣	ك ١٣	ك ١٢	يدك١٢
(٠,٣٣)٨٨,٥٤-	ك ١٦	ك ١٥	ك ١٤	ن ٦
(٠,٢٦)١٥٨,٣٣-	ك ١٧	ك ١٥	ك ١٤	ن ٦
(١,٨٦)٦٣,٣١	يدك١٥	ك ١٥	ك ١٤	ن ٦
(١,٦٦)٣١,٤٥	ك ١٦	ك ١٥	ك ١٤	يدك١٤
(١,٦٥)٣٨,٣٥-	ك ١٧	ك ١٥	ك ١٤	يدك١٤
(٢,٤٥)١٧٦,٧١-	يدك١٥	ك ١٥	ك ١٤	يدك١٤
(١,٤٢)١٥٣,٥١	ك ١٦	ك ١٥	ك ١٤	يدك١٤
(١,٤٤)٨٣,٧١	ك ١٧	ك ١٥	ك ١٤	يدك١٤
(٢,٣٣)٥٤,٦٥-	يدك١٥	ك ١٥	ك ١٤	يدك١٤
(٠,٣٢)١٠٨,٠٥-	ك ١٧	ك ١٦	ك ١٥	ك ١٤
(١,٧٣)٠,٢٠-	يدك١٦	ك ١٦	ك ١٥	ك ١٤
(٢,٤٢)١٤٤,٤٦	يدك١٦	ك ١٦	ك ١٥	ك ١٤
(١,٧٢)١٠٧,٨٥	يدك١٦	ك ١٦	ك ١٥	ك ١٧
(٢,٤٣)١٠٧,٤٩-	يدك١٦	ك ١٦	ك ١٥	ك ١٧
(٢,٠٥)١٠٣,٣٤	ك ١٧	ك ١٦	ك ١٥	يدك١٥
(٢,٦٥)١٤٨,٨١-	يدك١٦	ك ١٦	ك ١٥	يدك١٥
(٣,١٩)٤,١٥-	يدك١٦	ك ١٦	ك ١٥	يدك١٥
(٠,٣٢)١٠٩,٢٤	ك ١٦	ك ١٧	ك ١٥	ك ١٤
(٢,٠٦)١٤٣,٤٦-	يدك١٧	ك ١٧	ك ١٥	ك ١٤
(٢,٠٦)٠,٢٨-	يدك١٧	ك ١٧	ك ١٥	ك ١٤
(٢,٠٨)١٠٧,٣٠	يدك١٧	ك ١٧	ك ١٥	ك ١٦
(٢,٠٤)١٠٩,٥٢-	يدك١٧	ك ١٧	ك ١٥	ك ١٦
(٢,٠٠)١١٤,١٩-	ك ١٦	ك ١٧	ك ١٥	يدك١٥
(٢,٨٨)٦,٨٩-	يدك١٧	ك ١٧	ك ١٥	يدك١٥
(٢,٨٣)١٣٦,٢٩	يدك١٧	ك ١٧	ك ١٥	يدك١٥
(٢,١٢)١٠٨,٧٠-	يدك١٧	ك ١٧	ك ١٦	ك ١٥
(٢,٠٨)١٠٧,٤٢	يدك١٧	ك ١٧	ك ١٦	ك ١٥
(١,٨٨)١٠٠,٢٤-	ك ١٥	ك ١٧	ك ١٦	يدك١٦
(٢,٨١)١٥١,٠٦	يدك١٧	ك ١٧	ك ١٦	يدك١٦

## تابع جدول ٣٥

## جدول زوايا الالتواء بالدرجات

الزاوية	ذرة ٤	ذرة ٣	ذرة ٢	ذرة ١
(٢,٨٠)٧,١٨	يدك ١٧	ك ١٧	ك ١٦	يدك ١٦
(٢,٥٥)١١١,٧٩	ك ١٥	ك ١٧	ك ١٦	يدك ١٦
(٣,٣٢)٣,٠٩	يدك ١٧	ك ١٧	ك ١٦	يدك ١٦
(٣,٢٧)١٤٠,٧٩-	يدك ١٧	ك ١٧	ك ١٦	يدك ١٦

## جدول ٣٦

المتغيرات الموضعية و حويداتها القياسية التقديرية

الذرة	س	ص	ع	ب(أ ٢)
أ د	(٢)٠,٩٠٧٥	(٢)٠,٣٩٩٠-	(١)٠,٨٨٧٨	(٤)٣,٢٢
أ ٧	(٢)٠,٧١٣٥	(٣)٠,١٢٨٠	(١)٠,٨٥٦٩	(٥)٣,٩٣
ن ١	(٢)٠,٩٢٠٢	(٣)٠,٠٢١٥-	(١)١,١٣٤٨	(٥)٢,٦٠
ن ٢	(٢)١,٠٣٩٨	(٣)٠,١٩٩٧-	(٢)١,٢٣٦٤	(٥)٣,٣٥
ن ٣	(٢)٠,٩٧٧١	(٣)٠,٢٨٥٧-	(١)١,٠٨٥١	(٥)٢,٥٨
ن ٦	(٢)٠,٨٠٧٠	(٣)٠,١٣٧١-	(١)٠,٨٧٤٣	(٥)٢,٦١
ن ٨	(٢)٠,٨١٢٨	(٣)٠,٠٧٢٩	(٢)٠,٩٩٤١	(٥)٢,٦١
ك ٢	(٢)٠,٩٨٠٣	(٤)٠,١٧٢٠-	(٢)١,١٥٤٩	(٥)٢,٥٨
ك ٤	(٢)٠,٩٠٩٦	(٣)٠,٢٠٦١-	(٢)١,٠١٣١	(٥)٢,٤٤
ك ٥	(٢)٠,٨٧٨٥	(٤)٠,٢٥٩٠-	(٢)٠,٩٢٤٣	(٥)٢,٥٣
ك ٧	(٢)٠,٧٧٣٠	(٤)٠,٠٢٨٧	(٢)٠,٩٠٦١	(٦)٢,٨٦
ك ٩	(٢)٠,٨٧٨١	(٣)٠,٠٤٦٨-	(٢)١,٠٤٧٣	(٥)٢,٣٣
ك ١٠	(٢)٠,٧٩٣٢	(٤)٠,٢٥٦٩	(٢)١,٠٢٦٨	(٦)٣,٢٠
ك ١١	(٣)٠,٧٠١٠	(٥)٠,٢٦٦٠	(٢)١,٠٨٢٧	(٧)٤,٢٢
ك ١٢	(٣)٠,٥٨٤٨	(٦)٠,٢٦٢١	(٣)١,٠٣٦٣	(١)٦,٢
ك ١٣	(٣)٠,٦٣٤٢	(٥)٠,٤٣٧٠	(٣)١,٠٧٤٣	(١)٧,٠
ك ١٤	(٢)٠,٧٥٩٢	(٤)٠,١٨٢٧-	(٢)٠,٧٨١٢	(٦)٣,٠٤
ك ١٥	(٢)٠,٦٤٤٣	(٤)٠,٢٥٤٤-	(٢)٠,٧٧٧٣	(٧)٣,٧٣
ك ١٦	(٣)٠,٦٢٧٥	(٥)٠,٤٥١٨	(٣)٠,٧٨٩١	(٩)٥,٤٩
ك ١٧	(٣)٠,٥٩٨٥	(٥)٠,٣٦٦٤-	(٣)٠,٦٩٨٣	(٩)٥,٣٦

يبين الجدول الذرات الايزوتروبية المنقاد في صورة متغير الازاحة الايزوتروبية المكافئ المحدد كالآتي :

$$(4/3) + (a^2 + B(1,1) + b^2 + B(2,2) + c^2 + B(3,3) + ab(\cos \gamma) + B(1,2) + ac(\cos \beta) + B(1,3) + bc(\cos \alpha) + B(2,3))$$